



**Silenciamiento de múltiples genes en
Botrytis cinerea mediante PTGS. Aplicación
al estudio del papel en la virulencia de las
xilanasas secretadas por el hongo**

**Silencing of multiple genes in *Botrytis*
cinerea by PTGS. Application to the study
of the role in virulence of xylanases secreted
by the fungus**

Trabajo de Fin de Grado

Néstor García Expósito

Grado en Biología, Julio 2014

SOLICITUD DE DEFENSA Y EVALUACIÓN TRABAJO FIN DE GRADO Curso Académico: 20__/20__	ENTRADA Fecha: Núm:
--	----------------------------------

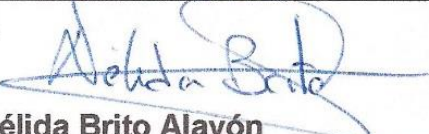
Datos Personales

Nº DNI o pasaporte: 43831827Z	Nombre y Apellidos: Néstor García Expósito
Teléfono: 646-770-137	Dirección de correo electrónico: alu0100538007@ull.edu.es

SOLICITA la defensa y evaluación del Trabajo Fin de Grado**TÍTULO**

Silenciamiento de múltiples genes en *Botrytis cinerea* mediante PTGS. Aplicación al estudio del papel en la virulencia de las xilanasas secretadas por el hongo.

Autorización para su depósito, defensa y evaluación

Dña. Nélida Brito Alayón Profesora del Departamento de Bioquímica, Microbiología, Biología Celular y Genética y D. Celedonio González Díaz Profesor del Departamento de Bioquímica, Microbiología, Biología Celular y Genética autorizan al solicitante a presentar la Memoria del Trabajo Fin de Grado	 Fdo.: Nélida Brito Alayón	 Fdo.: Celedonio González Díaz
---	--	---

La Laguna, a 8 de julio de 2014**Firma del interesado/a****SR/A. PRESIDENTE DE LA COMISIÓN DE GRADO DE LA FACULTAD DE BIOLOGÍA**

Documentación a adjuntar:

- Un ejemplar en formato electrónico de la Memoria conforme a las normas de presentación establecidas en el Anexo I del Reglamento para la elaboración y defensa del TFG.
- Informe-evaluación favorable de los tutores en sobre cerrado y firmado.

Ejemplar para el interesado/a

Este Trabajo Fin de Grado ha sido tutorizado por
Nélida Brito Alayón y Celedonio González Díaz, y
codirigido por **Mario González Carracedo**

ÍNDICE

INTRODUCCIÓN	1
1. <i>Botrytis cinerea</i> Y SU CICLO DE VIDA	1
2. FACTORES DE PATOGENICIDAD DE <i>B. cinerea</i>	2
3. SILENCIAMIENTO GÉNICO POR RNA	3
OBJETIVOS	5
MATERIALES Y MÉTODOS.....	6
1. ORGANISMOS Y CONDICIONES DE CULTIVO.....	6
2. MEDIOS DE CULTIVO	6
3. PLÁSMIDOS	7
4. AISLAMIENTO DE CONIDIAS DE <i>B. cinerea</i>	8
5. PURIFICACIÓN DE ADN PLASMÍDICO DE <i>E. coli</i>	8
6. REACCIONES DE AMPLIFICACIÓN POR PCR.....	9
7. PURIFICACIÓN DE LOS PRODUCTOS DE PCR.....	9
8. PURIFICACIÓN DE FRAGMENTOS DE ADN DE GELES DE AGAROSA	10
9. TRANSFORMACIÓN DE <i>Escherichia coli</i>	10
10. PCR DE COLONIAS.....	11
11. TRANSFORMACIÓN DE <i>B. cinerea</i>	11
12. ENSAYO DE VIRULENCIA DE <i>B. cinerea</i>	12
13. OBTENCIÓN DE DNA GENÓMICO DE <i>B. cinerea</i>	13
RESULTADOS Y DISCUSIÓN	14
1. ANÁLISIS BIOINFORMÁTICO DEL GENÓMA DE <i>B. cinerea</i>	14
1.1. Identificación de los genes que codifican para endo- β -1,4 xilanasas en el genoma de <i>B. cinerea</i>	14
1.2. Análisis <i>in silico</i> de las proteínas pertenecientes a las familias GH10 y GH11	16
1.3. Diseño de un gen químérico para inducir el silenciamiento de las 5 xilanasas de <i>B. cinerea</i>	16
2. OBTENCIÓN DE LOS PLÁSMIDOS TRANSFORMANTES CONTENIENDO Hom_XyL.....	18
3. TRANSFORMACIÓN DE <i>B. cinerea</i>	22
4. CARACTERIZACIÓN DE LAS CEPAS TRANSFORMANTES	22
CONCLUSIONES	23
REFERENCIAS	¡Error! Marcador no definido.

RESUMEN

Botrytis cinerea es un hongo fitopatógeno capaz de infectar más de 200 especies vegetales causando importantes pérdidas en la agricultura. Entre las proteínas que secreta se encuentran varias endo- β -1,4-xilanases, las cuales participan en la degradación de un importante componente de la pared celular vegetal, el xilano. Los mutantes carentes de alguna de las xilanases que se han generado previamente muestran una pérdida muy pequeña, o ninguna, de la capacidad de infección, posiblemente porque el hongo secreta varias proteínas con esta actividad capaces de compensar la falta de la enzima ausente en el mutante.

En este trabajo, se ha analizado el genoma de *B. cinerea* para determinar el número de endo- β -1,4-xilanases que codifica y se ha diseñado un estrategia para silenciar de forma simultánea, mediante RNA de interferencia, los cinco genes encontrados. Para ello, se sintetizó químicamente un gen químico compuesto de secuencias cortas obtenidas de estos cinco genes, y se expresó en el hongo de manera que se obtuviese RNA de doble cadena con la secuencia correspondiente. Con el fin de lograr este objetivo se ensayaron dos técnicas alternativas: 1) la expresión simultánea de la cadena sentido y de la antisentido, y 2) la expresión de dos secuencias en tandem, invertidas, cuya transcripción da lugar a un RNA de doble cadena con estructura de tallo-bucle. Ambos sistemas se han puesto en práctica, se han obtenido los transformantes de *B. cinerea* y se ha realizado un análisis preliminar de los mismos.

ABSTRACT

Botrytis cinerea is a phytopathogenic fungus able of infecting more than 200 plant species causing major losses in agriculture. Among the proteins secreted by this fungus, several endo- β -1,4-xylanases can be found, which are involved in the degradation of an important component of plant cell wall, xylan. The mutants lacking one of these xylanases that have generated previously show little, or any, reduction of virulence, possibly because the fungus secretes other proteins with this activity that can compensate for the one missing in the mutant.

In this work the genome of *B. cinerea* has been analyzed to determine the number of endo- β -1,4-xylanases that it encodes, and a strategy has been designed to simultaneously silence by RNA interference the five genes that were encountered. In order to do this, a chimeric gene was chemically synthesized, composed of short sequences obtained from these five genes, and was expressed in the fungus in such a way that double stranded RNA with the corresponding sequence is obtained. To achieve this, two alternative methods were tested: 1) the simultaneous expression of the sense and antisense strands, and 2) the expression of two inverted tandem sequences whose transcription results in a double stranded RNA with stem-loop structure. Both systems were tested, the *B. cinerea* transformants were obtained, and a preliminary analysis of them has been performed.

Palabras claves/keywords:

Botrytis cinerea, xilanasa/xylanase, silenciamiento/silencing, RNAi, “building block”

INTRODUCCIÓN



1. *Botrytis cinerea* Y SU CICLO DE VIDA

Botrytis cinerea Pers.:Fr (*B.cinerea*) es un hongo fitopatógeno capaz de infectar alrededor de 200 especies vegetales, provocando la enfermedad conocida como “podredumbre gris” (Jarvis, 1977). En Canarias, *B. cinerea* tiene una gran incidencia, afectando a los cultivos mayoritarios como son la vid y el tomate, con gran importancia económica en las islas.

Según el Código Internacional de Nomenclatura Botánica, *Botrytis cinerea* pertenece a la división *Ascomycota*, clase *Leotiomycetes*, orden *Helotiales* y familia *Sclerotiniaceae* (Williamson et al., 2007). Se trata de un hongo pleomórfico que recibe el nombre de *Botryotinia fuckeliana* (de Bary) Whetzel en su estado sexual y de *Botrytis cinerea* Pers.:Fr, en su estado asexual. En su estado sexual utiliza ascosporas como medio de propagación, mientras que las conidias, esporas asexuales especializadas, no móviles, son las unidades reproductivas en el estado asexual.

El ciclo de vida comienza con la formación de las conidias en los conidióforos y su posterior liberación y propagación por corrientes de aire a grandes distancias. Cuando, las conidias llegan a la superficie de la planta se adhieren débilmente y, si las condiciones son favorables (alta humedad relativa, presencia de nutrientes), se produce su germinación. El tubo germinal se prolonga e inicia la penetración del tejido vegetal, dando lugar a una lesión primaria (van Kan, 2006). En todo este proceso, el hongo secreta diversos componentes para debilitar las defensas del hospedador, destacando enzimas hidrolíticas que degradan las envueltas celulares como celulasas, xilanases, poligalacturonasas, etc. (Schumacher and Tudzynski, 2012). La lesión en el hospedador se generaliza cuando los tejidos sanos circundantes son colonizados y macerados, produciéndose una necrosis generalizada y la muerte de la planta. Se inicia, entonces, la producción de nuevas conidias que serán diseminadas por el aire, pudiendo colonizar nuevos hospedadores, completándose así, el ciclo de vida del hongo (Schumacher and Tudzynski, 2012).

Para el control de *B. cinerea* se han ensayado diversas estrategias, siendo el uso de fungicidas la más popular de todas ellas. Sin embargo, la aparición de cepas resistentes a estos fármacos (Leroux, 2004), la contaminación ambiental que provocan (Torres del Castillo, 2001) y su coste económico (Rosslenbroich and Stuebler, 2000), hacen que se potencie la búsqueda de nuevas alternativas de control más efectivas y menos dañinas para el medio ambiente.

En este contexto, la identificación de factores de virulencia o factores de patogenicidad de *B. cinerea* presenta un gran interés, porque puede conducir al desarrollo de nuevas formas de lucha contra la infección, estableciendo mecanismos que permitan neutralizar este tipo de factores en el hongo.

2. FACTORES DE PATOGENICIDAD DE *B. cinerea*

En el análisis de la interacción hongo-planta y la búsqueda e identificación factores de patogenicidad, se ha prestado especial atención a la degradación de la pared celular vegetal por el huésped, por ser ésta una de las primeras barreras a superar en el proceso infectivo. Celulasas, hemicelulasas y endopoligalacturonasas son las principales enzimas secretadas durante la colonización del tejido, responsables de la degradación de los componentes mayoritarios de la pared, la celulosa, las hemicelulosas y la pectina, respectivamente. Analizar el papel que cada una de estas enzimas tiene en la virulencia del huésped, no es tarea fácil en *B. cinerea*, ya que se ha detectado una gran redundancia entre las proteínas que secreta al medio extracelular. Así, se han descrito 6 endopoligalacturonasas (Wubben et al., 2000;van Kan, 2006), 2 pectin-metil esterasas, (Valette-Collet et al., 2003;Kars et al., 2005) o 14 aspartil proteasas entre las proteínas que componen el secretoma del hongo (Espino et al., 2010). Las estrategias experimentales comúnmente utilizadas para analizar el papel de cualquiera de ellas, la interrupción génica (Valette-Collet et al., 2003;Prins et al., 2000;Soulie et al., 2003) y el remplazamiento génico (Melendez et al., 2009;Rui and Hahn, 2007;Brito et al., 2006), dejan de ser útiles, cuando el hongo secreta más de una enzima al medio extracelular con similar actividad a la proteína que se ha delecionado. Además, el número de marcadores selectivos de resistencia a antibióticos disponibles para poder realizar simultáneamente mutaciones de varios genes en este hongo, es muy limitado. Se requieren, por tanto, nuevas estrategias que permitan analizar el papel de un grupo de proteínas con propiedades similares en el proceso infectivo desarrollado por el hongo.

Entre las enzimas hidrolíticas que degradan la pared vegetal secretadas por *B. cinerea*, se ha podido comprobar que la endo- β -1,4-glucanasa Cel5A (Espino et al., 2005), a pesar de que se expresa durante la infección, no es esencial para la virulencia, mientras que la endopoligalacturonasa 1 se ha definido como factor de patogenicidad, cuya mutación provoca una disminución importante de las lesiones producidas por el hongo (ten Have et al., 1998). El análisis de las xilanasas secretadas por *B.cinerea* ha revelado que la endo- β -1,4-xilanasa Xyn11A, una glicosil hidrolasa de la familia 11, es necesaria para el establecimiento de la

infección (Brito et al., 2006), aunque su delección provocó tan sólo una disminución aproximada del 30% en la actividad xilanasa detectada en el medio extracelular (Brito et al., 2006). Estudios posteriores mostraron, que esta enzima, en realidad, actúa como un elicitor, provocando independientemente de su actividad , la respuesta hipersensible en la planta (Noda et al., 2010).

El hecho de que la mutación del gen *xyn1IA* sólo provocase la pérdida de la tercera parte de la actividad xilanasa total en el medio extracelular, pone de manifiesto la existencia de otras proteínas con la misma actividad. Hasta el momento, por tanto, no se ha podido estudiar si la presencia en el secretoma de proteínas con capacidad hidrolítica sobre el xilano afecta de manera relevante a la virulencia del hongo.

El principal objetivo de este trabajo es analizar la presencia de otras endo- β -1,4- xilanases en el medio extracelular, ya que estas enzimas son las primeras en actuar en la degradación del xilano, y utilizando el silenciamiento génico como nueva aproximación experimental en biología molecular, estudiar su posible papel en la virulencia de *B. cinerea*.

3. SILENCIAMIENTO GÉNICO POR RNA

El silenciamiento génico por RNA o interferencia por RNA (RNAi) fue descrito en hongos filamentosos por primera vez en *Neurospora crassa* (Romano and Macino, 1992) y, desde entonces, han sido numerosas las especies de hongos en las que también ha sido estudiado este fenómeno (Chang et al., 2012a) (Nunes and Dean, 2012).

El RNAi es desencadenado por moléculas de RNA de doble cadena (RNAdc) de pequeño tamaño que presentan homología de secuencia con el DNA o RNA diana y que provocan la metilación del DNA y modificación de la cromatina (silenciamiento génico transcripcional, TGS) o la degradación del mRNA y represión de su traducción (silenciamiento génico post-transcripcional, PTGS) (Burroughs et al., 2014a). En el proceso intervienen proteínas muy conservadas, como las Dicer, Argonautas y RNA polimerasas dependientes de RNA (RdRP) (Chang et al., 2012b). Básicamente, el silenciamiento génico post-transcripcional se inicia por la presencia de una molécula de ARNdcl larga, exógena o inducida por la presencia de transposones o transgenes repetidos, que es reconocida por Dicer, una ribonucleasa de la clase III de la super familia RNasa-III. Esta ribonucleasa provoca la degradación de la molécula de ARNdcl en pequeños fragmentos de 21 a 24 nucleótidos, los siRNAs, que a su vez son acoplados al RISC o RNA-induced silencing complex, que será el responsable de la búsqueda

de los ARNm diana, con regiones complementarias a los siRNAs. La proteína Argonauta central de este complejo catalizará entonces la degradación del mRNA, provocando el silenciamiento post-transcripcional del gen correspondiente (Chang et al., 2012a; Wilson and Doudna, 2013).

El silenciamiento génico por RNA se considera un mecanismo fundamental en la regulación de la expresión génica y en la defensa contra virus y transposones (Burroughs et al., 2014b), y contra patógenos no virales regulando la respuesta inmune (Pumplin and Voinnet, 2013). Sin embargo, también se ha convertido en una importante herramienta para analizar la función de los genes, permitiendo manipular la expresión de éstos y analizar su función, en diversos hongos filamentosos, además de en otros organismos (Kuck and Hoff, 2010). Para ello, se han desarrollado, básicamente dos estrategias, que conducen ambas a la generación de moléculas de ARNdc que sirvan de inductores de todo el proceso del silenciamiento (Shan, 2010). La primera de ellas consiste en transformar al organismo con construcciones con el gen o un fragmento del mismo en orientaciones contrarias (sentido y antisentido) que provoquen la aparición de dos cadenas de ARNm complementarias entre sí, que hibridarán en el citoplasma dando lugar a una molécula de ARN bicatenario. La segunda, la estrategia tallo:bucle o *hairpin*, utiliza una construcción que exprese dos regiones invertidas en tandem del gen a silenciar, separadas por un fragmento de ADN inespecífico no relacionado, de forma que los transformantes producen un ARN con estructura de horquilla, con una región de doble cadena debido a la complementariedad de las regiones invertidas y un lazo debido al fragmento que separa estas regiones (Nguyen et al., 2008).

En el presente trabajo se pretende utilizar estas dos estrategias para conseguir silenciar simultáneamente todas las endo- β -1,4 xilanasas sintetizadas por *B. cinerea* por el método de silenciamiento de múltiples genes conocido como *building block*. Este nuevo sistema ya ha sido ensayado con éxito en *Magnaporthe oryzae* (Van et al., 2012; Nguyen et al., 2011) y consiste en la generación de una secuencia artificial compuesta de regiones cortas de los genes que se desea silenciar, que una vez introducida en el hongo por cualquiera de las dos estrategias descritas anteriormente (sentido-antisentido y tallo-bucle), dará lugar al silenciamiento de todos ellos. De esta forma, se espera disponer de cepas de *B. cinerea* silenciadas para todas las xilananas que su genoma codifica y se podrá analizar si la carencia de esta actividad enzimática en su secretoma afecta drásticamente la capacidad infectiva del hongo.

OBJETIVOS



OBJETIVOS

1. Identificar los genes de endo- β -1,4-xilanasa presentes en el genoma de *B. cinerea*.
2. Diseñar una estrategia para el silenciamiento simultáneo de todos los genes codificantes para endo- β -1,4-xilananas, haciendo uso del fenómeno de interferencia por RNA.
3. Generar las construcciones necesarias para el silenciamiento génico e introducirlas en la cepa silvestre de *B. cinerea* B05.10.
4. Analizar en los transformantes resultantes la eficacia de la estrategia de silenciamiento génico utilizada para silenciar los genes diana, así como el fenotipo de las cepas resultantes.

MATERIALES Y MÉTODOS



1. ORGANISMOS Y CONDICIONES DE CULTIVO

1.1. Hongos

- *Botrytis cinerea* (*B. cinerea*) B05.10 (Büttner et al., 1994): cepa haploide derivada de la cepa SAS56, cedida por el Dr. Paul Tudzynski (Westfälische Wilhelms-Universität Münster, Alemania).

Esta cepa y las generadas en el presente trabajo se conservaron de manera rutinaria a 4°C, en el caso de conservar los conidios, o en medio de extracto de tomate al 25 %, en el caso de conservar sus micelios.

1.2. Bacterias

- *Escherichia coli* (*E. coli*) XL1-Blue (Stratagene, La Jolla, CA): *recA1 endA1 gyr96 thi-1 hsdR17 supE44 relA1 lac* [F' *proAB lacI^q ZΔM 15 Tn10* (Tet^r)]

- *Escherichia coli* (*E. coli*) SURE2 (Stratagene, La Jolla, CA): e14⁻(McrA⁻) Δ(mcrCB-hsdSMR-mrr)171 *endA1 gyrA96 thi-1 supE44 relA1 lac recB recJ sbcC umuC::Tn5* (Kan^r) *uvrC* [F' *proAB lacI^q ZΔM15 Tn10* (Tet^r) Amy Cam^r]. Esta cepa carece de componentes que catalizan el reordenamiento y delección de estructuras secundarias y terciarias de ADN no convencionales, siendo especialmente útil en el clonaje de secuencias repetidas o complementarias. Cedida gentilmente por el Dr. Diego de la Rosa (Universidad de La Laguna).

Las cepas bacterianas se cultivaron, rutinariamente, en medio LB con los antibióticos requeridos y en condiciones aeróbicas a 37°C y fueron conservadas a -80°C resuspendidas en glicerol al 15%.

1.3. Especies vegetales

- *Nicotiana tabacum* cv. Havana (*N. tabacum*): Variedad de tabaco, cultivada a temperatura ambiente con periodos de luz de 12 horas y una humedad del 70 % hasta alcanzar los 40 cm.

2. MEDIOS DE CULTIVO

2.1. Para el cultivo de *B. cinerea*

- **ME** (Malt Extract): Extracto de malta (Bacto malt extract, DIFCO) al 1 %.
- **MEA (Malt Extract Agar)**: Extracto de malta (Bacto malt extract, DIFCO) al 3 %, agar bacteriológico al 1,5 %.
- **Tomate agar**: Extracto de frutos de tomate al 25 % (p/v) ajustado a pH 5,4 con NaOH, agar 2 %.
- **SH agar**: Sacarosa 0,6 M, HEPES 5 mM pH 6,5, NH₄H₂PO₄ 1mM, agar al 1,2 %.

- **SH top-agar:** Sacarosa 0,6 M, HEPES 5 mM pH 6,5, NH₄H₂PO₄ 1mM, agar 0,6 %.
- **GamXyl:** Gamborg B5 (Duchefa Biochemie B.V., Holanda) al 0,3 %, tampón fosfato 25 mM pH6, xilano 1 %, agar 1,5 %.
- **YGG:** Extracto de levadura (Yeast extract, Panreac) 0,5 %, glucosa 2 %, Gamborg B5 al 0,3 %.

En los casos de cepas resistentes, los medios anteriormente citados, fueron suplementados con 100 µg/ml de higromicina y/o nourseotricina.

2.2. Para el cultivo de *E. coli*

- **LB (medio Luria y Bertani):** Bactotriptona 1 %, extracto de levadura 0,5 %, NaCl 1 %. El pH se ajustó a 7,5 con NaOH. Cuando fue necesario se suplementó con 50 µg/ml ampicilina o 10 µg/ml tetraciclina.
- **LB-agar:** Medio LB suplementado con agar al 1,5%. Cuando fue necesario se añadió 50 µg/ml ampicilina o 10 µg/ml tetraciclina.
- **SOB:** Triptona 2 %, extracto de levadura 0,5 %, NaCl 0,01 M, KCl 2,5 mM, MgCl₂ 10 mM, MgSO₄ 10mM.

3. PLÁSMIDOS

3.1. pNDN-OGG y pNAH-OGG: derivados del plásmido pRS426, cedidos por la Dra. Schumacher (Wilhelms-Universität Münster, Alemania), (Schumacher, 2012). Los dos plásmidos contienen un casete de expresión del gen eGFP (gen de la proteína verde fluorescente de *Aequorea victoria*) controlado por el promotor *oliC* de *A. nidulans* y por el terminador *gluc* de *B. cinerea*. pNDN-OGG (10626 pb) presenta un casete de resistencia a nourseotricina al contener el gen *nat1* que codifica para la nourseotricina acetil transferasa bajo control del promotor *trpC* de *Aspergillus nidulans*. En pNAH-OGG (10992 pb), el gen *nat1* está sustituido por gen *hph* de *E.coli*, que codifica para la higromicina fosfotransferasa, confiriendo resistencia a la higromicina. Los dos casetes se encuentran flanqueados por dos regiones, del gen *niaD* de *B. cinerea* que codifica para la nitrato reductasa en el caso de pNDN-OGG, y del gen *niiA* que codifica para la nitrito reductasa en pNAH-OGG. Estas regiones serán las responsables de que los plásmidos se integren en el genoma de forma dirigida en el locus *niaD* y *niiA*, respectivamente. Estos plásmidos confieren resistencia a ampicilina como marcador selectivo en procariotas.

3.2. pLOB1: plásmido de 5286 pb cedido gentilmente por el profesor Dr. J.A.L. van Kan (Wageningen Agricultural University, Holanda), que contiene el gen *hph* de *E. coli*, que

codifica para la higromicina fosfotransferasa, bajo el control del promotor *oliC* de *Aspergillus nidulans*. También confiere resistencia a ampicilina como marcador selectivo en procariotas.

4. AISLAMIENTO DE CONIDIAS DE *B. cinerea*

- 1) Inocular placas de tomate agar con conidias conservadas en sílice o a -80°C y mantener 10 a 14 días en la oscuridad a 20°C, exponiendo diariamente las placas durante 5 min a luz ultravioleta cercana.
- 2) Al cabo de este tiempo, cubrir la superficie de la placa con 15 ml de agua estéril, y separar las conidias con ayuda de un asa de siembra de vidrio.
- 3) Filtrar la suspensión obtenida a través de algodón hidrófilo para retirar los restos de micelio y recoger las conidias por centrifugación.
- 4) Lavar las conidias con agua estéril centrifugando durante 5 min a 1500 x g.
- 5) Finalmente, resuspender las conidias en agua estéril y cuantificarlas utilizando un hemocitómetro.

5. PURIFICACIÓN DE ADN PLASMÍDICO DE *E. coli*

De manera rutinaria, se utilizó el kit Quick Clean 5M Miniprep (GenScript, U.S.A) siguiendo las instrucciones del fabricante. Únicamente, para casos concretos, se siguieron otros dos protocolos que se describen a continuación.

5.1. Método TENS

Utilizado para llevar a cabo rastreos en busca de clones positivos en los clonajes realizados en vectores plasmídicos. El proceso de extracción se efectuó de la siguiente manera:

- 1) Centrifugar 1,5 ml de un cultivo bacteriano crecido durante toda una noche a 37°C, decantar el sobrenadante y resuspender las células en el líquido residual.
- 2) Anadir 300 ml de disolución TENS (Tris-HCl 10 mM pH 8, EDTA 1 mM, NaOH 0,1 M, SDS 0,5%), mezclar por inversión del tubo y añadir 150 µl de acetato sódico 3 M pH 5,2.
- 3) Mezclar nuevamente por inversión, centrifugar los tubos durante 2 min a 15,6 x g y añadir, al sobrenadante recuperado, 0,9 ml de etanol absoluto a -20°C.
- 4) Centrifugar 5 min, lavar el sedimento con etanol al 70% y resuspender el ADN en 20 µl de H₂O estéril.

5.2. Extracción a gran escala.

La purificación de ADN plasmídico a gran escala se llevó a cabo siguiendo una modificación del método descrito por Sambrook *et al.* (Sambrook and Russell, 2001), tal y como se describe a continuación:

- 1) Recoger por centrifugación las células de un cultivo bacteriano de 200 ml crecido durante una noche a 37°C y resuspenderlas en 4,5 ml de GTE (glucosa 50 mM, Tris-HCl 25 mM pH 8, EDTA 10 mM).
- 2) Agregar 9 ml de la disolución NaOH-SDS (NaOH 0,2 N, SDS 1%) y después de 5 min en hielo, añadir 6,75 ml de acetato potásico 5M pH 4,8.
- 3) Mantener los tubos en hielo durante otros 5 min y centrifugar durante 10 min a 15.000 rpm en una centrífuga Beckman equipada con rotor JA-14.
- 4) Filtrar el sobrenadante recuperado a través de papel de filtro, añadir 12 ml de isopropanol y mezclar por inversión.
- 5) Tras 10 min a temperatura ambiente, centrifugar con las mismas condiciones descritas anteriormente.
- 6) Lavar el precipitado con etanol al 70%, resuspender en 1 ml de agua e incubar durante 10 min con 100 µg de RNasa (10 mg/ml) en tampón Tris-HCl 10 mM pH 7,5, NaCl 15 mM.
- 7) Se trataron las muestras con un volumen de fenol:cloroformo:isoamílico (25:24:1) y precipitar el ADN presente en la fase acuosa añadiendo un décimo del volumen de acetato sódico (3M, pH 5,2) y dos volúmenes de etanol absoluto a -20°C.
- 8) Finalmente, resuspender el ADN precipitado en 100 µl de agua estéril.

6. REACCIONES DE AMPLIFICACIÓN POR PCR

Los cebadores utilizados en las reacciones de amplificación realizadas en este trabajo, fueron suministrados por Life Technologies (Paisley, Scotland) y sus secuencias se encuentran recogidos en la Tabla 1.

La polimerasa Phusion (FINNZYMES) se usó para amplificar fragmentos de DNA que fuesen a ser clonados y, en el resto de los casos, se utilizó la polimerasa Taq (GenScript). El protocolo básico seguido en cada uno de los casos se detalla en la Tabla 2.

7. PURIFICACIÓN DE LOS PRODUCTOS DE PCR

Los fragmentos amplificados por PCR fueron purificados utilizando el kit de purificación Quickclean PCR purification kit (Genscript, U.S.A) siguiendo las instrucciones del fabricante.

8. PURIFICACIÓN DE FRAGMENTOS DE ADN DE GELES DE AGAROSA

Para purificar fragmentos de ADN de geles de agarosa, se utilizó el kit Zymoclean Gel DNA Recovery kit (Zymo Research, U.S.A) siguiendo las instrucciones del fabricante.

Tabla 1. Relación de cebadores utilizados en este trabajo. En las secuencias se señalan la/s diana/s de restricción introducida/s.

Nombre	Secuencia (5' → 3')
XYL-FW(Ncol)	AT <u>CCC</u> ATGGAA <u>CCCG</u> GACTTTAACCA <u>CAG</u>
XYL-RV(BamHI + NotI)	CTACGAT <u>GCGGCC</u> CGACGAT <u>GGATC</u> CTCG <u>CTGGGGTGGAGCC</u>
XYL-FW(BamHI + NotI)	CTACGAT <u>GCGGCC</u> CGACGAT <u>GGATC</u> CAACCG <u>CGACTTTAACCA</u> AG
XYL-RV(Ncol)	TAG <u>CC</u> CATGG <u>TTC</u> CG <u>CTGGGGTGGAGC</u>
XYL-FW(NotI)	CTACGAT <u>GCGGCC</u> GAAC <u>CGC</u> GACTTTAACCA <u>AG</u>
LINK-RV(BamHI)	CGAT <u>GGATC</u> TTAATT <u>AAGGCC</u> GGCCG
NOUR-RV-check	CAGGCGCT <u>CTAC</u> ATGAGC
NR-FW-check	AGGATGG <u>TTGG</u> TT <u>CGG</u>
NR-MBD-SMA	T <u>CCCCCGGG</u> TTACC <u>ATGATCGGGTCGA</u>
NR-MBD-BAM	CG <u>GGATCC</u> AC <u>CTC</u> CTTA <u>AGCGCTT</u>
NiiA-B05-FW	AAGATA <u>CACGC</u> AT <u>ATCGG</u>
NiiA-B05-RV	GAT <u>TTTGACTT</u> CT <u>GGC</u>
NiiA-FW-check	GGTGACAGTGA <u>AGGATGC</u>

Tabla 2. Ciclos y temperaturas utilizadas en las reacciones de amplificación por PCR con las polimerasas *Taq* y *Phusion*.

Nº ciclos	Descripción	<i>Taq</i>		<i>Phusion</i>	
		Temperatura	Duración	Temperatura	Duración
1x	Desnaturalización	95°C	30 s	98°C	30 s
9x	Desnaturalización	95°C	15 s	98°C	(5-10) s
	Anillamiento	Ta*	30 s	Ta	30 s
	Extensión	68°C	Te**	72°C	Te
19x	Desnaturalización	95°C	15 s	98°C	30 s
	Anillamiento	Ta	30 s	Ta	30 s
	Extensión	68°C	Te + 3 s extra en cada ciclo	72°C	Te + 2 s extra en cada ciclo
1x	Extensión extra	68°C	10 min	72°C	10 min
1x		18°C	indefinido	18°C	indefinido

*Ta: Temperatura de anillamiento; **Te: Tiempo de elongación.

9. TRANSFORMACIÓN DE *Escherichia coli*

Se siguió el protocolo de Sambrook *et al.* (Sambrook and Russell, 2001).

9.1. Preparación de células competentes de *E. coli*

- 1) Inocular 2 ml de LB suplementado con tetraciclina (10 µg/ml) con una colonia de la correspondiente cepa de *E. coli*, previamente crecida en una placa de LB-agar con tetraciclina, e incubar toda la noche a 37°C.
- 2) Utilizar este cultivo para inocular tres matraces con 200 ml de medio SOB cada uno de ellos, con 0,1, 0,4 y 0,6 ml del preinóculo e incubar a 18-20°C con agitación hasta que uno de los cultivos alcance una densidad óptica de 0,4-0,6 a 600 nm.
- 3) Incubar las células en un baño de hielo durante 10 min y recogerlas por centrifugación a 800 x g durante 10 min.
- 4) Resuspender el sedimento en 40 ml de tampón TB (Hepes-KOH 10 mM pH 6,7, CaCl₂ 15 mM, KCl 250 mM, MnCl₂ 55 mM) a 0°C, incubar durante 10 min en hielo y recoger de nuevo las células por centrifugación.
- 5) Resuspender el sedimento en 16 ml de TB frío, mezclar con 1,2 ml de dimetilsulfóxido y distribuir las células competentes en alícuotas de 0,1 ml.
- 6) Congelar inmediatamente en nitrógeno líquido y conservar a -80°C hasta el momento de su uso.

9.2. Transformación de *E. coli* por choque térmico

- 1) Descongelar una alícuota de células competentes en un baño de hielo, añadir el ADN en un volumen menor o igual a 10 µl e incubar la mezcla en hielo durante 10 min.
- 2) Incubar durante 90 segundos a 42°C, y mantener durante otros 2 min en hielo.
- 3) Anadir 1 ml de LB, incubar durante una hora a 37°C y sembrar las células en placas de LB-agar con los antibióticos adecuados.

10. PCR DE COLONIAS

- 1) A partir de un cultivo en medio sólido de *E. coli*, picar cada colonia con un palillo estéril.
- 2) Resuspender las células en 25 µl de agua estéril, agitando el palillo y haciéndolo girar durante 5”.
- 3) Utilizar en la reacción de PCR 5 µl de la suspensión bacteriana y seguir el protocolo general de amplificación por PCR descrito en el apartado 6 de esta sección.

11. TRANSFORMACIÓN DE *B. cinerea*

11.1. Obtención de protoplastos

Este método está basado en el protocolo descrito por Hamada *et al.* (Hamada et al., 1994) y modificado por van Kan *et al.* (Van Kan et al., 1997).

- 1) Inocular 300 ml de ME con una suspensión de conidias a una concentración final de 1,5 x 10⁶ conidias/ml e incubar durante 16-20 horas a 20°C a 180 rpm en un agitador rotatorio.
- 2) Recoger el micelio por filtración en un kitasato estéril y lavarlo 2 veces con disolución KC (KCl 0,6 M, CaCl₂ 50 mM).
- 3) Resuspender en 50 ml de disolución KC suplementada con Glucanex (Sigma-Aldrich) a una concentración final de 7,5 mg/ml e incubar durante 2 horas a 20°C con el mismo agitador del paso 1 a 140 rpm, comprobando la formación de protoplastos cada 30 min.
- 4) Filtrar la suspensión para eliminar el micelio sin digerir, primero a través de tejido de nylon con un diámetro del poro de 25 µm y, posteriormente, de 10 µm y sedimentar los protoplastos obtenidos por centrifugación durante 10 min a 100 x g.
- 5) Lavar el sedimento con disolución KC y resuspender los protoplastos en esta misma disolución a una concentración final de 10⁸ protoplastos/ml.

11.2. Transformación de los protoplastos

- 1) Precipitar 5 µg del ADN transformante con acetato potásico 5 M pH 4,8/etanol, resuspender en 95 µl de disolución KC e incubar durante 5 min en hielo.
- 2) Añadir 5 µl de espermidina (Sigma-Aldrich) 5 mM y, después de incubar en hielo durante 5 min, añadir 100 µl de la suspensión de protoplastos e incubar la mezcla otros 5 min en las mismas condiciones.
- 3) Mezclar con 100 µl de una disolución al 25% de polietilenglicol 3350 (Sigma-Aldrich) en Tris-HCl 10 mM, pH 7,4 y CaCl₂ 50 mM e incubar durante 20 min a temperatura ambiente.
- 4) Transcurrido este tiempo, añadir 500 µl de la disolución de polietilenglicol y mantener durante 10 min a temperatura ambiente. Finalmente, añadir 200 µl de disolución KC.
- 5) Separar en dos mitades la mezcla de transformación y resuspender cada una de ellas en 100 ml de SH-agar precalentado a 46°C y dispensar inmediatamente en placas de Petri.
- 6) Tras 20 horas de incubación a 20°C, cubrir las placas con un volumen de aproximadamente 15 ml/placa de SH-agar suplementado con 100 µg/ml de nourseotricina o higromicina (Duchefa) e incubar a 20°C durante 4 o 5 días más.
- 7) Transferir las colonias transformantes a placas de MEA suplementadas con 100 µg/ml del antibiótico requerido e incubar a 20°C durante 2-3 días.

12. ENSAYO DE VIRULENCIA DE *B. cinerea*

- 1) Disponer hojas cortadas de tabaco sobre papel de filtro humedecido con agua estéril.

- 2) Recortar un pequeño fragmento de agar con micelio de una placa de Petri en la que previamente se creció la cepa a ensayar.
- 3) Colocar los fragmentos de agar sobre la superficie de la hoja e incubar a 20°C, en recipientes cerrados en condiciones de alta humedad.
- 4) Registrar el avance de la infección cada 24 horas y medir el radio de los halos de infección obtenidos.

13. OBTENCIÓN DE DNA GENÓMICO DE *B. cinerea*

- 1) Inocular 1 ml de YGG con una porción de agar con micelio e incubar durante tres días a 20°C y con agitación.
- 2) Al cabo de este tiempo, centrifugar, eliminar el sobrenadante y añadir 1 ml de agua estéril para lavar el micelio y centrifugar.
- 3) Resuspender el micelio en 300 µl de TES-S (Tris-HCl 100 mM pH 8,0 y EDTA 10 mM) y añadir bolas de vidrio de 0,5 µm de diámetro, hasta el menisco formado por el líquido.
- 4) Homogeneizar el micelio en un FastPrep-24MP BeadBeater (60 s a 6 m/s).
- 5) Añadir 200 µl de TES-S, 50 µl de SDS al 20% y 3 µl de proteinasa K (20 mg/ml), agitar bien e incubar 30 min a 60°C.
- 6) Agujerear el fondo del tubo con una aguja al rojo, colocar sobre un tubo eppendorf sin tapa y centrifugar 5 min a 7000 rpm en una microfuga de mesa.
- 7) Pasar 500 µl del filtrado a un nuevo tubo, añadir 194 µl de NaCl 5 M y 69.4 µl de CTAB (bromuro de cetiltrimetilamonio) al 10% e incubar durante 10' a 65°C.
- 8) Añadir 700 µl de SEVAG (cloroformo:isoamílico 24:1), mezclar suavemente (vórtex 1'') e incubar durante 30' a 0°C.
- 9) Centrifugar 30'' y transferir 800 µl de la fase acuosa a un nuevo tubo y volver a centrifugar 10' a 4°C y 13500 rpm en una centrífuga Beckman equipada con rotor JA-14.
- 10) Transferir 650 µl de la fase acuosa a un nuevo tubo, añadir 325 µl acetato amónico 5M, mezclar suavemente y congelar a -70°C al menos 30'.
- 11) Dejar descongelar y centrifugar 10' en las mismas condiciones que en el punto 9.
- 12) Transferir 900 µl del sobrenadante a un tubo nuevo e incubar con RNAsa (2 µl 10 mg/ml) en tampón Tris-HCl 10 mM pH 7,5, NaCl 15 mM, durante 15' a 37°C.
- 13) Añadir 0,55 volúmenes de isopropanol para precipitar el DNA y centrifugar inmediatamente durante 5' en las mismas condiciones que en el punto 9.
- 14) Lavar 2 veces el DNA precipitado con etanol al 70% y secar en el Speed-Vac.
- 15) Resuspender, finalmente el DNA genómico en 100 µl de agua estéril.

RESULTADOS Y DISCUSIÓN



1. ANÁLISIS BIOINFORMÁTICO DEL GENÓMA DE *B. cinerea*

1.1. Identificación de los genes que codifican para endo- β -1,4 xilanasas en el genoma de *B. cinerea*

En la actualidad, se dispone de tres bases de datos distintas del genoma de *B. cinerea*, correspondientes dos de ellas a la secuenciación del genoma de la cepa B05.10 (Amselem et al., 2011; Staats and van Kan, 2012) y la tercera a la secuenciación del genoma de la cepa T4 (Amselem et al., 2011). Los códigos de acceso de los genes en estas bases de datos son: para la cepa *B. cinerea* B05.10, códigos BC1G.... y B0510...., y para la cepa *B. cinerea* T4, códigos BofuT4...

El conocimiento del genoma completo del hongo permite el análisis de la posible presencia de genes codificantes para otras xilananas, además de la Xyn11A (Brito et al., 2006). Las endo- β -1,4-xilananasas (EC 3.2.1.8) provocan la ruptura del esqueleto de xilano rompiendo enlaces entre moléculas de xilosa y pertenecen, la gran mayoría de ellas, a las familias 10 (GH10) y 11 (GH11) de las glicosil hidrolasas (Cantarel et al., 2009), según la clasificación en la base de datos CAZy (Carbohydrate-Active EnZymes, www.cazy.org), aunque también se han descrito algunas en las familias 5, 7, 8 y 43 (Collins et al., 2005). Por ello, se realizó una búsqueda en las bases de datos del genoma de *B. cinerea* utilizando los dominios que el servidor Pfam (Bateman et al., 2004) define como característicos para cada una de estas dos familias de glicosil hidrolasas, a través de las herramientas bionformáticas disponibles en la web del Broad Institute (http://www.broadinstitute.org/annotation/genome/botrytis_cinerea/ToolsIndex.html). Con las secuencias identificadas se realizaron alineamientos entre ellas, utilizando el servidor ClustalW2 (<http://www.ebi.ac.uk/Tools/msa/clustalw2/>), con el fin de analizar sus similitudes. Para estimar el porcentaje de identidad entre secuencias, se utilizó el servidor EMBOSS Stretcher (http://www.ebi.ac.uk/Tools/psa/emboss_stretcher/). Los resultados obtenidos se detallan a continuación.

- Xilananas de la familia GH10

Se identificaron un total de 4 genes que codificaban para posibles glicosil hidrolasas de la familia 10. Tres de estos genes aparecen en las dos secuenciaciones del genoma de la cepa B05.10, BC1G_00576.1, BC1G_01778.1 y B0510_1817, y el último, BcT4_8157, en la secuenciación de la cepa T4. Todos los genes tienen una longitud de 1584 pb, exceptuando el gen BC1G_00576.1 que es ligeramente mayor (1594 pb).

El siguiente paso del estudio consistió en alinear la secuencia de estos genes para analizar si se trataban de las mismas secuencias o si las anotaciones correspondían a genes distintos.

Los resultados del alineamiento (Anexo I) revelaron que las secuencias BC1G_01778.1, B0510_1817 y BcT4_8157, en realidad corresponden al mismo gen, pero el gen anotado como BC1G_00576.1, es diferente (Anexo I). El porcentaje de identidad entre estos dos genes resultó ser del 46,8%.

Estas diferencias entre cepas respecto a la presencia de una mayor cantidad de genes en una secuenciación frente a la otra, se puede deber a que en la cepa B05.10 el 97,3% del genoma pudo ser alineado, mientras que en la cepa T4 fue el 96,5%. (Staats and van Kan, 2012).

Se, concluye, por tanto, que existen en el genoma de *B. cinerea* 2 genes que codifican para xilanatas de la familia GH10, BC1G_00576.1 y BC1G_01778.1. Las secuencias de los genes, de las posibles proteínas que codifican y los alineamientos realizados entre ellas están recogidas en el Anexo I.

- Xilanatas de la familia GH11

Se identificaron un total de 8 genes que codifican proteínas pertenecientes a la familia 11 de las glicosil hidrolasas. Cinco de estos genes se identificaron en la secuenciación de la cepa B05.10 (BC1G_13645.1, BC1G_03590.1, B0510_640, B0510_3175 y B0510_2491) y los tres restantes, en la secuenciación de la cepa T4 (BcT4_797, BcT4_9475 y BcT4_5561). Los genes tienen longitudes variables, comprendidas entre 738 pb y 1170 pb.

El estudio de los alineamientos realizados entre estas 8 secuencias (Anexo I) permitió obtener las siguientes conclusiones. Las secuencias BC1G_13545.1, B0510_2491 y BCT4_5561 corresponden, en realidad, al mismo gen, teniendo un porcentaje de identidad del 100% (Anexo I). Similares resultados se obtuvieron al comparar entre sí las secuencias BC1G_03590.1, B0510_3175 y BCT4_797 y también al comparar entre ellas las secuencias de los genes B0510_640 y BCT4_797 (Anexo I). Se identificaron, por tanto, 3 genes distintos, BC1G_03590.1, BC1G_13645.1 y B0510_640, que codifican para glicosil hidrolasas de la familia 11 distintas. El porcentaje de identidad que se obtuvo al comparar las secuencias de estos tres genes se recoge en la Tabla 3 y las secuencias de los genes, de las posibles proteínas que codifican y los alineamientos realizados están descritas en el Anexo 1.

Tabla 3. Porcentaje de identidad entre los genes de la familia GH11.

genes	BC1G_03590.1/ B0510_3175/ BcT4_9475	BC1G_13645.1/ B0510_2491/BCT4_5561	B0510_640/ BCT4_797
BC1G_03590.1/ B0510_3175/ BcT4_9475	...	39,5	42,3
BC1G_13645.1/ B0510_2491/BCT4_5561	54,0

A partir de este análisis, se concluye, por tanto, que en el genoma de *B. cinerea* se han identificado 5 genes que codifican para endo-β-1,4-xilananas (presentes tanto en la cepa B05.10 como en la cepa T4), dos de ellas pertenecientes a la familia 10 y las tres restantes a la familia 11 de las glicosil hidrolasas.

1.2. Análisis *in silico* de las proteínas pertenecientes a las familias GH10 y GH11

En primer lugar, se comprobó la presencia de secuencia señal en las cinco xilananas para las que codifica el genoma de *Botrytis cinerea* con el fin de corroborar que todas ellas son proteínas secretadas al medio extracelular. Para ello se utilizó el servidor SignalP4.1 (Petersen et al., 2011), que predice además, el sitio de corte del péptido. Los resultados obtenidos indicaron que todas las xilananas tienen péptido señal (Anexo I), confirmando que las secuencias identificadas en este estudio corresponden a proteínas que entran en la ruta de secreción.

También se analizó la posible similitud entre estas proteínas (los alineamientos de las secuencias se recogen en el Anexo I de la presente memoria) Entre las dos xilananas de la familia GH10 se encontró un porcentaje de identidad del 28.2% y de similitud del 36.0%. Los porcentajes de identidad y similitud obtenidos al analizar, dos a dos, las 3 xilananas identificadas de la familia GH11 se recogen en la Tabla 4. De entre ellas, la codificada por el gen BcT4_797 corresponde a la endo-β-1,4-xilanasa Xyn11A, caracterizada por factor de patogenicidad en estudios previos (Brito et al., 2006), capaz de inducir la respuesta hipersensible en la planta, independientemente de su actividad enzimática (Noda et al., 2010).

Tabla 4. Porcentajes de identidad y de similitud entre los xilananas de la familia GH11

Proteínas	Identidad (%)	Similitud (%)
BC1G_13645.1/ BC1G_03590.1	32,6	48,3
BC1G_13645.1/ BcT4_797	44,3	61,7
BC1G_03590.1/BcT4_797	48,8	60,2

1.3. Diseño de un gen químérico para inducir el silenciamiento de las 5 xilananas de *B. cinerea*

Para inducir el silenciamiento génico es necesario provocar la síntesis en la célula de una molécula de RNA pequeña de doble cadena específica para el gen diana que se desea silenciar. El objetivo del presente trabajo es provocar el silenciamiento, utilizando la estrategia conocida como *building block*, simultáneamente de las 5 xilananas cuyos genes han sido detectados en el genoma del *Botrytis cinerea*. Para ello, en primer lugar se identificaron regiones de 20-50 nt en cada uno de los genes seleccionados, utilizando el servidor

SVMRNAi2.0 (<http://www.changbioscience.com/stat/sirna.html>), que cumplieran requisitos básicos para que pudieran actuar como siRNAs (Petri and Meister, 2013) (Tafer, 2014). Entre estos requisitos destacan el contenido de G+C, que debe estar entre el 30-52%, la ausencia de regiones con repeticiones consecutivas de una base y de regiones que contengan SNPs (*Single Nucleotide Polymorphism*) en su secuencia, y la estructura formada en la región 5', entre la secuencia y el RNA a silenciar, debe ser más estable que en la región 3' (Tafer, 2014). En base a estos criterios, el servidor selecciona varias regiones de 21 nt en cada gen, y a cada una le asigna una puntuación. En este trabajo, se seleccionaron las regiones de 21 nucleótidos con puntuación más alta para cada uno de los 5 genes codificantes para xilananas que se desean silenciar (Anexo I, Tabla 5). Además, se decidió ampliar cada una de estas regiones en 13-14 nucleótidos de la secuencia del gen correspondiente en cada extremo, para poder facilitar el posterior clonaje y manipulación de la construcción resultante. De esta forma, se utilizó un fragmento de 50 nt específico para cada una de las xilananas en la construcción del gen químérico silenciador (Tabla 5).

La secuencia final resultante de la combinación de las regiones recogidas en la Tabla 5 dio lugar a un gen químérico (Fig. 1A, Anexo I), al que se añadió en el extremo 3' una región de 22 nucleótidos, que introduce dianas para las enzimas de restricción *Sac1*, *Fse1* y *Pac1* y, que al mismo tiempo, va a servir como región espaciadora, sin homología, en la estrategia de silenciamiento tallo-bucle. (Fig. 1B). La secuencia se utilizó para realizar una búsqueda Blast en la web del NCBI (<http://blast.ncbi.nlm.nih.gov/Blast.cgi>), y así corroborar que la construcción resultante no tenía homología con otras secuencias de DNA que pudieran dar lugar al silenciamiento de otros genes no deseados.

Tabla 5. Secuencias utilizadas en la construcción del gen química silenciador. Código de acceso de cada gen (ID); familia de glicosil hidrolasa (GH); secuencia (en rojo la región de 21 nt elegida como siRNA) y las posiciones 5' (inicio) y 3' (final) de cada secuencia en cada uno de los genes.

ID	GH	Secuencia	Inicio	Final
BC1G_13645.1	11	5'-AACCGCGACTTT AACCAGTACATC TCGGTGCATCTCCCCGGAAAA-3'	555	604
BC1G_03590.1	11	5'-AGGTGGTATACTGG AAGCCTACCT CGGCTCCACTACTTCTCCTACAA-3'	928	977
B0510_640	11	5'-TCCGTCCGTACTAGC AAGCGTACGAG CGGTACCGTCACCACTGCAAACCA-3'	589	639
BC1G_00576.1	10	5'-GCGGCTGTCATCA AAGCAAACTTG GACAAGTGA CACCAGAAAACAGCAT-3'	505	554
BC1G_01778.1	10	3'-TTGTAGGCCGGGT GAACGGTATAG TTAGCGTACCA GAGACAGGCATCACC-5'	1054	1103
BC1G_01778.1	10	5'-ACGGTGTGGTCTCC AAGCCCAC T CATCGTCGGCT CCACCCCCAGCGAA-3'	770	819

La secuencia fue sintetizada químicamente (GeneScript) y suministrada en el plásmido pUC57-6CXs.

A)

5' AACCGCGACTTTAACCAAGTACATCTGGTGCATCTCCCCGCGGAAAAAAGGTGGTGATAGTGGAA
AGTCCTACCTCGGCTCCCACACTTCTCCTACAATCCGTCGGTACTAGCAAGCGTACGAGCGGTACCG
TCACCACTGCAAACCAGCGGCTGTCATCAAAGCAAACTTGGACAAGTGACACCCAGAAAACAGCAT
TGTAGGGGGGTGAACGGTATAGTTAGCGTACCAGAGACAGGCATCACCACGGTGTGGTCTCCAAG
CCCACTTCATCGTCGGCTCCACCCCCAGCGAAGAGCTCGGCCGGCTTAATTAA-3'

B)



Figura 1. Gen químérico Hom_XyL. A) Secuencia completa del gén químérico. Con diferentes colores se señalan las regiones correspondiente a cada gen de los 5 que codifican para xilananas; en verde y subrayado, secuencia espaciadora. B) Esquema del gen químérico. Cada segmento corresponde a 50 pb de los genes que se indican en cada caso. ESP: secuencia espaciadora.

2. OBTENCIÓN DE LOS PLÁSMIDOS TRANSFORMANTES CONTENIENDO Hom_XyL

2.1. Construcción del plásmido pNDN-XyL

Este plásmido deriva del vector pNDN-OGG (Schumacher, 2012), que contiene el casete de resistencia a nourseotricina como marcador selectivo, además de un casete de expresión, entre dos regiones homólogas al gen *niaD* responsables de dirigir la integración del mismo en el locus *niaD* del genoma de *Botrytis* (Fig. 2).

Para la construcción del plásmido pNDN-Xyl (Fig. 2), se amplificó la región Hom_XyL sin la secuencia espaciadora a partir del plásmido pUC57-6CXs utilizando los cebadores XYL-FW(Nco1) y XYL-RV(BamH1+Not1) (Tabla 1), que introducen dianas para las enzimas de restricción que se indican en sus respectivos nombre a ambos extremos de la secuencia. El fragmento amplificado de 336 pb (Fig. 2) fue digerido con las enzimas de restricción *NcoI* y *NotI* y ligado con el vector pNDN-OGG previamente digerido con las mismas enzimas (Fig. 2).

El producto de la ligación se usó para transformar células de *E. coli* y las colonias resultantes fueron analizadas para comprobar la existencia del plásmido por PCR de colonias, utilizando los mismo cebadores XYL-FW (Nco1) y XYL-RV(BamH1+Not1) (Fig. 2). En aquellos casos en que se amplificó el fragmento esperado de 336 pb, se crecieron las cepas correspondientes, se purificó el DNA plasmídico y se corroboró por digestión con enzimas de

restricción, la presencia de esta región en el plásmido (Fig. 2) El plásmido resultante se denominó pNDN-XyL (Fig. 2).

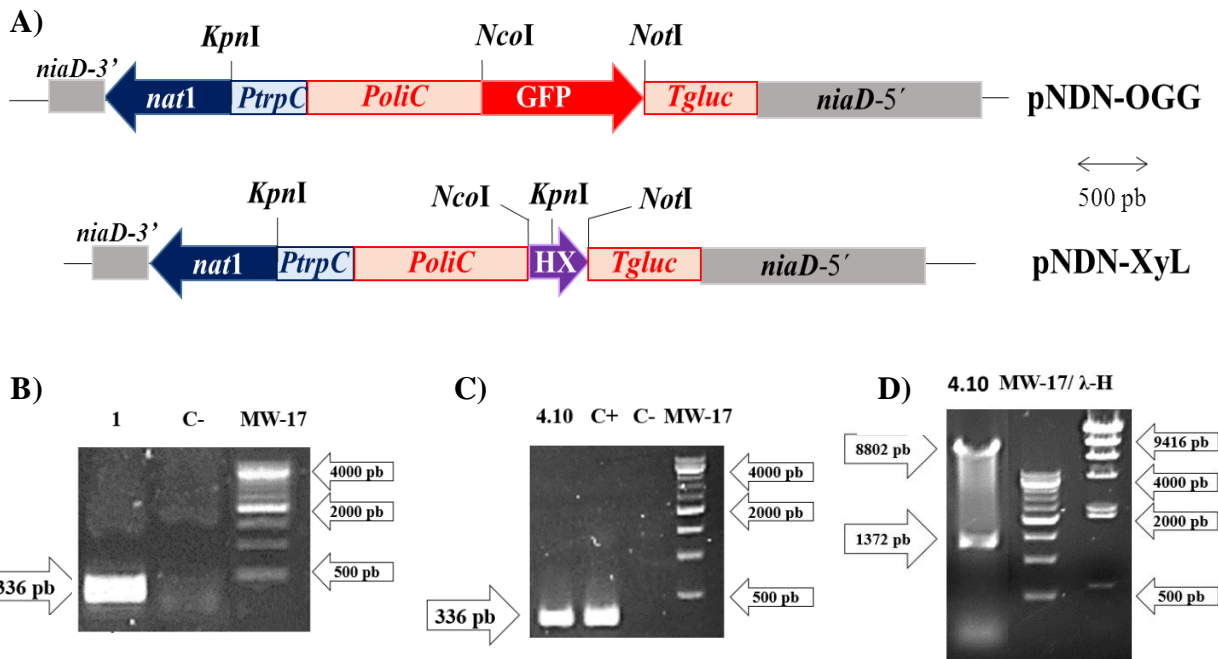


Figura 2. Construcción del plásmido pNDN-XyL. A) Esquema de los plásmidos pNDN-OGG y pNDN-XyL. *niaD-3'* y *niaD-5'*, regiones flanqueantes 3' y 5', respectivamente del gen *niaD* de *B. cinerea*; *nat1*, gen de resistencia a la nourseotricina; *PtrpC*, promotor *trpC* de *A. nidulans*; *PoliC*, promotor *oliC* de *A. nidulans*; GFP, gen de la proteína verde fluorescente; *Tgluc*, terminador *gluc* de *B. cinerea*; HX, gen químico silenciador Hom_XyL, sin región espaciadora. B) Electroforesis del fragmento de 336 pb amplificado con los cebadores XYL-FW (NcoI) y XYL-RV(BamH1+NotI), a partir del plásmido pUC57-6cxs (1); control negativo de la reacción de PCR sin DNA (C-). C) Electroforesis de la PCR a partir de una colonia con los mismos cebadores que en B), de un clon positivo (4.10); control positivo de la amplificación con los mismos cebadores a partir del plásmido pUC57-6cxs (C+); control negativo de la reacción de PCR sin DNA (C-). D) Electroforesis de la digestión del plásmido del clon 4.10 con *KpnI* (4.1). MW-17 y λ -H: Marcadores de peso molecular. Todas las electroforesis se realizaron en gel de agarosa al 0,7 %.

2.2. Construcción del plásmido pNAH-XyL

La construcción del plásmido pNAH-XyL (Fig. 3) se realizó siguiendo los mismos pasos que para la construcción de pNDN-XyL, con las excepciones del vector utilizado para el clonaje, los cebadores y las enzimas de restricción utilizadas. El fragmento Hom_XyL sin secuencia espaciadora se amplificó por PCR (Fig. 3) usando los cebadores XYL-FW(BamHI+NotI) y XYL-RV(NcoI) (Tabla 1), que introducen dianas para las enzimas de restricción indicadas en sus nombres en los correspondientes extremos del fragmento. Después de ser digerido con *NcoI* y *NotI*, fue clonado en los mismos lugares de restricción en este caso, del vector pNAH-OGG (Fig. 3). pNAH-OGG (Schumacher, 2012) contiene el casete de resistencia a higromicina como marcador selectivo, además de un casete de

expresión, entre dos regiones homólogas al gen *niiA* responsables de dirigir la integración del mismo en el locus *niiA* del genoma de *Botrytis*.

En el rastreo por PCR de colonia de los transformantes de *E. coli*, se utilizaron los cebadores XYL-FW(BamHI+NotI) y XYL-RV(NcoI) (Fig. 3) y los plásmidos obtenidos a partir de los clones positivos, se digirieron con las enzimas de restricción *KpnI* y *EcoRI* para corroborar los resultados de la PCR. El plásmido resultante se denominó pNAH-XyL, que se diferencia de pNDN-XyL, en que el fragmento Hom_XyL está clonado en la orientación contraria y en que el casete de resistencia que contiene es que confiere resistencia a higromicina (Fig. 3).

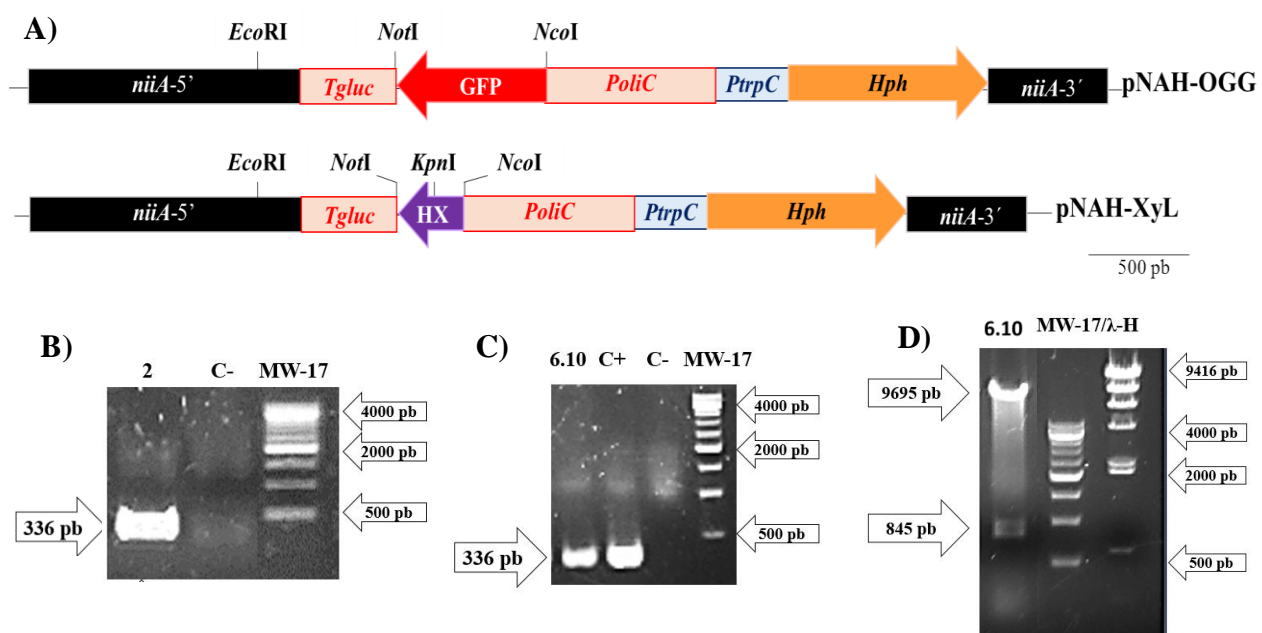


Figura 3. Construcción del plásmido pNAH-XyL. A) Esquema de los plásmidos pNAH-OGG y pNAH-XyL. *niiA-3'*y *niiA-5'*, regiones flanqueantes 3' y 5', respectivamente del gen *niiA* de *B. cinerea*; *nat1*, gen de resistencia a la nourseotricina; *PtrpC*, promotor *trpC* de *A. nidulans*; *PoliC*, promotor *oliC* de *A. nidulans*; GFP, gen de la proteína verde fluorescente; *Tgluc*, terminador gluc de *B. cinerea*; HX, gen químico silenciador Hom_XyL, sin región espaciadora B) Electroforesis del fragmento de 336 pb amplificado con los cebadores XYL-FW(BamHI+NotI) y XYL-RV(NcoI) a partir del plásmido pUC57-6cxs (2); control negativo de la reacción de PCR sin DNA (C-). C) Electroforesis de la PCR a partir de una colonia, con los mismos cebadores que en B), de un clon positivo (6.10); control positivo de la amplificación con los mismos cebadores a partir del plásmido pUC57-6cxs, (C+); control negativo de la reacción de PCR sin DNA (C-). D) Electroforesis de la digestión del plásmido del clon 6.10 con *KpnI* y *EcoRI* (6.10). MW-17 y λ -H: marcadores de peso molecular. Todas las electroforesis se realizaron en gel de agarosa al 0,7 %.

2.3. Construcción del plásmido pNDN-XyL-Tail

Este plásmido se construyó para llevar a cabo la estrategia de silenciamiento por el método de tallo-bucle y deriva del plásmido pNDN-XyL, en el que se ha clonado una nueva

copia del fragmento Hom_XyL, esta vez con la secuencia espaciadora, de manera que se integre en la orientación contraria a la existente en el plásmido (Fig. 4).

Para ello, el fragmento Hom_XyL fue obtenido por amplificación por PCR a partir de pUC57-6CXs, en esta ocasión con los cebadores XYL-FW(NotI) y LINK-RV(BamHI) (Tabla 1), que introducen dianas para *NotI* y *BamHI*, respectivamente. El producto de esta amplificación, un fragmento de 347 pb (Fig. 4) fue digerido con las enzimas de restricción *BamHI* y *NotI*, y ligado con el vector pNDN-XyL, previamente digerido con las mismas enzimas. El producto de la ligación se usó para transformar células SURE-2 de *E. coli*, pero en este caso, el rastreo de clones positivos no se realizó por PCR de colonias ya que los productos de amplificación pueden formar una estructura en bucle por la existencia de regiones repetidas invertidas, que impiden la unión del cebador y la posterior amplificación. Los transformantes fueron crecidos en LB y se extrajo el DNA plasmídico para caracterizar los plásmidos según su mapa de restricción (Fig. 4). El plásmido resultante se denominó pNDN-XyL-Tail.

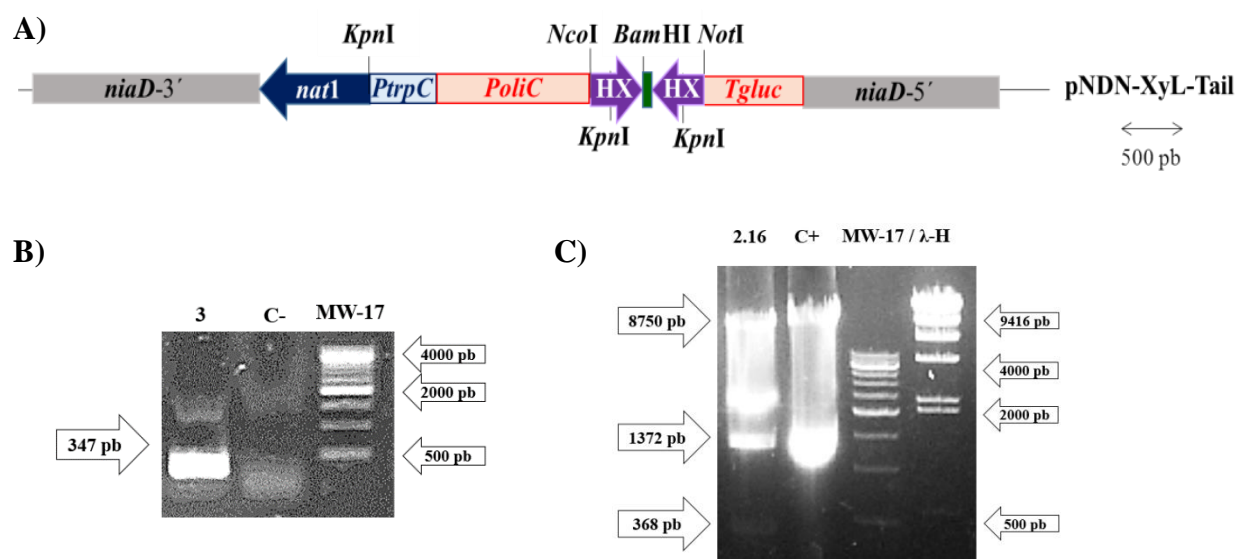


Figura 4. Construcción del plásmido pNDN-XyL_Tail. **A)** Esquema del plásmido pNDN-XyL-Tail, derivado de pNDN-XyL; *niaD-3'* y *niaD-5'*, regiones flanqueantes 3' y 5', respectivamente del gen *niaD* de *B. cinerea*; *nat1*, gen de resistencia a la nourseotricina; *PtrpC*, promotor *trpC* de *A. nidulans*; *PoliC*, promotor *oliC* de *A. nidulans*; GFP, gen de la proteína verde fluorescente; *Tgluc*, terminador *gluc* de *B. cinerea*; HX, gen químico silenciador Hom_XyL; segmento verde, región espaciadora. **B)** Electroforesis del fragmento de 347 pb amplificado con los cebadores XYL-FW(NotI) y LINK-RV(BamHI) a partir del plásmido pUC57-6cx, (3); control negativo de la reacción de PCR sin DNA (C-). **C)** Electroforesis de la digestión del plásmido del clon 2.16 (2.16) y del plásmido pNDN-XyL (C+) con *KpnI*. MW-17 y λ-H: marcadores de peso molecular. Todas las electroforesis se realizaron en gel de agarosa al 0,7 %.

3. TRANSFORMACIÓN DE *B. cinerea*

Una vez obtenidos los plásmidos pNDN-XyL, pNAH-XyL y pNDN-XyL-Tail, se procedió a transformar protoplastos de *Botrytis cinerea* con cada uno de estos vectores por separado. La integración en el genoma de los tres se espera que sea dirigida al locus *niaD*, en el caso de los plásmidos pNDN-Xyl y pNDN-XyL-Tail, o al locus *niiA*, en el caso de pNAH-OGG.

En cada transformación se utilizó al menos 1 µg de DNA plasmídico, que fue previamente digerido con *HindIII*. Esta enzima de restricción provoca la linealización de los plásmidos al tener todos ellos una única diana de corte fuera de la estructura transformante. La estructura lineal del DNA transformante favorece la integración en el genoma (Noda et al., 2007). Los transformantes fueron seleccionados en presencia de nourseoticina o higromicina, dependiendo del plásmido utilizado en la transformación, y después de tres días a 20°C, los positivos fueron resembrados en MEA suplementado con el correspondiente antibiótico. Se seleccionaron de esta forma para su posterior confirmación y caracterización, 12 transformantes procedentes de la transformación con el plásmido pNDN-XyL-Tail, a los que se les denominó Bc-pNDN-XyL-Tail, y 6 transformantes procedentes de la transformación con el plásmido pNAH-XyL, denominados en este caso Bc-pNAH-XyL. No se obtuvo ningún transformante cuando se utilizó el plásmido pNDN-XyL en la transformación, posiblemente porque la cantidad de DNA no fuera suficiente.

4. CARACTERIZACIÓN DE LAS CEPAS TRANSFORMANTES

4.1. Análisis de la capacidad para degradar xilano

Uno de los objetivos de este trabajo es valorar si el silenciamiento de los 5 genes codificantes para xilanases de las familias GH10 y GH11, provoca totalmente la pérdida de esta actividad en el secretoma del hongo y si este hecho afecta la virulencia de *B. cinerea*. Se realizó un ensayo preliminar en las cepas transformantes obtenidas, para analizar su capacidad de degradar el xilano y utilizarlo como única fuente de carbono para su crecimiento. Para ello, se sembraron los transformantes seleccionados en placas con GamXyl, medio que contiene xilano al 1%. En cada placa se ensayaron 3 transformantes, sembrados a partir de una pequeña porción de agar con micelio, además de la cepa B0510, utilizada como control positivo (a modo de ejemplo, Fig. 5). Después de dos días de crecimiento a 20°C, se analizó el tamaño de las colonias y la degradación del xilano que los transformantes produjeron, por observación del halo que se produce en torno a las colonias, por la modificación que produce

el hongo en el medio. Los resultados obtenidos mostraron que no existían diferencias apreciables con el control positivo, ni en el tamaño de las colonias ni en el tamaño del halo producido en torno a ellas, en ninguna de las cepas ensayadas.

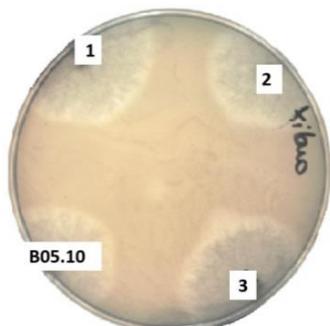


Figura 5. Ensayo de crecimiento en xilano. Placa de Petri con GamXyL, inoculada con los transformantes Bc-pNDN-XyL-Tail-1, 2 y 3 después de 2 días a 20°C. Como control positivo se usó la cepa B05.10 de *B. cinerea*.

No se debe olvidar que el ensayo realizado es muy preliminar, ya que todos transformantes son heterocariontes, es decir, presentan una mezcla de núcleos transformados y silvestres. Este hecho puede influir en los resultados obtenidos, en el sentido, de que con pocos núcleos no transformados que existan en la cepa, su capacidad para degradar el xilano no se vea reducida de una forma drástica. Se necesita, por tanto, repetir el ensayo, purificando homocariontes de todos los transformantes. Purificar homocariontes es una tarea laboriosa que requiere de pases sucesivos de las cepas a medio selectivo para aislar conidias e ir eliminando en cada pase, los núcleos silvestres. En este proyecto no se pudieron aislar por falta de tiempo.

4.2. Ensayo de virulencia de las cepas Bc-pNDN-XYL-Tail y Bc-pNAH-XyL

En este apartado, se quiere valorar si el silenciamiento de los genes de las xilananas de las familias GH10 y GH11, afectan de alguna manera la infectividad del hongo en hojas de tabaco. Para ello, se siguió el protocolo de ensayo de virulencia de *B. cinerea*. Se utilizaron las cepas Bc-pNDN-XyL-Tail, Bc-pNAH-XyL y como control la cepa B05.10 de *B. cinerea*, y en cada hoja se realizaron varias réplicas con cada una de las cepas a ensayar. Las hojas infectadas fueron mantenidas en condiciones de alta humedad a 20°C y las infecciones se siguieron a lo largo de 3 días, siendo visibles las lesiones ya desde el segundo día. El análisis de las lesiones mostró una gran variabilidad (Fig. 6), incluso entre las réplicas de una misma cepa transformante, aunque, en general, todas ellas fueron capaces de producir una lesión en la planta. No se pudo valorar si estas lesiones eran similares a las producidas por la cepa silvestre, ya que, en esta ocasión, la cepa B05.10 no produjo una lesión apreciable en ninguna de las réplicas realizadas. Se necesita, por tanto, volver a repetir el ensayo, para poder realizar una valoración más precisa de la capacidad infectiva de estos transformantes.

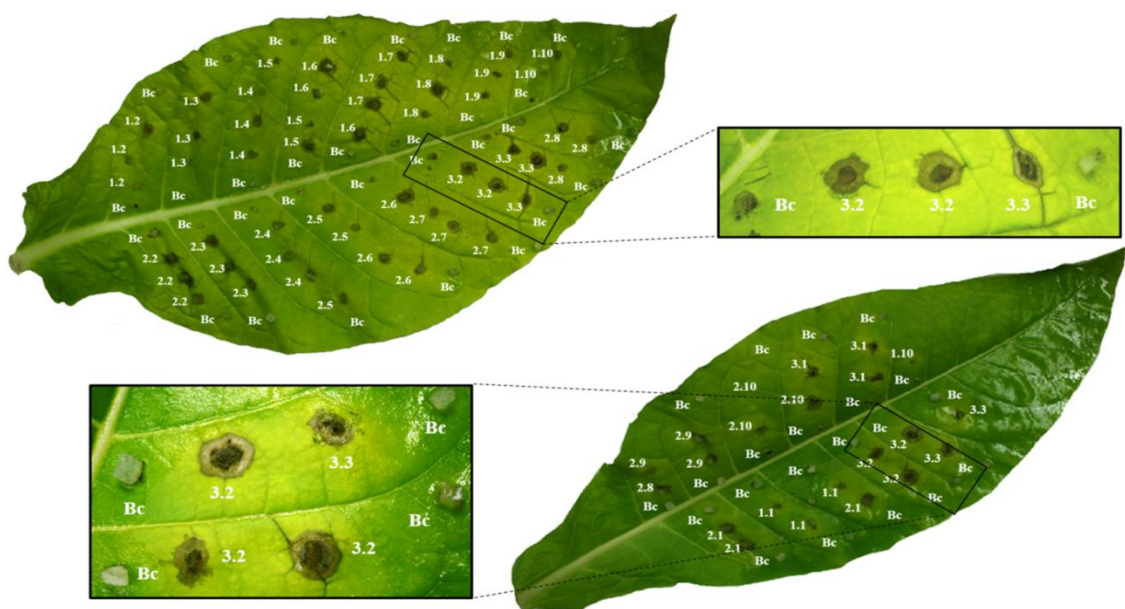


Figura 6. Ensayo de virulencia de las cepas transformantes en hojas de tabaco. Hojas de tabaco, con trozos de agar con micelio de las cepas transformantes Bc-pNDN-XyL-Tail, pNAH-XyL y la cepa control de B05.10. Bc: control positivo de la cepa B05.10 de *B. cinerea*. 3.2 y 3.3, colonias de la cepa Bc-pNAH-XyL. La numeración 1 (1.1 a 1.10) y 2 (2.1 a 2.10) pertenece a la cepa Bc-pNDN-Xyl-Tail y la numeración 3 (3.1 a 3.3) pertenece a la cepa Bc-pNAH-XyL (Anexo II). En los recuadros se muestran detalles de algunas infecciones.

4.3. Análisis del DNA genómico de los transformantes.

Con el objeto se comprobó si las cepas seleccionadas contenían intacta la construcción transformante, se obtuvo DNA genómico de cada uno de los transformantes y se realizaron diferentes reacciones de amplificación.

En primer lugar, se llevó a cabo una reacción de amplificación con el fin de corroborar si los locus *niaD* o *niiA*, permanecían intactos en los genomas o, si por el contrario, se había producido su delección por la integración dirigida del DNA transformante utilizado en cada caso. Para el gen *niaD* se utilizaron los cebadores NR-MBD-BAM y NR-MBD-SMA (Tabla 1) y para la amplificación de parte del gen *niiA* se usaron los cebadores NiiA-B05-FW y NiiA-B05-RV (Tabla 1). Los resultados obtenidos muestran que todos los transformantes contienen los genes para *niiA* y *niaD*. (Fig. 7). Como producto de la reacción de amplificación, se espera obtener un fragmento de 501 pb para *niaD* (Fig. 7A), y uno de 616 pb para *niiA* (Fig. 7B). Sólo en uno de los transformante TAIL2.9 no se observó lo correspondiente banda amplificada. Sin embargo, tampoco se obtuvo ningún fragmento de DNA, cuando la reacción de amplificación se realizó con los cebadores NiiA-B05-FW y NiiA-B05-RV, indicando que probablemente, la calidad del DNA genómico no fue la adecuada para realizar una reacción de PCR.

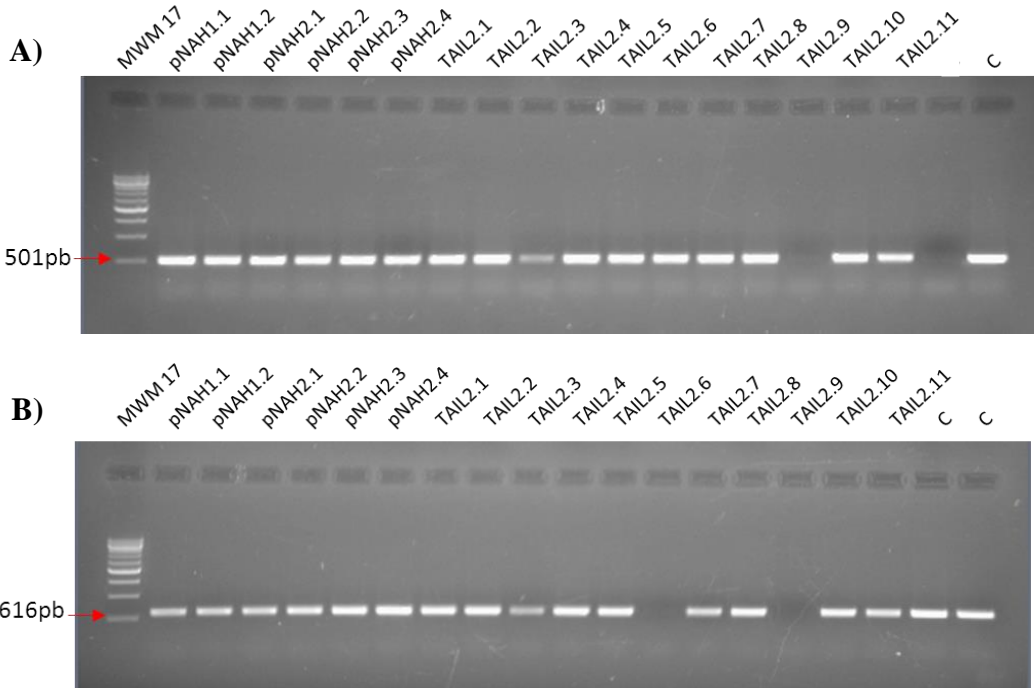


Figura 7. Electroforesis de las reacciones de PCR que amplifican los loci *niiA* y *niaD* del genoma de *B. cinerea*. Amplificaciones realizadas a partir de DNA genómico de los transformantes y de la cepa silvestre con los cebadores NR-MBD-BAM y NR-MBD-SMA (A) y NiiA-B05-FW y NiiA-B05-RV (B). pNAH.., transformantes Bc-pNAH-XyL; TAIL.., transformantes Bc-pNDN-XyL-Tail. C, *B. cinerea* B05.10.

Estos resultados apuntan a que las cepas transformantes tienen, al menos algunos de sus núcleos, intactos, es decir, en ellos no se ha producido la integración del DNA transformante.

Debido al carácter heterocarionte de todos los transformantes en esta etapa del análisis, con esta PCR no se puede descartar que en algunos de los núcleos, sin embargo, sí se haya producido esa integración. Con el fin de poder detectar esos posibles núcleos transformados, se realizó otra reacción de amplificación, utilizando en este caso un cebador complementario a una región fuera de los fragmentos homólogos a *niaD* o *niiA* presentes en los plásmidos transformantes, NR-FW-check ó NiaA-FW-check respectivamente (Fig. 8). De esta forma, en el caso de los transformantes Bc-pNDN-XyL-Tail, se realizó una PCR con los cebadores NR-FW-check y NOUR-RV-CHECK para analizar la integración dirigida en *niaD* (Fig. 8A), mientras que con los transformantes Bc-pNAH-XyL, se utilizaron los cebadores NiiA-FW-check y XYL-RV-Nco1 (Tabla 1) (Fig. 8B). En el primer caso, se espera amplificar un fragmento de 429 pb, y en el segundo, el fragmento amplificado debería ser de 2257 pb (Fig. 8A y B). Los resultados obtenidos mostraron que en ninguno de transformantes Bc-pNDN-

XyL-Tail se amplificó la banda esperada (Fig. 8C), por lo que no parece que en ninguno de ellos se ha producido la integración dirigida de la construcción silenciadora Hom_XyL en el locus *niaD*. La integración del plásmido se ha tenido que producir al azar en otra región del genoma, ya que los transformantes son resistentes a la nourseotricina, antibiótico utilizado en este caso como marcador selectivo. Sin embargo, el transformante pNAH2.1, uno de los 6 transformantes Bc-pNAH-XyL analizados, sí amplificó el fragmento de 2257 pb esperado (Fig. 8D). Si bien es cierto que la PCR realizada con los cebadores NiiA-FW-check y XYL-RV-Nco1 debe ser mejorada ya que se observaron numerosas bandas inespecíficas, la presencia de este fragmento no se produce en ninguno de los dos controles negativos incluidos en el ensayo.

En todos los casos, se requiere la purificación de cepas homocariontes para poder analizar de forma más precisa cómo se ha producido la integración del DNA transformante y asegurar que la construcción silenciadora no ha sufrido ninguna modificación en el proceso de integración en el genoma. También su aislamiento es necesario para poder caracterizar el fenotipo de los transformantes y poder analizar si el silenciamiento de las 5 xilananas codificadas por el genoma de *B. cinerea* afecta a su patogenicidad.

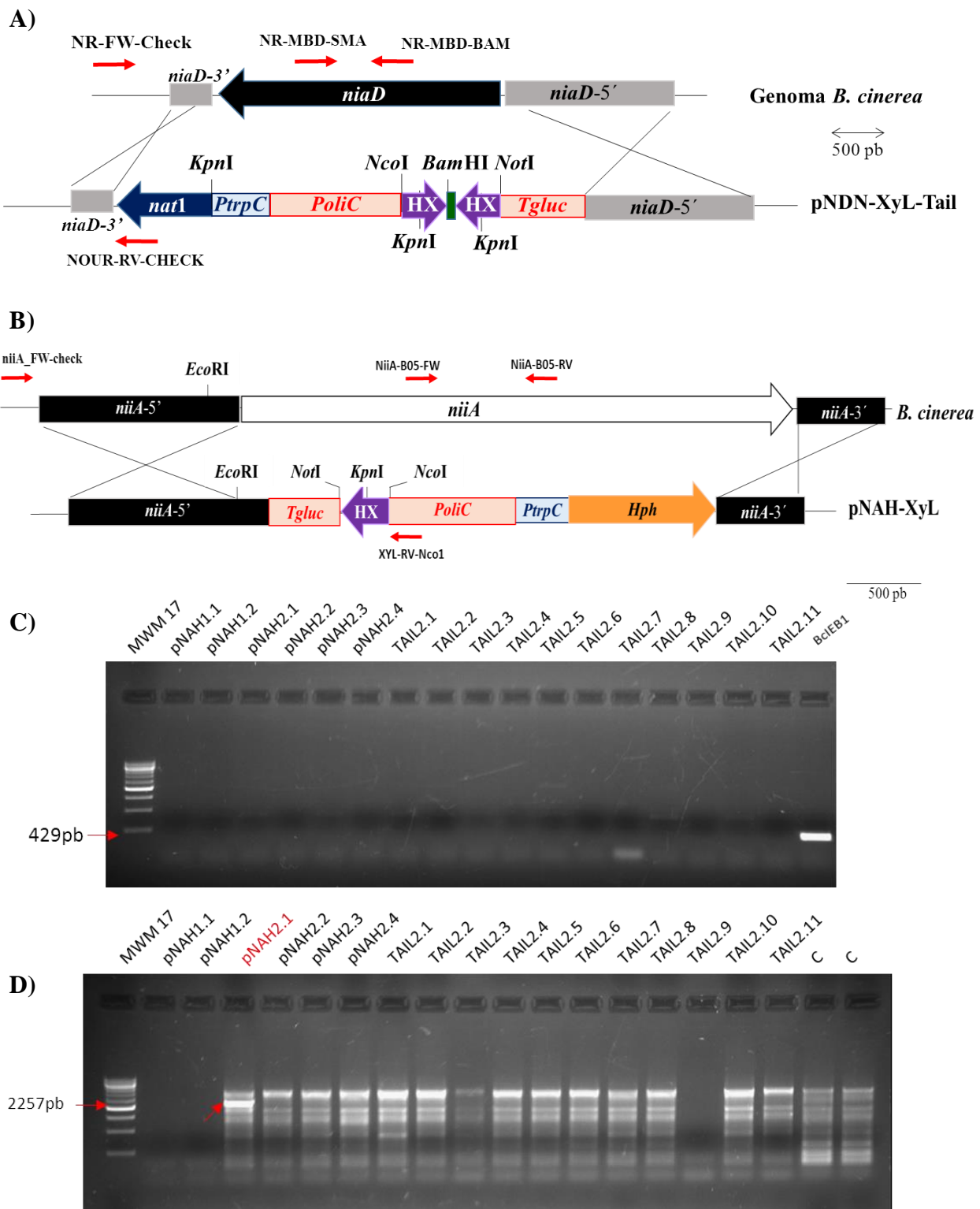


Figura 8. **A)** Esquema de la integración dirigida al locus *niaD* de *B. cinerea* del plásmido transformante pNDN-XyL-Tail. **B)** Esquema de la integración dirigida al locus *niiA* de *B. cinerea* del plásmido transformante pNAH-XyL-Tail. **C)** Electroforesis de las reacciones de amplificación a partir de DNA genómico de las cepas transformantes con los cebadores NR-FW-Check y NOUR-RV-CHECK. **D)** Electroforesis de las reacciones de amplificación a partir de DNA genómico de las cepas transformantes con los cebadores NiiA-FW-check y XYL-RV-Nco1. pNAH.., transformantes Bc-pNAH-XyL; TAIL.., transformantes Bc-pNDN-XyL-Tail. C, *B. cinerea* B05.10. BcIEB1, DNA de un mutante dirigido al locus *niaD*. MW, Marcador de peso molecular XVII. Todas las electroforesis se realizaron en gel de agarosa al 0,7 %.

CONCLUSIONES



1. El genoma de *B. cinerea* B05.10 contiene 5 genes que codifican, presuntamente, endo- β -1,4-xilanases. De ellas, 2 pertenecen a la familia 10 de las Glicosil Hidrolasas y **3** pertenecen a la familia 11.
 2. Se ha diseñado una estrategia para el silenciamiento simultáneo de los 5 genes de endo- β -1,4-xilanases, mediante la expresión en el hongo de una molécula de RNA de doble cadena conteniendo regiones de los 5 genes.
 3. Se han generado las construcciones de DNA recombinante necesarias para el silenciamiento y se han obtenido transformantes de *B. cinerea* que las contienen, cuyo análisis permitirá determinar la eficacia del método así como estudiar el papel de las endo- β -1,4-xilanases en el proceso infectivo.
-
1. The genome of *B. cinerea* B05.10 contains 5 genes that code, putatively, for endo- β -1,4-xylanases. Two of them belong to family 10 of Glycosyl Hydrolases and three belong to family 11.
 2. A strategy was developed to simultaneously silence the 5 endo- β -1,4-xylanase genes, by the expression of a double stranded RNA molecule displaying regions from the 5 genes.
 3. The recombinant DNA constructs necessary for the silencing were generated, and the *B. cinerea* transformants containing them were obtained. Their analysis will allow to determine the efficacy of the methods as well as to study the role of endo- β -1,4-xylanases in the infection process.

REFERENCIAS



- Amselem, J., Cuomo, C.A., van Kan, J.A.L., Viaud, M., Benito, E.P., Couloux, A., Coutinho, P.M., de Vries, R.P., Dyer, P.S., Fillinger, S., Fournier, E., Gout, L., Hahn, M., Kohn, L., Lapalu, N., Plummer, K.M., Pradier, J.M., Quévillon, E., Sharon, A., Simon, A., ten Have, A., Tudzynski, B., Tudzynski, P., Wincker, P., Andrew, M., Anthouard, V.Á., Beever, R.E., Beffa, R., Benoit, I., Bouzid, O., Brault, B., Chen, Z., Choquer, M., Collémare, J., Cotton, P., Danchin, E.G., Da Silva, C., Gautier, A., Giraud, C., Giraud, T., González, C., Grossetete, S., Güldener, U., Henrissat, B., Howlett, B.J., Kodira, C., Kretschmer, M., Lappartient, A., Lerch, M., Levis, C., Mauceli, E., Neuvéglise, C., Oeser, B., Pearson, M., Poulain, J., Poussereau, N., Quesneville, H., Rascl, C., Schumacher, J., Ségurens, B., Sexton, A., Silva, E., Sirven, C., Soanes, D.M., Talbot, N.J., Templeton, M., Yandava, C., Yarden, O., Zeng, Q., Rollins, J.A., Lebrun, M.H. y Dickman, M. 2011. Genomic analysis of the necrotrophic fungal pathogens *Sclerotinia sclerotiorum* and *Botrytis cinerea*. *PLoS Genet* 7:e1002230.
- Bateman, A., Coin, L., Durbin, R., Finn, R.D., Hollich, V., Griffiths-Jones, S., Khanna, A., Marshall, M., Moxon, S., Sonnhammer, E.L., Studholme, D.J., Yeats, C. y Eddy, S.R. 2004. The Pfam protein families database. *Nucleic Acids Research* 32:D138-D141.
- Brito, N., Espino, J.J. y González, C. 2006. The endo- β -1,4-xylanase Xyn11A is required for virulence in *Botrytis cinerea*. *Molecular Plant-Microbe Interactions* 19:25-32.
- Burroughs, A.M., Ando, Y. y Aravind, L. 2014a. New perspectives on the diversification of the RNA interference system: insights from comparative genomics and small RNA sequencing. *Wiley Interdisciplinary Reviews: RNA* 5:141-181.
- Burroughs, A.M., Ando, Y. y Aravind, L. 2014b. New perspectives on the diversification of the RNA interference system: insights from comparative genomics and small RNA sequencing. *Wiley Interdisciplinary Reviews: RNA* 5:141-181.
- Büttner, P., Koch, F., Voigt, K., Quidde, T., Risch, S., Blaich, R., Brückner, B. y Tudzynski, P. 1994. Variations in ploidy among isolates of *Botrytis cinerea*: implications for genetic and molecular analyses. *Current Genetics* 25:445-450.
- Cantarel, B.L., Coutinho, P.M., Rancurel, C., Bernard, T., Lombard, V. y Henrissat, B. 2009. The Carbohydrate-Active EnZymes database (CAZy): an expert resource for Glycogenomics. *Nucleic Acids Research* 37:D233-D238.
- Chang, S.S., Zhang, Z. y Liu, Y. 2012a. RNA interference pathways in fungi: mechanisms and functions. *Annual Review of Microbiology* 66:305-323.
- Chang, S.S., Zhang, Z. y Liu, Y. 2012b. RNA Interference Pathways in Fungi: Mechanisms and Functions. *Annual Review of Microbiology* 66:305-323.
- Collins, T., Gerday, C. y Feller, G. 2005. Xylanases, xylanase families and extremophilic xylanases. *FEMS Microbiology Reviews* 29:3-23.
- Espino, J.J., Brito, N., Noda, J. y González, C. 2005. *Botrytis cinerea* endo- β -1,4-glucanase Cel5A is expressed during infection but is not required for pathogenesis. *Physiological & Molecular Plant Pathology* 66:213-221.
- Espino, J.J., Gutiérrez-Sánchez, G., Brito, N., Shah, P., Orlando, R. y González, C. 2010. The *Botrytis cinerea* early secretome. *Proteomics* 10:3020-3034.
- Hamada, W., Reignault, P., Bompeix, G. y Boccaro, M. 1994. Transformation of *Botrytis cinerea* with the hygromycin B resistance gene, *hph*. *Current Genetics* 26:251-255.
- Jarvis, W.R. 1977. *Botrytinia* and *Botrytis* species: taxonomy, physiology and pathogenicity. Monograph No. 15. Canada Department of Agriculture, Ottawa, Canada
- Kars, I., McCalman, M., Wagemakers, L. y Van Kan, J.A.L. 2005. Functional analysis of *Botrytis cinerea* pectin methylesterase genes by PCR-based targeted mutagenesis: *Bcpme1* and *Bcpme2* are dispensable for virulence of strain B05.10. *Molecular Plant Pathology* 6:641-652.
- Kuck, U. y Hoff, B. 2010. New tools for the genetic manipulation of filamentous fungi. *Applied Microbiology and Biotechnology* 86:51-62.
- Leroux, P. 2004. Chemical control of *Botrytis* and its resistance to chemical fungicides. En: *Botrytis: Biology, Pathology and Control*. Elad, Y., Williamson, B., Tudzynski, P. y Delen, N. (eds.). pag. 195-222. Kluwer Academic Publishers, Dordrecht/Boston/London.
- Melendez, H.G., Billon-Grand, G., Fevre, M. y Mey, G. 2009. Role of the *Botrytis cinerea* FKBP12 ortholog in pathogenic development and in sulfur regulation. *Fungal Genetics and Biology* 46:308-320.
- Nguyen, Q.B., Itoh, K., Van Vu, B., Tosa, Y. y Nakayashiki, H. 2011. Simultaneous silencing of endo- β -1,4 xylanase genes reveals their roles in the virulence of *Magnaporthe oryzae*. *Molecular Microbiology* 81:1008-1019.
- Nguyen, Q.B., Kadotani, N., Kasahara, S., Tosa, Y., Mayama, S. y Nakayashiki, H. 2008. Systematic functional analysis of calcium-signalling proteins in the genome of the rice-blast fungus, *Magnaporthe oryzae*, using a high-throughput RNA-silencing system. *Molecular Microbiology* 68:1348-1365.

- Noda, J., Brito, N., Espino, J.J. y González, C. 2007. Methodological improvements in the expression of foreign genes and in gene replacement in the phytopathogenic fungus *Botrytis cinerea*. *Molecular Plant Pathology* 8:811-816.
- Noda, J., Brito, N. y Gonzalez, C. 2010. The *Botrytis cinerea* xylanase Xyn11A contributes to virulence with its necrotizing activity, not with its catalytic activity. *BMC Plant Biology* 10:38.
- Nunes, C.C. y Dean, R.A. 2012. Host-induced gene silencing: a tool for understanding fungal host interaction and for developing novel disease control strategies. *Molecular Plant Pathology* 13:519-529.
- Petersen, T.N., Brunak, S., von, H.G. y Nielsen, H. 2011. SignalP 4.0: discriminating signal peptides from transmembrane regions. *Nature Methods* 8:785-786.
- Petri, S. y Meister, G. 2013. siRNA design principles and off-target effects. *Methods in Molecular Biology* 986:59-71.
- Prins, T.W., Wagemakers, L., Schouten, A. y Van Kan, J.A.L. 2000. Cloning and characterization of a glutathione S-transferase homologue from the plant pathogenic fungus *Botrytis cinerea*. *Molecular Plant Pathology* 1:169-178.
- Pumplin, N. y Voinnet, O. 2013. RNA silencing suppression by plant pathogens: defence, counter-defence and counter-counter-defence. *Nature Reviews Microbiology* 11:745-760.
- Romano, N. y Macino, G. 1992. Quelling: transient inactivation of gene expression in *Neurospora crassa* by transformation with homologous sequences. *Molecular Microbiology* 6:3343-3353.
- Rosslenbroich, H.J. y Stuebler, D. 2000. *Botrytis cinerea* - history of chemical control and novel fungicides for its management. *Crop Protection* 19:557-561.
- Rui, O. y Hahn, M. 2007. The *Botrytis cinerea* hexokinase, Hxk1, but not the glucokinase, Glk1, is required for normal growth and sugar metabolism, and for pathogenicity on fruits. *Microbiology* 153:2791-2802.
- Sambrook, J. y Russell, D.W. 2001. Molecular Cloning. A laboratory manual. Cold Spring Harbor Laboratory Press, Cold Spring Harbor, New York
- Schumacher, J. 2012. Tools for *Botrytis cinerea*: New expression vectors make the gray mold fungus more accessible to cell biology approaches. *Fungal Genetics and Biology* 49:483-497.
- Schumacher, J. y Tudzynski, P. 2012. Morphogenesis and infection in *Botrytis cinerea*. En: Morphogenesis and pathogenicity in fungi. Pérez-Martín, J. y Di Pietro, A. (eds.). pag. 225-241. Springer, Berlin/Heidelberg.
- Shan, G. 2010. RNA interference as gene knockdown technique. *The International Journal of Biochemistry & Cell Biology* 42:1243-1251.
- Soulie, M.C., Piffeteau, A., Choquer, M., Boccardo, M. y Vidal-Cros, A. 2003. Disruption of *Botrytis cinerea* class I chitin synthase gene Bcchs1 results in cell wall weakening and reduced virulence. *Fungal Genetics and Biology* 40:38-46.
- Staats, M. y van Kan, J.A.L. 2012. Genome update of *Botrytis cinerea* strains B05.10 and T4. *Eukaryotic Cell* 11:1413-1414.
- Tafer, H. 2014. Bioinformatics of siRNA design. *Methods in Molecular Biology* 1097:477-490.
- ten Have, A., Mulder, W., Visser, J. y van Kan, J.A. 1998. The endopolygalacturonase gene *Bcpg1* is required for full virulence of *Botrytis cinerea*. *Molecular Plant-Microbe Interactions* 11:1009-1016.
- Torres del Castillo, R. 2001. Manual del Curso de Manipulador de Productos Fitosanitarios. Nivel Básico.
- Valette-Collet, O., Cimerman, A., Reignault, P., Levis, C. y Boccardo, M. 2003. Disruption of *Botrytis cinerea* pectin methylesterase gene *Bcpme1* reduces virulence on several host plants. *Molecular Plant-Microbe Interactions* 16:360-367.
- van Kan, J.A. 2006. Licensed to kill: the lifestyle of a necrotrophic plant pathogen. *Trends in Plant Science* 11:247-253.
- Van Kan, J.A.L., van't Klooster, J.W., Wagemakers, C.A.M., Dees, D.C.T. y van der Vlugt-Bergmans, C.J.B. 1997. Cutinase A of *Botrytis cinerea* is expressed, but not essential, during penetration of gerbera and tomato. *Molecular Plant-Microbe Interactions* 10:30-38.
- Van, V.B., Itoh, K., Nguyen, Q.B., Tosa, Y. y Nakayashiki, H. 2012. Cellulases belonging to glycoside hydrolase families 6 and 7 contribute to the virulence of *Magnaporthe oryzae*. *Molecular Plant-Microbe Interactions* 25:1135-1141.
- Williamson, B., Tudzynski, B., Tudzynski, P. y Van Kan, J.A.L. 2007. *Botrytis cinerea*: the cause of grey mould disease. *Molecular Plant Pathology* 8:561-580.
- Wilson, R.C. y Doudna, J.A. 2013. Molecular mechanisms of RNA interference. *Annual Review of Biophysics* 42:217-239.
- Wubben, J., ten Have, A., van Kan, J.A. y Visser, J. 2000. Regulation of endopolygalacturonase gene expression in *Botrytis cinerea* by galacturonic acid, ambient pH and carbon catabolite repression. *Current Genetics* 37:152-157.
- http://www.broadinstitute.org/annotation/genome/botrytis_cinerea/; <http://www.ebi.ac.uk/Tools/msa/clustalw2/>;
http://www.ebi.ac.uk/Tools/psa/emboss_stretcher/<http://www.changbioscience.com/stat/sirna.html>
- (Todas las páginas web fueron consultadas en múltiples ocasiones durante el desarrollo del trabajo)

ANEXO I

1. Familia GH-10

1.1. Secuencias de los genes identificados

>BC1G_00576.1 (1594 pb)

ATGTTTCAGCTTGAATCTCGCAACTTGGCTGCCATGCTCAGTCACATAAACCTGGCTCTGGCACAGAGTCAGGTTATGCTCAATGTAAGTTGACTCGGCTCAACAAAAGCACATCATGATTGACCCCTTCAGGTGGCGGCATGGCTGGCTGGTCTACCGCTGTGTATCAGGATACACTTGACACATTCAAAGTAAGTTGAATCTTATAAGAAATTGTGAATGAAGCTAACATAGTTAGCGCATGTATGTTAGCTAAGCTTATAGCAAGATTAGCAGTCACTCATTATTAGATTATTCTCAGTGCCTCCCTGGATCTGCCCTCCCACAGCCACACCAGCTAGTACCCGACGACCTGAAGGAGATAACAAGCCAACCAGCACCAGTCCCGAAGTGGCTTAACGCCAATTGTTCTCATGAAAGAAATATTGGCTTGCCACAGATCAAGGTCTTCTTCATCTGAAATAATGCGCTGTGATGGAGGTATTTGGCTTCTGGCTTCTGGCTATTGAGGTATAGATATTACATAGTTCTGAAGAGTATATGGCTGACTGGTGTAGGAACACAAAATAATTCAACTTCGCTGGTGGCGATTATTGGCTAAATGGCGGGTCAAATTGCGAACTTCACACTCTGTTGTACACCCAATGTTTTTTTTTTTGAAAAATGAGAAACTGACATCAATAGGCTGGACTCTCAACTTCAAGCTGGTAGCTCTATAACCTCTGCAGCAACGCTCACTAGCTCCTCAAATCACATCACTCAAGAGATGACTCGCTGGAAAGGGAAAGATCTATGCATGGGTATGTCATCTGTCTTAACCTGCACATATAATTAAACAATTATAAGGATGTCGTCAATGAAATCTCAACGAAGATGGTCAATGAGATCCAGCGTGTCTACAAAGTCTTGGCAAAAGCTATGTTCTATGCCTCAAAGCTGCTAGAGCAAGCTGACCCAAATGCAAAGCTCTACATCAATGACTACAAGTAATTCTACCCCTTTAAAATTTCATCCAAAGCTAACATTCTGAAGCCTGGATTCTAGCAACCTATCCAAACTTACAAACGGAATGGTGCACACGTCAAAACTGGATCGCTCAAGGAATTCCCATTGATGGAATCGGTTGCAAACCCATCTTCAGCTGGTCAAGGCTGTTGACTGCACTTGCCCTTCTGGTGTCAAGTTGCGCTCACAGAAATTGGATATTGCTGGTGAGGATCTACTGATTATGTCAACGTGAGTTAAATTCTGGGAGTCCTTGGGATGAAGTAATATGTGATTCTAATTACTGAATAGGTCGTCAACGCATGCTGAGCGTAAGCAAATGTGGTATTACTGCTGGGTCTCGTGATAACGACTCATGGCGTGAAGCTCCAGCCCATTGTTGTCATGCGAAGCTACTCTCAAAGCCGCATACAACGCAATCATGGCAGCATTGTAG

>BC1G_01778.1 (1584 pb)

ATGCATATATCAAATCTTATAACTCTGCTATCTGCCTTAGCTTACGGTCAGCTGATACGCTTGCAAGGCTGCTGGCTCAAATACTTGTTCCGCCACAGACAACGGGAACCTACTGACACCCAATACACCGCTATCTGTCAAACAAACAGTCAGTCGGACAAATCACACCTGGAAATACACAAAAATGGCAATACATAGAAACCCACCCAAAACACATTAGCTATACCAAGGGAGATGGTGTGATTTCGCGAGAGAAGAATGATCAAATTCTGAGATGTCATAACTGTGTTGGTATAATCAATTGCGTCATGGTTACTCTGGGACATGGACGAATGAGACTTTAATTGCGGTCTTGAAGAACCCAGTTAGTGGCCTTGTGCAGTTCTCTAGACATTCAAATCTAATCATCGCAGCATTAAAATGAGGTAACCTACTACAAGGGCAAATGCTACGCCCTGGATGTCGTCAATGAGGATTCAACGATGATGGTACCTGGAGATCATTGCGTAAGTCTCATGATCCTGTAACTTTAAACAAAACCCAGTATAGAAACTGATCCATCCAAGTCTATGACACCATTGGTCTGAAATATATCCAATCGCATTGCAAACCGCAGCTCTACGACCCAGATGTCAGCTACTACAACGATTACAACATCGAGTCTCCGGTCAAAGGCAACCGCTACCCCTAACCTCGTTAAGTCTCTCCAAAGCCCGGGTATCAAATCGACGGTGTGGCTCTCCAAGCCCGGGTACCTCGCTCCACCCCAAGCGAATCCGCCCTCGCTACCCCTCAAATCCTCACCGCTCTCAATGTCGAAGTCGCCCTACCCGAACTCGACGGTCCGCTCAGCTCTCCCCCCCCACCACCGCCGGCTCGCCCAAACAGGTGTGCACTACGCTAACACCGCTAACGCCCTGCTCAGCTGTCAGGCTCGTGGTACCCATCTGGGACTTCACAGATGCGTATTGCTGGATCCCATCGACCTCTCGGCCAGCAGGGCACAGTCGCCCGTTACTTCTACTATTGTTCTGCTACATCCACAGCAAAGTAAGTGAATCCAGTGGTTCTACTAGTCCTGCGCCGCCGTTGATCTCTAGTTCTGTTCCGTTCTGCAGTTGACCTTCTGTCTTCAAGTTGCAAGTCTCTGCTCTCTGCGGCTTTCTGCTGCTCTGTTCCCTGCTGCTCTGTTCCCTCATCTCTATCCCCCTCAAGCAGTACACTAAAAAAATGCACAAAGCCCTCTTCCACCACCATCACAAAAACCCACCTACAGCCCGAGCTTCGGGAACTGGGCCCGAGTCGCTCTTACGACAATGTGGCGCGTGAACACTACAAGGGAAGTACCGTGTGCGGCCGGCGCAGACCAGCAGTGCACCGCGCAGAATGTC

>B0510_1817 (1584 pb)

ATGCATATATCAAATCTTATAACTCTGCTATCTGCCTTAGCTTACGGTCAGCTGATACGCTTGCAAGGCTGCTGGCTCAAATACTTGTTCCGCCACAGACAACGGGAACCTACTGACACCCAATACACCGCTATCTGTCAAACAAACAGTCAGTCGGACAAATCACACCTGGAAATACACAAAAATGGCAATACATAGAAACCCACCCAAAACACATTAGCTATACCAAGGGAGATGGTGTGATTTCGCGAGAGAAGAATGATCAAATTCTGAGATGTCATAACTGTGTTGGTATAATCAATTGCGTCATGGTTACTCTGGGACATGGACGAATGAGACTTTAATTGCGGTCTTGAAGAACCCAGTTAGTGGCCTTGTGCAGTTCTCTAGACATTCAAATCTAATCATCGCAGCATTAAAATGAGGTAACCTACTACAAGGGCAAATGCTACGCCCTGGATGTCGTCAATGAGGATTCAACGATGATGGTACCTGGAGATCATTGCGTAAGTCTCATGATCCTGTAACTTTAAACAAAACCCAGTATAGAAACTGATCCATCCAAGTTCTATGACACCATTGGTCTGAAATATATCCAATCGCATTGCAAACCGCAGCTCTACGACCCAGATGTCAGCTACTACAACGATTACAACATCGAGTCTCCGGTGCAAAGGCAACCGCTACCCCTAACCTCGTTAAGTCTCTCCAAAGCCCGGGTATCAAATCGACGGTGTGGCTCTCCAAGCCCGGGTACCTCGCTCCACCCCAAGCGAATCCGCCCTCGCTACCCCTCAAATCCTCACCGCTCTCAATGTC

Anexo I: Secuencias de los genes y xilanosas de las familias GH10 y GH11 de *B. cinerea*

GAAGTCGCCACACCGAACACTGACGTCCGCTTCAGCTCTCCCCCCCACCACCGCCGGCTGCCAACAAAGGTGTGACTACGCTAACACCGTC
AACGCCTGTCAGCGTCACGGCTCGCGTATCACCATCTGGACTTCACAGATCGTATTGCGATCCCCTCGACCTCTGGCCAAGGT
GATGCCTGTCCTGGTACGCTAACTATACCGTTCACCCGCCACAACAACAGTAGTTGCTGCTCGCCGCCAGCAGGGCACAGTCGCCCCGTT
ACTTCTACTATTGTTCTGCTACATCCACAGCGAAAGTAAGTGAATCCAGTGCAGTTCTACTAGTCCATCTGCGCCGCCGTTGATCTAGTT
CTGTTCCGTTCTGCAAGTTGCAACCTCTGCTCTCAGTTGCAAGTTGCCAGTTCTGCTCTCTGCGGCTGTTCTGCTGCTCTG
TTCCTATTCCATCTCTATCCCTAAGCAGTACACTAAAAAAATGCACAAAGACCCTCTTCCACCACCATCACAAAACCACCTACAG
CCGAGCTTCGGAACTGGCGCCGAGTCGCTTTACGGACAATGTGGCGCGTGAACATAAGGGAAAGTACCGTGTGCGGCCGGCGACC
TGCACCGCGCAGAATGATTACTCGCAGTGCATTCCGGCATAG

>BcT4_8157 (1584 pb)

ATGCATATATCAAATCTTATAACTCTTGCTACCTGCCCTTAGCTTACGGTCAGCTGATACGCTTGCAAGGCTGCTGCCCTCAAATACTTGGTT
CCGCCACAGACAACGGGAACCTACTGACACTCAATACACCGCTATCTGTCAAACAAACAGTCAGTTGCCAGAAATCACCCCTGGAAAATACAA
AAATGGCAATACATAGAACCCACCCAAAACACATTCAAGCTATACCAAGGGAGATGTTGTTGATTCGCAAGAGAAGAATGATCAAATTCTGAG
ATGTCATAACTGTGTTGGTATAATCAATTGCCGTATGGTTACTCGGGCACATGGACGAATGAGACTTTAATTGGCTCTGAAGAACCGAGT
AGTAGCCTGTGCAAGTTCTTAGACATTCAAATCTAATCATCGCAGCATTAAAATGAGGTAACCTACTACAAGGGAAATGCTACGCCCTGG
GATGTCGTCAATGAGGCATTCAACGATGATGGTACCTGGAGATCATTGCGTAAGTCTTCATCATGATCCTGTAACCTCAAACAAAACCCAG
TATAGAAACTGATCCATCCAAGTTCTATGACACCATTGGCTCTGAATATATCCAATCGCATTGAAACCGCAGCTCTACGACCCAGATGTCAA
GCTCTACTACAACGATTACAACATCGAGTCTCCGGTCAAAGGCAACCGCTACCCCTCAACCTCGTTAAGTCTCTCCAAGCCCGGGTATCAAAT
CGACGGTGTGGTCTCCAAGCCACTTCATCGCGCTCCACCCCGAGCGAATCCGCCCTGCCACCACCCCTCAAATCCTCACCGCTCTCAATGT
CGAAGTCGCCACACCGAACCTGACGTCCGCTCAGCTCTCCCCCACCACGCCGGCTGCCAACAGGTGTGACTACGCTAACACCGT
CAACGCCCTGTCAGCGTCACGGCTCGTCGGTATCACCCTGGGACTTCACAGATGCGTATTGCGGATCCATCGACCTCTGGCCAAGG
TGATGCCTGTCCTGGTACGCTAACTATACCGTTACCCGCCACAACACGTAGTTGCTCTCGCCGCCAGCAGGCACAGTCGCCCCGT
TACTTCTACTATTGTTCTGCTACATCCACAGCGAAAGTAAGTGAATCCAGTGCAGTTCTACTAGTCCATCTGCGCCGCCGTTGATCTAGT
CCTGTTCCGTTCTGCAAGTTGCAACCTCTGCTCTCAGTTGCAAGTTGCCAGTTCTCTGCTCTCTGCGGCTGTTCTGCTGCTCT
GTTCTATTCCATCTCTATCCCTAAGCAGTACACTAAAAAAATGCACAAAGACCCTCTTCCACCACCATCACAAAACCACCTCTACA
GCCGAGCTTCGGAACTGGCGCCGAGTCGCTTTACGGACAATGTGGCGCGTGAACATAAGGGAAAGTACCGTGTGCGGCCGGCGAC
CTGCACCGCGCAGAATGATTACTCGCAGTGCATTCCGGCATAG

1.2. Alineamientos entre los genes identificados

BC1G_01778.1/B0510_1817/BcT4_8157 (porcentaje de identidad: 100%)

B0510_1817	ATGCATATATCAAATCTTATAACTCTTGCTATCTGCCCTTAGCTTACGGTCAGCTGAT	60
BC1G_01778	ATGCATATATCAAATCTTATAACTCTTGCTATCTGCCCTTAGCTTACGGTCAGCTGAT	60
BcT4_8157	ATGCATATATCAAATCTTATAACTCTTGCTACCTTGCTACCTGCCCTAGCTACGGTCAGCTGAT	60
	*****	*****
B0510_1817	ACGCTTGCCAAGGCTGTCGCCCTCAAATACCTTGGTTCCGCCACAGACAACGGGAACCT	120
BC1G_01778	ACGCTTGCCAAGGCTGTCGCCCTCAAATACCTTGGTTCCGCCACAGACAACGGGAACCT	120
BcT4_8157	ACGCTTGCCAAGGCTGTCGCCCTCAAATACCTTGGTTCCGCCACAGACAACGGGAACCT	120
	*****	*****
B0510_1817	ACTGACACCAATACACCGCTATCTGTCAAACAAACAGTCAGTTGGACAAATCACACCT	180
BC1G_01778	ACTGACACCAATACACCGCTATCTGTCAAACAAACAGTCAGTTGGACAAATCACACCT	180
BcT4_8157	ACTGACACTCAATACACCGCTATCTGTCAAACAAACAGTCAGTTGGACAAATCACACCT	180
	*****	*****
B0510_1817	GGAAATACACAAATGGCAATACATAGAACCCACCCAAAACACATTCAGCTATACCAAG	240
BC1G_01778	GGAAATACACAAATGGCAATACATAGAACCCACCCAAAACACATTCAGCTATACCAAG	240
BcT4_8157	GGAAATACACAAATGGCAATACATAGAACCCACCCAAAACACATTCAGCTATACCAAG	240
	*****	*****
B0510_1817	GGAGATGTTGTTGATTTCGAGAGAAGAATGATCAAATTCTGAGATGTCTGCTGCTG	300
BC1G_01778	GGAGATGTTGTTGATTTCGAGAGAAGAATGATCAAATTCTGAGATGTCTGCTGCTG	300
BcT4_8157	GGAGATGTTGTTGATTTCGAGAGAAGAATGATCAAATTCTGAGATGTCTGCTGCTG	300
	*****	*****

Anexo I: Secuencias de los genes y xilanosas de las familias GH10 y GH11 de *B. cinerea*

B0510_1817	TGTTGGTATAATTGCCGTATGGTTACTCGGGCACATGGACGAATGAGACTTTA	360
BC1G_01778	TGTTGGTATAATTGCCGTATGGTTACTCGGGCACATGGACGAATGAGACTTTA	360
BcT4_8157	TGTTGGTATAATTGCCGTATGGTTACTCGGGCACATGGACGAATGAGACTTTA	360

B0510_1817	ATTGCGGTCTTGAAGAACCAAGTTAGTGGCCTTGTGCAGTTAGACATTCAAATCT	420
BC1G_01778	ATTGCGGTCTTGAAGAACCAAGTTAGTGGCCTTGTGCAGTTAGACATTCAAATCT	420
BcT4_8157	ATTGCGGTCTTGAAGAACCAAGTTAGTGGCCTTGTGCAGTTAGACATTCAAATCT	420

B0510_1817	AATCATATCGCAGCATTAAAATGAGGTAACTTACTACAAGGGCAAATGCTACGCCGG	480
BC1G_01778	AATCATATCGCAGCATTAAAATGAGGTAACTTACTACAAGGGCAAATGCTACGCCGG	480
BcT4_8157	AATCATATCGCAGCATTAAAATGAGGTAACTTACTACAAGGGCAAATGCTACGCCGG	480

B0510_1817	ATGTCGTCAATGAGGCATTCAACGATGATGGTACCTGGAGATCATTGTCGAAGTCTTC	540
BC1G_01778	ATGTCGTCAATGAGGCATTCAACGATGATGGTACCTGGAGATCATTGTCGAAGTCTTC	540
BcT4_8157	ATGTCGTCAATGAGGCATTCAACGATGATGGTACCTGGAGATCATTGTCGAAGTCTTC	540

B0510_1817	ATCATGATCCTTGTAACTTTAAACAAAACCCAGTATAGAAAATGATCCATCCAAGTTC	600
BC1G_01778	ATCATGATCCTTGTAACTTTAAACAAAACCCAGTATAGAAAATGATCCATCCAAGTTC	600
BcT4_8157	ATCATGATCCTTGTAACTTTAAACAAAACCCAGTATAGAAAATGATCCATCCAAGTTC	600

B0510_1817	TATGACACCATTGGTCTGAATATATCCAAATCGCATTGAAACCGCAGCTCTACGAC	660
BC1G_01778	TATGACACCATTGGTCTGAATATATCCAAATCGCATTGAAACCGCAGCTCTACGAC	660
BcT4_8157	TATGACACCATTGGTCTGAATATATCCAAATCGCATTGAAACCGCAGCTCTACGAC	660

B0510_1817	CCAGATGTCAAGCTCTACTACAACGATTACAACATCGAGTCTCCGGTCAAAGGCAACC	720
BC1G_01778	CCAGATGTCAAGCTCTACTACAACGATTACAACATCGAGTCTCCGGTCAAAGGCAACC	720
BcT4_8157	CCAGATGTCAAGCTCTACTACAACGATTACAACATCGAGTCTCCGGTCAAAGGCAACC	720

B0510_1817	GCTACCCTAACCTCGTTAAGTCTCTCCAAGCCCAGCGGTATCAAATCGACGGTGTGGT	780
BC1G_01778	GCTACCCTAACCTCGTTAAGTCTCTCCAAGCCCAGCGGTATCAAATCGACGGTGTGGT	780
BcT4_8157	GCTACCCTAACCTCGTTAAGTCTCTCCAAGCCCAGCGGTATCAAATCGACGGTGTGGT	780

B0510_1817	CTCCAAGCCCACTTCATCGTCGGCTCCACCCCCAGCGAATCCGCCCTCGCTACCACCCTC	840
BC1G_01778	CTCCAAGCCCACTTCATCGTCGGCTCCACCCCCAGCGAATCCGCCCTCGCTACCACCCTC	840
BcT4_8157	CTCCAAGCCCACTTCATCGTCGGCTCCACCCCCAGCGAATCCGCCCTGCCACCACCCTC	840

B0510_1817	AAATCCTTCACCGCTCTCAATGTCGAAGTCGCCTACACCGAACTCGACGTCCGTTTCAGC	900
BC1G_01778	AAATCCTTCACCGCTCTCAATGTCGAAGTCGCCTACACCGAACTCGACGTCCGTTTCAGC	900
BcT4_8157	AAATCCTTCACCGCTCTCAATGTCGAAGTCGCCTACACCGAACTCGACGTCCGTTTCAGC	900

B0510_1817	TCTCTCCCCCCCACCAACGCCGGGCTCGCCCCAACAGGTGTCGACTACGCTAACACCGTC	960
BC1G_01778	TCTCTCCCCCCCACCAACGCCGGGCTCGCCCCAACAGGTGTCGACTACGCTAACACCGTC	960
BcT4_8157	TCTCTCCCCCCCACCAACGCCGGGCTCGCCCCAACAGGTGTCGACTACGCTAACACCGTC	960

B0510_1817	AACGCCTGTCTCAGCGTCAGGGCTCGTCGGTATCACCACGGTCAAAGGATGCG	1020
BC1G_01778	AACGCCTGTCTCAGCGTCAGGGCTCGTCGGTATCACCACGGTCAAAGGATGCG	1020
BcT4_8157	AACGCCTGTCTCAGCGTCAGGGCTCGTCGGTATCACCACGGTCAAAGGATGCG	1020

B0510_1817	TATTCGTGGATCCCATCGACCTCTGGCCAAGGTGATGCCTGTCCTGGTACGCTAAC	1080
BC1G_01778	TATTCGTGGATCCCATCGACCTCTGGCCAAGGTGATGCCTGTCCTGGTACGCTAAC	1080
BcT4_8157	TATTCGTGGATCCCATCGACCTCTGGCCAAGGTGATGCCTGTCCTGGTACGCTAAC	1080

Anexo I: Secuencias de los genes y xilananasas de las familias GH10 y GH11 de *B. cinerea*

B0510_1817	TATACCGTTACCCCCGCCTACAACAACGTAGTTGCTGCTCTGCCGCCGAGCAGGCACA	1140
BC1G_01778		
BcT4_8157		

B0510_1817	GTCGCCCGTACTTCACTATTGTTCTGCTACATCCACAGCAAAGTAAGTGAATCC	1200
BC1G_01778	GTCGCCCGTACTTCACTATTGTTCTGCTACATCCACAGCAAAGTAAGTGAATCC	1200
BcT4_8157	GTCGCCCGTACTTCACTATTGTTCTGCTACATCCACAGCAAAGTAAGTGAATCC	1200

B0510_1817	AGTGCGGTTCTACTAGTCCATCTGCGCCGGCGTTTGATCTCTAGTTCTGTTCCGTT	1260
BC1G_01778	AGTGCGGTTCTACTAGTCCATCTGCGCCGGCGTTTGATCTCTAGTTCTGTTCCGTT	1260
BcT4_8157	AGTGCGGTTCTACTAGTCCATCTGCGCCGGCGTTTGATCTCTAGTCCCTGTTCCGTT	1260

B0510_1817	TCTGCAGTTGACCTCTGCTCTTCAGTTGCAAGTTGCCAGTTCTGTCCTCTCT	1320
BC1G_01778	TCTGCAGTTGACCTCTGCTCTTCAGTTGCAAGTTGCCAGTTCTGTCCTCTCT	1320
BcT4_8157	TCTGCAGTTGACCTCTGCTCTTCAGTTGCAAGTTGCCAGTTCTGTCCTCTCT	1320

B0510_1817	TCTCGGGCTGTTCCCTGCTGTCTGTTCCATTTCCTCATCTCCTATCCCCTCAAGC	1380
BC1G_01778	TCTCGGGCTGTTCCCTGCTGTCTGTTCCATTTCCTCATCTCCTATCCCCTCAAGC	1380
BcT4_8157	TCTCGGGCTGTTCCCTGCTGTCTGTTCCATTTCCTCATCTCCTATCCCCTCAAGC	1380

B0510_1817	AGTACACTAAAAAAATGCACAAAGACCCTCTCTTCCACCAACATCACAAAAACCACCTCT	1440
BC1G_01778	AGTACACTAAAAAAATGCACAAAGACCCTCTCTTCCACCAACATCACAAAAACCACCTCT	1440
BcT4_8157	AGTACACTAAAAAAATGCACAAAGACCCTCTCTTCCACCAACATCACAAAAACCACCTCT	1440

B0510_1817	ACAGCCGCAGCTTCGGGAACCTGGCGCCGCAGTCGCTCTTACGGACAATGTGGCGCGTG	1500
BC1G_01778	ACAGCCGCAGCTTCGGGAACCTGGCGCCGCAGTCGCTCTTACGGACAATGTGGCGCGTG	1500
BcT4_8157	ACAGCCGCAGCTTCGGGAACCTGGCGCCGCAGTCGCTCTTACGGACAATGTGGCGCGTG	1500

B0510_1817	AACTACAAGGGAAGTACCGTGTGTGCGGCCGGCGACCTGCACCGCGCAGAATGATTAT	1560
BC1G_01778	AACTACAAGGGAAGTACCGTGTGTGCGGCCGGCGACCTGCACCGCGCAGAATGATTAT	1560
BcT4_8157	AACTACAAGGGAAGTACCGTGTGTGCGGCCGGCGACCTGCACCGCGCAGAATGATTAT	1560

B0510_1817	TACTCGCAGTGCATTCCGGCATAG	1584
BC1G_01778	TACTCGCAGTGCATTCCGGCATAG	1584
BcT4_8157	TACTCGCAGTGCATTCCGGCATAG	1584

BC1G_00576.1 / BC1G_01778.1 (Porcentaje de identidad 46,8%)

Anexo I: Secuencias de los genes y xilanosas de las familias GH10 y GH11 de B. cinerea

BC1G_00576.1	TAAGAAATTGTGAATGAAGCTAAC-----TAGTTATAG-----CGCATGTA-	261					
BC1G_01778.1	TGAGGAAATAG-GAACAGAGACAGCAGAGGAAACAGCCGCAGAAGAGAGGACAGAAGAAC	281					
	* * * * * * * * * * *	** * * *	*	* * *			
BC1G_00576.1	TGTTAACGTTATAGC-----AAGAT---TTATAG---CAGTCACTCATTTC-	302					
BC1G_01778.1	TGGCAACTTGCACAACGTAAAGAGACAGAAGGTACAACACTGCAGAAACGGAAACAGAACTAG	341					
	*** * * * *	*** * * * *	*	* * *			
BC1G_00576.1	--ATTAGATTATTC-----TCAGTG---CCTCCCTGGATCTGC---CGTTCC	341					
BC1G_01778.1	AGATCAAAACGGCCGGCGCAGATGGACTAGTAGAAACCGCACTGGATTCACTTACTTCG	401					
	*** * * * *	*** * * * * * *	*	* * ***			
BC1G_00576.1	C-----ACAGCCACACCGACAGTAGTTACCCCGACGACCTTGAAGACCGAGATAA	391					
BC1G_01778.1	CTGTGGATGTAGCAGAAACAATAGTAGAAGTAACGGGGCGACTGTGCCTGCGGGCGG	461					
	*	*** * * *	*** * * * *	* * * * *	*	* * *	
BC1G_00576.1	CAAGCCCAACCAGCACCAAGTT-CCGGAAGTGGTCTTAACGCCA-AATTGTTCTCATGG	449					
BC1G_01778.1	CGAGAGCAGCAACTAC--GTTGTTGTAGGCGGGGTGAACGGTATAGTTAGCGTACCAAGAG	519					
	*** * * * * *	*** * * * *	*** * * * *	*** * * * *	*	* * *	
BC1G_00576.1	AAAGAAAT-ATTTGGTCTTGCACAGATCAAGGTCTCTTCATCTGGAAATAATGCGG	508					
BC1G_01778.1	ACAGGCATCACCTGG-----CCAGAG---AAGGTGCA-TGGGATCCACGAATA-CGCAT	569					
	*** * * * * *	*** * * *	*****	*	***	**** *	
BC1G_00576.1	CTGTCATCAAAGCAAACCTTGGACAAGTGACACCAGAAAACAGCA--TGAAG-TGGGAC-	564					
BC1G_01778.1	CTGTGA-----AGTCCCAGATG-GTGTACCG--ACGCAGCCGTCGACGCTGAGACA	618					
	*** * *	*	**	*****	*	*****	*** * * *
BC1G_00576.1	GCTATTGAGGGTAT-AG-ATATTC-ACATAGTTCTGAAGAGTATATGGCTGACTGGTGA	621					
BC1G_01778.1	GGCGTTGACGGTGTAGCGTAGTCGACACCTTGTGGCGAGCCGGCGGTGGTGGGGGG	678					
	*	*****	*** * * *	*** * * *	***	***	*** *
BC1G_00576.1	TAGGAACACAAAATAAT-TCAACTTCGCTGGTGGCGATTATTGGTCAAATGGCG-GG	679					
BC1G_01778.1	GAGAGAGCTGAAGCGGACGTCGAGTTCGGTAGGCAGT--TCGAC--ATTGAGAGCGG	734					
	** *	**	*	*** *	*****	*	*** * * *
BC1G_00576.1	TGAAA-ATTCGCAAATTGTT-CGCGGGCACACACTCTGTTGTACACCAATGTTTTTT	737					
BC1G_01778.1	TGAAGGATTGAGGGTGGTAGCGAGGGCGGATTGCGCTGGGGTGGAGCCGACGAT----	789					
	****	*** *	**	***	*****	*	*** * *
BC1G_00576.1	TTTTTTTTTTTTGAAAAATGAGAACTGACATCAATAGGCTGGCACTCTCAACTTC-	796					
BC1G_01778.1	-----GAAGTGGCTTGGAGACCGACA--CCGTCGATTGATACCG	829					
	***	***	***	***	***	***	*
BC1G_00576.1	CAAGCTGGTTAG-CTCTATAACCTCTGCAGAACGCTCACTAGCGCCTTCAAATCAC	855					
BC1G_01778.1	CGGGCTGGAGAGACTAACGAGGTTGAGGGTAGCGGT-----TGCCTT--GCACCGG	881					
	*	***	**	***	*	***	***
BC1G_00576.1	ATCACTCAA-GAGATGACTCGCTGGAAAGGAAAGATCTATGCATGGTATGTCATCTGT	914					
BC1G_01778.1	AAGACTCGATGTTGAA-TCGTTGTA--GTAGAGCTGACATCTGGT---CGTAGAGA	934					
	*****	*	**	***	***	***	*
BC1G_00576.1	CTTAACCTGCACATATAATTAAACAATTATA-AGGATGTCGTCAATGAAATCTTC-AACG	972					
BC1G_01778.1	GCTCGGGTTTCGAATGCGATTGGGATATATCAGGAC----CAATGGTGTACAGAACT	989					
	*	***	***	***	*	***	*****
BC1G_00576.1	AAGATGGTTCAATGAGATCCAGCGTGTCTACAAAGCTTGGCGAAAGCTATGTTCTA	1032					
BC1G_01778.1	TGGATGGATCAGT-----TTCTATA-----CTGGGGTTTG	1020					
	*****	*** *	*****	*	***	***	*
BC1G_00576.1	TCGCCTCAAAGCTGCTAGAGCAGCTGACCCAATGCAAAGCTCTACATCAA-TGA-CTA	1090					
BC1G_01778.1	T----TTAAAAGTTACAAG-----GATCATGATG--AAGACTTACGACAAATGATCTC	1067					
	*	***	***	***	*	***	***

Anexo I: Secuencias de los genes y xilanosas de las familias GH10 y GH11 de *B. cinerea*

BC1G_00576.1	CAAGTAATTCTACCCTTTAAA-----ATT--TTACATCCAAAGC-TAACATTCCTG 1141
BC1G_01778.1	CAGGTA---CCATCATCGTTGAATGCCTCATTGACGACATCCCAGGCGTAGCATTGCC- 1123 *** *** * * * * *** *** ***** * * * * ***** *
BC1G_00576.1	AAGCCTGGATTCAAGAACCT-ATCCAAAC-TTACAAACGGAATGGTTGCACACGTCAA 1199
BC1G_01778.1	---CTTGTAGTAAGTTACCTCATTAAATGCTGCGATATGATTAGATTGAATGTCTAA 1180 * * * * * *** *** ** * * * * * * * * *** ***
BC1G_00576.1	ACTTGGATCGCTCAAGGAATTCCCATTGATGGAATC---GGTCGCAAACCCATCTTC 1255
BC1G_01778.1	GAA-GAACTGCACAAGG----CCACTAACTGGTTCTCAAGACCGCAA-TAAAGTC 1233 * * * * * *** *** * * * * * * * * * *** *
BC1G_00576.1	AGCTGGTCAGGGAGCTGCTCAAAGGCTGCTTGACTGCACTTGCCGTTCTGGTGTCA 1315
BC1G_01778.1	ATTCGTCCATG---TGCC-CGAAGTAACCATGACGGCAATTGATTATAACCAACACAAG 1288 * * * * * *** * * * * * * * * * * *** * *
BC1G_00576.1	TGAAGTTGCCGTACAGAATTGGAT-ATTGCTGG-TGCAGGATCTACTGATTATGTCAAC 1373
BC1G_01778.1	TTA---TGACATCTCAGAATTGATCATTCTCTCGCAAATCACAC-ACAAACATCTCC 1344 *
BC1G_00576.1	GTGAGTTA---AAT---TCCTGGGAGTCCCTTGGATGA-AGTAATATGTGATTCT 1425
BC1G_01778.1	CTTGGTATAGCTGAATGTGTTGGTGGTTCTATGTATTGCCATTGGTGTATTCC 1404 * * * * * *** *
BC1G_00576.1	AATTACTGAATAGTCG--TCAACGCATGCTTGAGCGTA-AGCAAATGTGTGG-TATTA 1481
BC1G_01778.1	AGGTG-TGATTGTCCGAACTGACTGTTGACAAGATAGCGG-TGTATTGGGTGTCA 1462 *
BC1G_00576.1	CT--GTCTGGGTC-TCCGTGATAACGACTCATGGCGTCAAGCTC--CAGCCCATTGTT 1536
BC1G_01778.1	GTAAGTTGCCGTTGTCGTGGCG--GAACCAAAGTATTGAGGCCAGCAGCC--TTGGC 1518 *
BC1G_00576.1	GTTCGATGCGAACT-ACTCT---CCAAAGCCGCATAACGCAATCATGGCA---GCA 1588
BC1G_01778.1	AAGCGTATCAAGCTGACCGTAAGCTAAAGGAAGATAGCAAG-AGTTATAAGATTGATA 1577 *
BC1G_00576.1	T-TGTAG 1594
BC1G_01778.1	TATGCAT 1584 * * * *

1.3. Análisis de los genes BC1G_00576.1 y BC1G_01778.1, proteínas que codifican y diseño de siRNAs

En las secuencias de los genes, se señalan en minúsculas los posibles intrones y en rojo y subrayado la región elegida para formar parte de la construcción silenciadora.

En las secuencias de las proteínas se señala la secuencia señal en rojo.

>BC1G_00576.1

```
ATGTTTCAGCTTGAATCTCGAACCTTGGCTGCCATGCTCAGTCACATAAACCTGGCTCTGGCACAGAGTCAGGTTATGCTCA
ATgtaagttgactcgctcaacaaaggcacatcatgattgacccttcaggtggcgcaatggctggctggctaccagctgttatcaggatacattgcacatattcaaagttgaatcttataagaatt
tgtgaatgaagctaacatgttatagcgcatgttatgtaagttatagcaagattatagcagtactcattttag ATTATTCTCAGTGCCTCCCTGGATCTGCCGTTCCCACAG
CCACACCGACAGTAGTTACCCGACGACCTTGAAGACCGAGATAACAAAGCCCAACCAGCACCAGTCCGGAAGTGGTCTTAACG
CCAAATTGTTCTCATGGAAAGAAATATTTGGTCTGCCACAGATCAAGGTCTTCTCATGGAAATAATGCGGCTGTCA
CAAAGCAAACCTTGGACAAGTACACCAAGAAACAGCATGAAGTGGGACGCTATTGAGGtatacatattcagttctgaagtgatattggctga
```

Anexo I: Secuencias de los genes y xilanosas de las familias GH10 y GH11 de *B. cinerea*

ctggatgatGAAACACAAAATAAATTCAACTTCGCTGGTGGCGATTATTTGGTCAAATGGCGGGtgaaaattcgcaaatttcgcggcacacactcttttgcacaccataatgttggatggaaactgacatcaatagGCTGGCACTCTCAACTTCAAGCTGGTTAGCTCTATAACCTCTGCAGCAACGCTCACTAGCGCCTCAAAATCACATCACTCAAGAGATGACTCGCTGGAAGGGAAAGATCTATGCATGGgtatgtcatcttgcacaataattaacaattataagGATGTCGTCAATGAAATCTCAACGAAGATGGTCAATGAGATCCAGCGTGTCTACAAAGTCCTGGCGAAAGCTATGTTCTATGCCTCAAAGCTGAGCAGCTGACCCAAATGCAAAGCTCTACATCAATGACTACAAGTAATTCTACCCTTTTAAAATTTACATCCAAGCTAACATTCCCTGAAGCCTGGATTCAAGCACCATAACCCAAACTACAAACGGAATGGTGCACA CGTCAAAACTGGATCGCTCAAGGAATTCCCATTGATGGAATCGGTTGCAAACCCATCTTCAGCTGGTCAGGGAGCTGCTTC AAGGCTGCTTGACTGCACTGCCGTTCTGGTGTCACTGAAGTTGCCGTACAGAATTGGATATTGCTGGTGCAGGATCTACTGATTATGTCAACgtgaggtaattccctgggatcccttgggatagaataatgtgattctaattactgaataGGTCGTCAACGCATGCTTGAGCGTAAGCAAATGTGTTGGTATTACTGTCTGGGTCTCCGTATAACGACTCATGGCGTCAAGCTCCAGCCCATTGTTGTCATGCGAACTACTCTCCAAAGCCGCATACAACGCAATCATGGCAGCATTGTAG

siRNA_3: 5'-CGGGCTGTCAAGCAAACCTTGGACAAGTGACACCAGAAAACAGCAT-3' (505-554 del gen)

BC1G_00576.1 (proteína 354 aa)

MFSALNLATLAAMLSHINLALAQSQGYAQYYSQCLPGSAVPTATPTVTPTLKTEITSPTSTSSGGLNAKFVSHGKKYFGLATDQGL LSSGNNAAVIKANFGQVTPENSMKWDIAEGTNQKFNFAGGDYLWKWAGWHSQLPSWVSSITSAAATLTSVLQNHTQEMTRWKGKIY AWDVVNEIFNEDGSMRSSVFYKVLGESYVSIAFKAAARAADPNAKLYINDYNLDSATYPKLTNGMVAHVKTWIAQGIPIDGIGSQTHLS AGQGAASKAALTALAASGVSEAVTELDIAGAGSTDYNVVNACLSVKCVGITVWGLRDNDSWRASSSPLFDANYSPKPAYNAIM AAL*

>BC1G_01778.1 (1584 pb)

ATGCATATATCAAATCTTAACTCTTGTATCTGCCTTAGCTTACGGTCAGCTGATACGCTTGCAAGGCTGCTGGCTCAAATACTTGGTCCGCCACAGACAACGGCGAACCTACTGACACCCAATACACCGCTATCTGTCAAACAAACAGTCAGTTGGACAAATCACACCTGGAAATACACAA AAATGGCAATACATAGAACCCACCCAAAACACATTCACTACCAAGGGAGATGTTGTTGATTCCGAGAGAAGAATGATCAAATTCTGAG ATGTCATAACTGTGTTGGTATAATCAATTGCCGTATGGTTACTTCGGGACATGGACGAATGAGACTTTAATTGGGTCTTGAAGAACCAgttag ggccctgtcgagttcttagacattcaatctatcgacATTAAAATGAGGTAACCTACTACAAGGGCAAATGCTACGCCCTGGATGCGTCAATGAGGCATTCAACGATGATGGTACCTGGAGATCATTGCTGtaagtctcatcatgatecttgtaactttaaacaaaaccccgatgaaactgatccatccaagTTCTATGACACCATTGGCCTGAATAT ATCCCAATCGCATTGAAACCGCAGCTCTACGACCCAGATGTCAAGCTCTACTACAACGATTACAACATCGAGTCTCCGGTCAAAGGCAAC CGCTACCCCTAACCTCGTTAAGTCTCTCCAAGCCCGGGTACCAACGTTGAGGAACTTCATCGTCAAGCTGGTCTCCGGTCAAAGGCAAC ACGGTGTGGTCTCCAAGCCCACTCATCGTGGCTCCACCC
CAGCGAATCCGCCCTCGCTACCACCCCTAAATCCTCACCGCTCTCAATGTCGAAGTCGCCACCGAACCTCGACGCCGTTCAAGGCAAGTCAAGCTCTCCGGTATCACCATCTGGACTTCACAGATGCGTATTGCGATCCCACGCTCTCTGGCCAAGGTGATGCCTGTCTGGTACGCTAACATACCGTTACCCCGC
CTACAACAACGTAGTTGCTGCTCGCCGCCAGCAGGGCACAGTCGCCCCGTTACTTCTACTATTGTTCTGTCATACATCCACAGCGAAAGTAAG TGAATCCAGTGCAGTTCTACTAGTCATCTGCCGGCGCTTGTACTCTAGTTCTGTTCCGTTCTGAGTTGACCTCTGTCTCTCAGTT TGCAAGTTGCCAGTTCTCTGCTCTCTGCGGCTGTTCTCTGCTGCTCTGTTCTATTCCCTCATCTCCATCCCTAACGAGTACACTAA AAAATGCACAAAGACCCCTCTTCCACCAACATCACAAAAACACCTCTACAGCCGAGCTCGGGAACTGGCGCCGAGTCGCTCTTACCGGA CAATGTGGCGCGGTGAACATACAAGGGAGTACCGTGTGCGGCCGGCGACCTGCACCGCGAGAATGATTACTCGCAGTGCATTCCGGC ATAGT

siRNA_1: 5'-ACGGTGTGGTCTCCAAGCCCACTCATCGTCGGCTCCACCCCGAGCGAA-3' (770-819 del gen)

siRNA_2: 5'-GGTGAATGCCTGTCTGGTACGCTAACATACCGTTACCCCGCTACAA-3' (1054 – 1103 del gen)

BC1G_01778.1 (proteína 488 aa)

MHISNLITLAILPLAYGQLDTLAKAAGLKYFGSATDNELDTQYTAILSNNSQFGQITPGNTQKWQYIEPTQNTFSYTKGDVVVDFAE KNDQILRCHNLCWYNQLPSWVTSGWTNETLIAVLKNHIKNEVYKKGKCYAWDVVNEAFNDDGTWRSFVFYDTIGPEYIPIAFETA

ALYDPDVKLYYNDYNISSGAKATATLNLVKSLQARGIKIDGVGLQAHFIVGSTPSESALATTLSFTALNVEVAYTELDVRFSSLPPPT
AGLAQQGVDYANTVNACLSVDGCVGITIWDFTDAYSWIPSTFGSQGDACLWYANYTVHPAYNNVVAALAAAAGTVAPVTSTIVSAT
STAKVSESSAVSTSPSAPAVLISSSVSVAVPSVSSVQVASSSVLSSAAVSSAVSVPISSSPIPSSSTLKCTKTLSSTTITKTTSTAASG
TGAVALYQCGGVNYKGSTVCAAGATCTAQNDYYSQCIPA

1.4. Alineamiento de las proteínas codificadas por BC1G_00576.1 y BC1G_01778.1

Identidad: 152/539 (28.2%). Similitud: 194/539 (36.0%)

BC1G_00576.1	MFSALNLATLAAMLSHINLALAQSQGYAQYYSQCLPGSAVPTATPTVVTPTTLKTEITSP	60
BC1G_01778.1	-MHISNLITLAILP---LAYGQ-----	18
	: * * * : * . *	
BC1G_00576.1	TSTSSGSGLNAKFVSHGKKYFGLATDQGLLSSGNNAAVIKAN--FGQVTPENS MKWDAIE	118
BC1G_01778.1	-----LDTLAKAAGLKYFGSATDNGELTDQYTailsNNNSQFGQITPGNTQKWQYIE	70
	* :: : * * * * : * * : : * : * : * * : * * : * : * : * :	
BC1G_00576.1	G T Q N K F N F A G G D Y L V K W A G -----W H S Q L P S W V S -I T S A A I L T S V L Q N H I T Q	165
BC1G_01778.1	P T Q N T F S Y T K G D V V V D F A E K N D Q I L R C H N L C W Y N Q L P S W V T S G T W T N E T L I A V L K N H I K N	130
	* * *. * : * * : * . * : * : * . * : * : * * : * * : * * : * :	
BC1G_00576.1	E M T R W K G K I Y A W D V V N E I F N E D G S M R S S V F Y K V L G E S Y V S I A F K A A R A A D P N A K L Y I N D Y	225
BC1G_01778.1	E V T Y Y K G K C Y A W D V V N E A F N D D G T W R S F V F Y D T I G P E Y I P I A F E T A A L Y D P D V K L Y Y N D Y	190
	* * : * * * * * * * : * * : * * * . : * . * : * * : * * : * * * * :	
BC1G_00576.1	N L D S A T Y P K L T N G M V A H V K T W I A Q G I P I D G I G S Q T H L S A G Q G A A S K A A L T A L A A S G V S --	283
BC1G_01778.1	N I E S S --G A K A T A T L N L V K S L Q A R G I K I D G V G L Q A H F I V G S T P S E S A L A T T L K S F T A L N V	248
	* : * : . . : * * : * : * * : * * : . * . . . * * : * : .	
BC1G_00576.1	E V A V T E L D I -----A G A G S T --D Y V N V V N A C L S V S K C V G I T V W G L R D N D S W R A S S S	332
BC1G_01778.1	E V A Y T E L D V R F S S L P P T T A G L A Q Q G V D Y A N T V N A C L S V D G C V G I T I W D F T D A Y S W I P S T F	308
	* * * * * : * * . * . * * * * . * * * * : * . * * . * :	
BC1G_00576.1	P -----L L F D A N Y S P K P A Y N A I M A L -----	353
BC1G_01778.1	S G Q G D A C L W Y A N Y T V H P A Y N N V V A A L A A A A G T V A P V T S T I V S A T S T A K V S E S S A V S T S P S	368
	. * : * * : * * * * : * * *	
BC1G_00576.1	-----	
BC1G_01778.1	A P A V L I S S S V S V A V V P S V S V V Q V A S S V L S S A A V S S A V S V P I S S S P I P S S T L K K C T K	428

BC1G_00576.1	-----	
BC1G_01778.1	T L S S T T I T K T T S T A A A S G T G A A V A L Y Q Q C G G V N Y K G S T V C A A G A T C T A Q N D Y Y S Q C I P A	487

2. Familia GH-11

2.1. Secuencias de los genes identificados

>BC1G_13645.1 (738 pb)

ATGATTACCTTCAGCTCTCGTCACATTCTCGCAATTCTACCTCGCTGCCATTCCGGTTCCATTCTCCAAAGCGGAGCCAATGAATT
TTGTTCTCCAACGCAACGAAAGCTCTTGTGTCGTCAACTCCAAATTACGAACAAGATTACGACTGGTGAGATGTAATCTACACACCCT
CCGGCAGCTCTTCACTGTAGATTGGTCAACCGAGGATGATTTGTCGTTGGCTTGGCTGGACAACCTGGATCTACTAAGTGAGTCATTCTCACA
CTCACTAATGAAAAGATTATGAAACTGATAATACTAACATACAGTCCATAAACTCAGCGGCACCTTCGGCATCGGATCCGGCACC
GCCCTCTCCATCTACGGTTGGTCCGAAAATCCACTCGTAGAATACTACATCGTCAAGACAGCGCATCTCCCCCAGTTCGGAACCGTCAA
GGCAGCGTCACAAGCGACGGGTCAAGCTATACCATTGGAAAATCAACGTGTGAATGAACCTTCATTGTAGGAACCGCGACTTTAACAGTA

CATCTCGTGCATCTCCCCCGGAAAGTGGGACAGTGACGGTAGAGAACATTTCAGGCTGGCCGCTGGGATGAATTGGAACGC
TTAATTACCAGGTTTGGCGGTGGAGGGTGGGTAGGGCTGCTACGAGCGTTAGTTAG

>BC1G_03590.1 (1170 pb)

ATGGTATCATACAAAGCTTCTCATTACTCTGCTGTCACGAGAGTCTAACATATCCAGCCAACCAAGTTGAGCTCGTCGATCGAAGTG
GGACACCTAGCTACTGGAACCGAGTGGTTATCCATTCCCCGAGTAGTTCTTATGTCACCTCCTGATTAGGTGGATACTACTATT
CTTCTGGACAGATGGAGGTGCAGATGTTACTTACAAATGGTCTGGTGGCGAGTACAAACTCAATGGCAGGAAATGGCAATCTGTTGGT
GAAAGGGCTGGAATCTGGAAAGTCTAAGTTGTTAAAAGTTCTGATCTTATCATGACTAACAGATTATTGATCTGCTAACATCTATCTAA
TTACCTGTAGGGCTGTTACCTATAGTCACGTCAGTCAAATGGCAACAGCTATTTCTCTATGGCTGGACAACATCACCTTATTGAATA
CTATGTTGTCAGAACCTCGGTACATATGATCCAAGCAGTGGAGCTACCTTGAAAGGTACCGTGGTAGTGACGGAGCAACTTGAAGTC
CTGTCACCTCTATATTCTCCAAAATTTACAGTATTGCCACCTTGACTTGCAGGACAATTGAGCTCATACCTAACCTACCCAGCGACTGATG
GAATAATTCCAGATAAGATCTACCAACCCAACCGTCAATCAACCATCTATGGTACTGCTACCTTATCAATATTGGTCTGTCACAG
ACAAAGCGAACTGGTGGTACCGTAACGACCGGAAATCATTAAATGCTGGAAAGCACTAGGAATGAACATGGTACATTGATTACATGATA
CGCAACAGAAGGTTACTTCTAGTGGATCATCTGATATAACTGTTGAAAGTTCAACGGAGGTGGTAGTGGAAGTCTACCTCGGCTCCC
TACTTCTCTACAACATCACCAGTGGCACCGTAAGTTATGGAATTCTAGATTGTCATAGAAAAATTACTGATTCAAGACGTAATT
AGTGCGGTGCCTATACAGCCAATGTGGTGGAACTGGATTACGGTTCTCAATGCTGTCATCCGGACTTGAAGTATGCAAATTCTACTATT
CTCAATGCTGTGA

>B0510_640 (750 pb)

ATGGTTCTGCATCTCCCTCCCTCGCTGCATCAGCTATCGCAGGTGCTTCTCCGCCAGCCGCGCACCGTCAGCGAGAACATTGAATGTCT
TGCAAGAAAGAGCGTTACTTCTCGCTACCGGTACTAGTGGTGGTTACTACTACTCCTCTGGACCGATGGAAGCGTGGTGTACATACTCCA
ACGGAGCCAATGGTCAATATGCCGTAAAGCTGGACCGGTAAACAGGGTAACCTCGTGGTGGAAAAGGATGGCTGTTGGTCCAGCGGTAAGTT
TTTTTTCTCCCTCGTCATACATGAAAAGACATCAAACATCAATTCTCCGCAAAGCTCCATCTCACCCGATCCTACAAACCCAACGAA
ACTCCTACCTCTCCGTCTATGGTGGACTACCTCCCCCTATCGAATACTACATCGTCAAGAGACTTGGCACCTACGATCCCTCCGCC
CGAAATCGGCAGTGTACCTCGACGGTCCACATACAAGATCTCGAGACCACCGTACAACCAACCTCCGTTCAAGGAACGTCTACCTTC
AGCAATACTGGTCCGTCGTACTAGCAAGCGTACGAGCGTACCGTACCCACTGCAAACCAATTGAGCTGGAAAGAAGTTGGATTGACTTT
GGCTCAACTACAACATACCAAAATTGCTGTTGAGGGTACCAAAGCAGTGGTCCGCTTCCATCACTGTTCTAA

>B0510_3175 (1170 pb)

ATGGTATCATACAAAGCTTCTCATTACTCTGCTGTCACGAGAGTCTAACATATCCAGCCAACCAAGTTGAGCTCGTCGATCGAAGTG
GGACACCTAGCTACTGGAACCGAGTGGTTATCCATTCCCCGAGTAGTTCTTATGTCACCTCCTGATTAGGTGGATACTACTATT
CTTCTGGACAGATGGAGGTGCAGATGTTACTTACAAATGGTCTGGTGGCGAGTACAAACTCAATGGCAGGAAATGGCAATCTGTTGGT
GAAAGGGCTGGAATCTGGAAAGTCTAAGTTGTTAAAAGTTCTGATCTTATCATGACTAACAGATTATTGATCTGCTAACATCTATCTAA
TTACCTGTAGGGCTGTTACCTATAGTCACGTCAGTCAAATGGCAACAGCTATTTCTCTATGGCTGGACAACATCACCTTATTGAATA
CTATGTTGTCAGAACCTCGGTACATATGATCCAAGCAGTGGAGCTACCTTGAAAGGTACCGTGGTAGTGACGGAGCAACTTGAAGTC
CTGTCACCTCTATATTCTCCAAAATTTACAGTATTGCCACCTTGACTTGCAGGACAATTGAGCTCATACCTAACCTACCCAGCGACTGATG
GAATAATTCCAGATAAGATCTACCAACCCAACCGTCAATCAACCATCTATGGTACTGCTACCTTATCAATATTGGTCTGTCACAG
ACAAAGCGAACTGGTGGTACCGTAACGACCGGAAATCATTAAATGCTGGAAAGCACTAGGAATGAACATGGTACATTGATTACATGATA
CGCAACAGAAGGTTACTTCTAGTGGATCATCTGATATAACTGTTGAAAGTTCAACGGAGGTGGTAGTGGAAGTCTACCTCGGCTCCC
TACTTCTCTACAACATCACCAGTGGCACCGTAAGTTATGGAATTCTAGATTGTCATAGAAAAATTACTGATTCAAGACGTAATT
AGTGCGGTGCCTATACAGCCAATGTGGTGGAACTGGATTACGGTTCTCAATGCTGTCATCCGGACTTGAAGTATGCAAATTCTACTATT
CTCAATGCTGTGA

>B0510_2491 (738 pb)

ATGATTACCTTCCAGCTTCTCGTCACATTCTCGGCAATTCTACCTCGCTGCCATTCCGGTTCCATTCTCCAAAGCGGAGCCAATGAATT
TTGTTCTCCAACGCAACGAAAGCTCTTGTGTCGTGCAACTCCAAATTACGAACAAGATTACGACTGGTAGGAGATGAACTACACACCAT
CCGGCAGCTTCACTGTAGATTGGTCAACCGAGGATGATTGTCGTTGGCTGGCTGGACAACCTGGATCTAAAGTGAGTCATTCTCACA
CTCACTAATGAAAGATTGAAATGAAAAGTGTAAACTAACATACAGCTTACAAACTCAGCGGCACCTTCGGCATCGGATCCGGCACC
GCCCTCTCCATACGGTTGGCGAAAATCCACTCGTAGAACACTACATCGTCAAGACAGCGCATCTCCCCCAGTTGGAAACCGTCAA
GGCAGCGTACAAGCGACGGTCAAGCTACCACTGGAAAATCAACGTGTGAATGAACCTTCAATTGAGGAACCGGACTTTAACAGTA
CATCTCGTGCATCTCCCCCGGAAAAGTGGGACAGTGACGGTAGAGAACATTTCAAGGCTGGCCGCTGGGATGAATTGGAACGC
TTAATTACCAGGTTTGGCGGTGGAGGGTGGGTAGGGCTGCTACGAGCGTTAGTTAG

>BcT4_797 (750 pb)

Anexo I: Secuencias de los genes y xilanosas de las familias GH10 y GH11 de *B. cinerea*

ATGGTTCTGCATCTCCCTCCTCGCATCAGCTATCGCAGGTGCTTCTCCGCCAGCCGGCACCGTCAGCGAGAACTGAATGTCTTGCAAGAAAGAGCGTTGACTTCTCCGCTACCGGTACTAGTGGTGGTTACTACTACTCCTCTGGACCGATGGAAGCGGTGGTACATACTCCAACGGAGCCAATGGCAATATGCCGTAAGCTGGACCGTAACAAGGGTAACCTCGCGTGGAAAAGGATGGCTGTTGGTCCGAGCGGTAAGTTTTTTCCCTCCCTCGTCATACATGAAAAGACATCAAACATAATTCTCCCGCAAAGCTCCATCTCTACACCGGATCCTACAAACCCAACGGAAACCTCTACCTCCGCTACAGCCTGGAAGAAGTTGGGATTGACTTGGGCTCAACCTACAACCAATTGGTGTGTTGAGGGTACCAAAGCAGTGGTCCGTTCCACTGTTCTAA

>BcT4_9475 (1170 pb)

ATGGTATCATACAAAGCTTCTCATTACTCTGCTGTCACGAGAGTCTAACATATCCAGCCAACCTCAAGTTGAGCTCGTCATCGAAGTG GGACACCTAGCTACTGGAACCAAGTGGTTGATCCATTCCCCGAGTAGTTTCTTATGACCTCCCTGATTAGGTGGATACTACTATTCCTCTGGACAGATGGAGGTGCAGATGTTACTTACAAATGGTGTGGCGAGTACAAACCTCAATGGCAGGAATGGCAATCTGTTGGT GAAAGGGCTGGAATCTGGAAGTGCTAAGTTGGTTAAAAGTTCTCTGATCTTATCATGACTAAGATTATGCACTGCTAACATCTATCTAA TTACCTGTAGGGCTGTTACCTATAGTGGCACGTACAGTCCAAATGGCAACAGCTATCTTCTCTATGGCTGGACAACATCACCTTATTGAATACTATGTTGTCGAGAACTTCGGTACATATGATCCAAGCACTGGAGCTACCTGAAAGGTACCGTGGTAGTGACGGAGCAACTTGTAAGTCAAACCTCTGTCACCTCTATATTCTCCAAAATTTCAGTATTGCCACCTTGACTTGCAGGACAATTGCACTCTACACTAACCTACCCAGCGACTGATG GAATAATTCCAGATAAGATCTACCAACCCAACCGCTCAATCAACCACATCTATTGGTACTGCTACCTTTATCAATATTGGTCTGTCGACAGACAAAGCGAACTGGTGGTACCGTAACGACCGGAAATCATTAAATGCTGGAAAGCACTAGGAATGAACATGGGTACATTGATTACATGATAGT CGCAACAGAAGGTTACTTCTAGTGGATCATCTGATATAACTGTTGGAAGTTCAACGGAGGTGGTAGTGGAAGTCTACCTCGGCTCCAC TACTTCTCTACAACATCACCAGTGGCACCGTAAGTTATGTTTATTGGAATTCTAGATTGTCATAGAAAAAAATTACTGATTCAAGACGTAATT AGTGCAGGTGCTCTACAGCCAATGTGGTGGAACTGGATTACGGTTCTCAATGCTGTCATCCGGACTTGCAAGTATGCAAATTCTTACTATTCTCAATGTTGTGA

>BcT4_5561 (738 pb)

ATGATTACCTTCCAGTCTCTCGCACATTCTCGCAATTCTACCTCGCTGCCATTCCGGGTTCCATTCTCCAAAGCGGAGCCAATGAATT TTGTTCTCAAACGCAACGAAAGCTCTTGTGTCGCAACTCCAAATTACGAACAAGATTACGACTGGTAGATGTAATCTACACACCATCCGGCAGCTTTCACTGTAGATTGGCAACCGAGGATGATTGTCGTTGGCTGGCTGGACAACCTGGATCTACTAAGTGAGTCATTCTCACA CTCACTAATGAAAAGATTGAAATGAAAAGTCTGATAACTTAAACATACAGCTCTAAACTCAGCGGCACCTTCGGCATCGGATCCGGCACC GCCCTCTCTCCATCTACGGTTGGTCCAAAATCCACTCGTAGAAACTACATCGCAAGACAGCGCATCTCCCCAGTTGGAAACCGTCAAAGCAGCGTCACAAGCGACGGTCAAGCTATAACCATTGGAAAATCAACGTGTGAATGAACCTTCCATTGAGGAACCGGACTTTAACCAAGTACATCTCGGTGCGATCTTCCCCCGGAAAAGTGGGACAGTGACGGTAGAGAATCATTTTACGGTTCTCAATGCTGTCATCCGGACTTGCAAGTATGCAAATTCTTACTATTCTAATTACCAAGGTTTGGCGTGGAGGGTGGGTGAGGGGCTGCTACGAGACGGTAGTTAG

2.2. Alineamientos entre los genes identificados

BC1G_13645.1/ B0510_2491/BCT4_5561 (porcentaje de identidad: 100%)

BC1G_13645	ATGATTACCTTCCAGTCTCTCGCACATTCTCGCAATTCTACCTCGCTGCCATT	60
B0510_2491	ATGATTACCTTCCAGTCTCTCGCACATTCTCGCAATTCTACCTCGCTGCCATT	60
BcT4_5561	ATGATTACCTTCCAGTCTCTCGCACATTCTCGCAATTCTACCTCGCTGCCATT	60

BC1G_13645	CCGGGTTCCATTCTCCAAAGCGGAGCCAATGAATTGTTCTCAACGCAACGAAAGC	120
B0510_2491	CCGGGTTCCATTCTCCAAAGCGGAGCCAATGAATTGTTCTCAACGCAACGAAAGC	120
BcT4_5561	CCGGGTTCCATTCTCCAAAGCGGAGCCAATGAATTGTTCTCAACGCAACGAAAGC	120

BC1G_13645	TCTCTTGTGCGTGCACACTCCAAATTACGAACAAGATTACGACTGGTAGATGTA	180
B0510_2491	TCTCTTGTGCGTGCACACTCCAAATTACGAACAAGATTACGACTGGTAGATGTA	180
BcT4_5561	TCTCTTGTGCGTGCACACTCCAAATTACGAACAAGATTACGACTGGTAGATGTA	180

BC1G_13645	ATCTACACACCATCCGGCAGCTTTCACTGTAGATTGGCAACCGAGGATGTTGTC	240
B0510_2491	ATCTACACACCATCCGGCAGCTTTCACTGTAGATTGGCAACCGAGGATGTTGTC	240
BcT4_5561	ATCTACACACCATCCGGCAGCTTTCACTGTAGATTGGCAACCGAGGATGTTGTC	240

Anexo I: Secuencias de los genes y xilanosas de las familias GH10 y GH11 de *B. cinerea*

BC1G_13645 GTTGGTCTGGCTGGACAACGGATCTACTAAGTGAGTCATTCCCTCACACTCACTAATGA 300
B0510_2491 GTTGGTCTGGCTGGACAACGGATCTACTAAGTGAGTCATTCCCTCACACTCACTAATGA 300
BcT4_5561 GTTGGTCTGGCTGGACAACGGATCTACTAAGTGAGTCATTCCCTCACACTCACTAATGA 300

BC1G_13645 AAAGATTCATGAAATGAAAACGTGATAATACTAACATACAGTCCTATAAACTTCAGCGGC 360
B0510_2491 AAAGATTCATGAAATGAAAACGTGATAATACTAACATACAGTCCTATAAACTTCAGCGGC 360
BcT4_5561 AAAGATTCATGAAATGAAAACGTGATAATACTAACATACAGTCCTATAAACTTCAGCGGC 360

BC1G_13645 ACTTCGGCATCGGATCCGGCACCGCCCTCCTCCATCTACGGTTGGTCCGAAAATCCA 420
B0510_2491 ACTTCGGCATCGGATCCGGCACCGCCCTCCTCCATCTACGGTTGGTCCGAAAATCCA 420
BcT4_5561 ACTTCGGCATCGGATCCGGCACCGCCCTCCTCCATCTACGGTTGGTCCGAAAATCCA 420

BC1G_13645 CTCGTAGAATACTACATCGTCGAAGACAGCGCATCTCCCCCAGTTCGGAACCGTCAA 480
B0510_2491 CTCGTAGAATACTACATCGTCGAAGACAGCGCATCTCCCCCAGTTCGGAACCGTCAA 480
BcT4_5561 CTCGTAGAATACTACATCGTCGAAGACAGCGCATCTCCCCCAGTTCGGAACCGTCAA 480

BC1G_13645 GGCAGCGTCACAAGCGACGGGTCAAGCTATACCATTGGGAAAATCAACGTGTGAATGAA 540
B0510_2491 GGCAGCGTCACAAGCGACGGGTCAAGCTATACCATTGGGAAAATCAACGTGTGAATGAA 540
BcT4_5561 GGCAGCGTCACAAGCGACGGGTCAAGCTATACCATTGGGAAAATCAACGTGTGAATGAA 540

BC1G_13645 CCTTCCATTGTAGGAACCGCGACTTTAACCAAGTACATCTCGGTGCGATCTTCCCCGCG 600
B0510_2491 CCTTCCATTGTAGGAACCGCGACTTTAACCAAGTACATCTCGGTGCGATCTTCCCCGCG 600
BcT4_5561 CCTTCCATTGTAGGAACCGCGACTTTAACCAAGTACATCTCGGTGCGATCTTCCCCGCG 600

BC1G_13645 AAAAGTGGGACAGTGACGGTAGAGAACATTTCAGGCTGGGCCCGCTGGGGATGAAT 660
B0510_2491 AAAAGTGGGACAGTGACGGTAGAGAACATTTCAGGCTGGGCCCGCTGGGGATGAAT 660
BcT4_5561 AAAAGTGGGACAGTGACGGTAGAGAACATTTCAGGCTGGGCCCGCTGGGGATGAAT 660

BC1G_13645 TTGGGAACGCTTAATTACCAAGGTTTGGCGGTGGAGGGGTGGGTGGTGAGGGGCTGCT 720
B0510_2491 TTGGGAACGCTTAATTACCAAGGTTTGGCGGTGGAGGGGTGGGTGGTGAGGGGCTGCT 720
BcT4_5561 TTGGGAACGCTTAATTACCAAGGTTTGGCGGTGGAGGGGTGGGTGGTGAGGGGCTGCT 720

BC1G_13645 ACGCAGACGGTTAGTTAG 738
B0510_2491 ACGCAGACGGTTAGTTAG 738
BcT4_5561 ACGCAGACGGTTAGTTAG 738

BC1G_03590.1/ B0510_3175/BcT4_9475 (porcentaje de identidad: 100%)

B0510_3175 ATGGTATCATAAAAGCTTTCTCATTACTCTGCTGCTGTCACGAGAGTCTAACATAT 60
BcT4_9475 ATGGTATCATAAAAGCTTTCTCATTACTCTGCTGCTGTCACGAGAGTCTAACATAT 60
BC1G_03590 ATGGTATCATAAAAGCTTTCTCATTACTCTGCTGCTGTCACGAGAGTCTAACATAT 60

B0510_3175 CCAGCCAACCTCAAGTTGAGCTCGATCGAAGTGGGACACCTAGCTACTGGAACC 120
BcT4_9475 CCAGCCAACCTCAAGTTGAGCTCGATCGAAGTGGGACACCTAGCTACTGGAACC 120
BC1G_03590 CCAGCCAACCTCAAGTTGAGCTCGATCGAAGTGGGACACCTAGCTACTGGAACC 120

B0510_3175 AGTGGTTGTATCCATATTCCCCCGAGTAGTTCTTATGTTGACCTCCTGATTAGGT 180
BcT4_9475 AGTGGTTGTATCCATATTCCCCCGAGTAGTTCTTATGTTGACCTCCTGATTAGGT 180

Anexo I: Secuencias de los genes y xilanosas de las familias GH10 y GH11 de *B. cinerea*

BC1G_03590	AGTGGTTGTATCCATATTCCCCCGAGTAGTTCTTATGTTGACCTCCTGATTAGGT	180
	*****	*****
B0510_3175	GGATACTACTATTCCCTCTGGACAGATGGAGGTGCAGATGTTACTTATACAAATGGTGCT	240
BcT4_9475	GGATACTACTATTCCCTCTGGACAGATGGAGGTGCAGATGTTACTTATACAAATGGTGCT	240
BC1G_03590	GGATACTACTATTCCCTCTGGACAGATGGAGGTGCAGATGTTACTTATACAAATGGTGCT	240
	*****	*****
B0510_3175	GGTGGCGAGTACAAACTCAATGGTCAGGAAATGGCAATCTGTTGGTGGAAAGGGCTGG	300
BcT4_9475	GGTGGCGAGTACAAACTCAATGGTCAGGAAATGGCAATCTGTTGGTGGAAAGGGCTGG	300
BC1G_03590	GGTGGCGAGTACAAACTCAATGGTCAGGAAATGGCAATCTGTTGGTGGAAAGGGCTGG	300
	*****	*****
B0510_3175	AATCCTGGAAGTGCTAAGTTGGTTAAAAGTTCTCTGATCTTCTATCATGACTAACGATT	360
BcT4_9475	AATCCTGGAAGTGCTAAGTTGGTTAAAAGTTCTCTGATCTTCTATCATGACTAACGATT	360
BC1G_03590	AATCCTGGAAGTGCTAAGTTGGTTAAAAGTTCTCTGATCTTCTATCATGACTAACGATT	360
	*****	*****
B0510_3175	ATTGCATCTGCTAACATCTATCTTAATTACCTGTAGGGCTGTTACCTATAGTGGCACGTA	420
BcT4_9475	ATTGCATCTGCTAACATCTATCTTAATTACCTGTAGGGCTGTTACCTATAGTGGCACGTA	420
BC1G_03590	ATTGCATCTGCTAACATCTATCTTAATTACCTGTAGGGCTGTTACCTATAGTGGCACGTA	420
	*****	*****
B0510_3175	CAGTCCAATGGCAACAGCTATCTTCTCTATGGCTGGACAACATCACCTTTATTGA	480
BcT4_9475	CAGTCCAATGGCAACAGCTATCTTCTCTATGGCTGGACAACATCACCTTTATTGA	480
BC1G_03590	CAGTCCAATGGCAACAGCTATCTTCTCTATGGCTGGACAACATCACCTTTATTGA	480
	*****	*****
B0510_3175	ATACTATGTTGTCGAGAACCTCGGTACATATGATCCAAGCACTGGAGCTACCTTGAAAGG	540
BcT4_9475	ATACTATGTTGTCGAGAACCTCGGTACATATGATCCAAGCACTGGAGCTACCTTGAAAGG	540
BC1G_03590	ATACTATGTTGTCGAGAACCTCGGTACATATGATCCAAGCACTGGAGCTACCTTGAAAGG	540
	*****	*****
B0510_3175	TACCGTGGTTAGTGACGGAGCAACTGTAAGTCAAACCTCTGTCACCTCTATATTCTCCC	600
BcT4_9475	TACCGTGGTTAGTGACGGAGCAACTGTAAGTCAAACCTCTGTCACCTCTATATTCTCCC	600
BC1G_03590	TACCGTGGTTAGTGACGGAGCAACTGTAAGTCAAACCTCTGTCACCTCTATATTCTCCC	600
	*****	*****
B0510_3175	AAAATTTACAGTATTGCCACCTTGACTGCGAAGGACAATTGCAGTCTCATACCTAAC	660
BcT4_9475	AAAATTTACAGTATTGCCACCTTGACTGCGAAGGACAATTGCAGTCTCATACCTAAC	660
BC1G_03590	AAAATTTACAGTATTGCCACCTTGACTGCGAAGGACAATTGCAGTCTCATACCTAAC	660
	*****	*****
B0510_3175	TACCCAGCGACTGATGGAATAATTCCAGATAAGATCTACCAAACCCAACGCGTCAATCA	720
BcT4_9475	TACCCAGCGACTGATGGAATAATTCCAGATAAGATCTACCAAACCCAACGCGTCAATCA	720
BC1G_03590	TACCCAGCGACTGATGGAATAATTCCAGATAAGATCTACCAAACCCAACGCGTCAATCA	720
	*****	*****
B0510_3175	ACCATCTATCATTGGTACTGCTACCTTTATCAATATTGGTCTGTTGACAGACAAAGCG	780
BcT4_9475	ACCATCTATCATTGGTACTGCTACCTTTATCAATATTGGTCTGTTGACAGACAAAGCG	780
BC1G_03590	ACCATCTATCATTGGTACTGCTACCTTTATCAATATTGGTCTGTTGACAGACAAAGCG	780
	*****	*****
B0510_3175	AACTGGTGGTACCGTAACGACCGGAAATCATTAAATGCTTGGAAAGCACTAGGAATGAA	840
BcT4_9475	AACTGGTGGTACCGTAACGACCGGAAATCATTAAATGCTTGGAAAGCACTAGGAATGAA	840
BC1G_03590	AACTGGTGGTACCGTAACGACCGGAAATCATTAAATGCTTGGAAAGCACTAGGAATGAA	840
	*****	*****
B0510_3175	CATGGGTACATTGATTACATGATAGTCGAAACAGAAGGTTACTTCTCTAGTGGATCATC	900
BcT4_9475	CATGGGTACATTGATTACATGATAGTCGAAACAGAAGGTTACTTCTCTAGTGGATCATC	900
BC1G_03590	CATGGGTACATTGATTACATGATAGTCGAAACAGAAGGTTACTTCTCTAGTGGATCATC	900
	*****	*****
B0510_3175	TGATATAACTGTTGGAAGTTCAACGGGAGGTGGTGTAGTGGAAAGTCCTACCTCGGCTCC	960
BcT4_9475	TGATATAACTGTTGGAAGTTCAACGGGAGGTGGTGTAGTGGAAAGTCCTACCTCGGCTCC	960

Anexo I: Secuencias de los genes y xilanosas de las familias GH10 y GH11 de *B. cinerea*

BC1G_03590	TGATATAACTGTTGGAAGTTCAACGGGAGGTGGTGATAGTGGAAAGTCCTACCTCGGCTCC 960 *****
B0510_3175	CACTACTTCTCCTACAACATCACCAAGGTGGCACCGTAAGTTATGTTTATTGGAATTTC 1020
BcT4_9475	CACTACTTCTCCTACAACATCACCAAGGTGGCACCGTAAGTTATGTTTATTGGAATTTC 1020
BC1G_03590	CACTACTTCTCCTACAACATCACCAAGGTGGCACCGTAAGTTATGTTTATTGGAATTTC 1020 *****
B0510_3175	TAGATTGTCATAGAAAAATTACTGATTCAAGACGTAATTAGTGCGGTGCTTACAGC 1080
BcT4_9475	TAGATTGTCATAGAAAAATTACTGATTCAAGACGTAATTAGTGCGGTGCTTACAGC 1080
BC1G_03590	TAGATTGTCATAGAAAAATTACTGATTCAAGACGTAATTAGTGCGGTGCTTACAGC 1080 *****
B0510_3175	CAATGTGGTGGAACTGGATTACGGTTCTCAATGCTGTGCATCCGGACTTGCAAGTAT 1140
BcT4_9475	CAATGTGGTGGAACTGGATTACGGTTCTCAATGCTGTGCATCCGGACTTGCAAGTAT 1140
BC1G_03590	CAATGTGGTGGAACTGGATTACGGTTCTCAATGCTGTGCATCCGGACTTGCAAGTAT 1140 *****
B0510_3175	GCAAATTCTTACTATTCTCAATGCTGTGA 1170
BcT4_9475	GCAAATTCTTACTATTCTCAATGCTGTGA 1170
BC1G_03590	GCAAATTCTTACTATTCTCAATGCTGTGA 1170 *****

B0510_640/BCT4_797 (porcentaje de identidad: 99,7%)

BcT4_797	ATGGTTCTGCATCTCCCTCCTCGCTGCATCAGCTATCGCAGGTGTCTTCTCCGCG 60 *****
B0510_640	ATGGTTCTGCATCTCCCTCCTCGCTGCATCAGCTATCGCAGGTGTCTTCTCCGCG 60 *****
BcT4_797	CCAGCCGCGGCCACCGTCAGCGAGAACTTGAATGTCTTGAAGAAAGAGCGTTGACTTCT 120
B0510_640	CCAGCCGCGGCCACCGTCAGCGAGAACTTGAATGTCTTGAAGAAAGAGCGTTGACTTCT 120 *****
BcT4_797	TCCGCTACCGGTACTAGTGGTGGTTACTACTACTCCTCTGGACCAGATGGAAGCGGTGGT 180
B0510_640	TCCGCTACCGGTACTAGTGGTGGTTACTACTACTCCTCTGGACCAGATGGAAGCGGTGGT 180 *****
BcT4_797	GTTACATACTCCAACGGAGCCAATGGTCAATATGCCGTAAGCTGGACCAGGTAAACAAGGGT 240
B0510_640	GTTACATACTCCAACGGAGCCAATGGTCAATATGCCGTAAGCTGGACCAGGTAAACAAGGGT 240 *****
BcT4_797	AACTTCGTCGGTGGAAAAGGATGGCTGTTGGTCCGAGCGGTAAG-TTTTTTTTCCTT 299
B0510_640	AACTTCGTCGGTGGAAAAGGATGGCTGTTGGTCCGAGCGGTAAGTTTTTTTCCTT 300 *****
BcT4_797	CCCTCGTCATACATGAAAAGACATCAAACATAATTCTCCCGCAAAGCTCCATCTCTAC 359
B0510_640	CCCTCGTCATACATGAAAAGACATCAAACATAATTCTCCCGCAAAGCTCCATCTCTAC 360 *****
BcT4_797	ACCGGATCCTACAAACCCAACGGAAACTCCTACCTCTCCGTCTATGGTGGACTACCTCC 419
B0510_640	ACCGGATCCTACAAACCCAACGGAAACTCCTACCTCTCCGTCTATGGTGGACTACCTCC 420 *****
BcT4_797	CCCCTCATCGAATACTACATCGTCGAAGACTTGGCACCTACGATCCCTCCTCGCCGCC 479
B0510_640	CCCCTCATCGAATACTACATCGTCGAAGACTTGGCACCTACGATCCCTCCTCGCCGCC 480 *****
BcT4_797	ACCGAAATCGGAGTGTACCTCCGACGGTCCACATACAAGATCCTCGAGACCAACCGT 539
B0510_640	ACCGAAATCGGAGTGTACCTCCGACGGTCCACATACAAGATCCTCGAGACCAACCGT 540 *****
BcT4_797	ACAAACCAACCTCCGTTCAAGGAACGTGCTACCTCAAGCAATACTGGTCCGTCCGTACT 599
B0510_640	ACAAACCAACCTCCGTTCAAGGAACGTGCTACCTCAAGCAATACTGGTCCGTCCGTACT 600 *****

BcT4_797 B0510_640	AGCAAGCGTACGAGCGGTACCGTCACCACTGCAAACCATTTCAGCCTGGAAAGAAGTTG AGCAAGCGTACGAGCGGTACCGTCACCACTGCAAACCATTTCAGCCTGGAAAGAAGTTG *****	659 660
BcT4_797 B0510_640	GGATTGACTTTGGGCTCAACCTACAACCTACCAAATTGTTGCTGTTGAGGGTTACCAAAGC GGATTGACTTTGGGCTCAACTACAACCTACCAAATTGTTGCTGTTGAGGGTTACCAAAGC *****	719 720
BcT4_797 B0510_640	AGTGGTTCCGCTTCCATCACTGTTCTTAA 749 AGTGGTTCCGCTTCCATCACTGTTCTTAA 750 *****	

BC1G_13645.1/BC1G_03590.1 (Porcentaje de identidad: 39.5%)

BC1G_13645.1 BC1G_03590.1 -----ATGATTACCTTTC-CAGTCTCGTCACATTCTCGCAATTCTACCTCG 51
ATGGTATCATAAAAGCTTCTCATTACTCTTGCTGCTGTCACGAGAGCTTAACATAT 60
...: ***** * . *** * .*: ***:***. *. * * :***.*.

BC1G_13645.1 BC1G_03590.1 CTCGCCATTCCGGGTTCCATTCTC----CCAAAGCGG-----AGCCC-AATGAATT 98
CCAGGCCACTCAAGTTTGAGCTCGATCGAAGTGGGACACCTAGCTCTACTGGAACC 120
* .*****: * .*** .: *** * .*** ** *** * * .***.*:

BC1G_13645.1 BC1G_03590.1 TGT-----TCTCCAACGCAACGAAAGCTCTTGTTCGTCGTCGAACTCCAAATTACCG- 151
AGTGGTTTGATCCATATTCCCCCGAGTAGTTTCTTTATGTTGACCTTCCTGATTAGGT 180
:*** * .*****: . .* ..** : * *** ** .* *** . .***: .***:***.*

BC1G_13645.1 BC1G_03590.1 --AACAAAGATTATACGACTG-----GTGGAGATGTAATCTACACACCAC- CC 195
GGATACTACTATTCCTCTGGACAGATGGAGGTGCAGATGTTACTTATACAAATGGTGCT 240
* :....*::.* :*** *** * .*****: * ** *** ..: *.

BC1G_13645.1 BC1G_03590.1 GGCAGCTTTCACTGTAGATTGGTCAACCGAGGATGATTTGTCGTTGGCTTGGCTGG 255
GGTGGCAGTACAAACTTCAATGGTCAGGAAATGCAATCTGTTGGTGGAAAGGGCTGG 300
** .** . * :***: . * :*****. . * . .** *** * ***: .: ***:***

BC1G_13645.1 BC1G_03590.1 ACAACTGGATCTACTAAGTGAG--TCATTCCACACTCACTAATGAAAAGATTGAA 313
AATCCTGGAAGTGTCAAGTTGGTTAAAGTTCTCTGATCTTATCATGACTAAGATT 360
* .:*****: * .***** .* . * :***: .:***: .:***: .:***: .:***: .:***

BC1G_13645.1 BC1G_03590.1 ATGAAAATGATAATACCTAACATACAGTCCTATA-----AACTCAGCGGCACTTT 365
ATTGCATCTGCTAACATCTATCTTAATTACCTGTAGGGCTGTTACCTATAGTGGCACGTA 420
** ..:***.*** * . * :***: .:***.** * .***: * ** *** * ***: *.

BC1G_13645.1 BC1G_03590.1 CGGCATCGGATCGGCACCGCCCTCTCCATCTACGGTGGTCCGAAAATCCACTCGT 425
CAG-TCC-AAATGGCAACAGCTATCTTCTCTATGGCTGGACAACATCACCTCTTAT 477
. * ** * :. ***. * : * ** . * .*** * ***: * . * : ***: .:***: .*

BC1G_13645.1 BC1G_03590.1 AGAAATACTACATCGTCAAGACAGCG---CATCTCCCCCAGTTTCGGA---ACCGTCAA 479
TGAATACTATGTGTCGAGAACCTCGGTACATATGATCCAAGCAGTGGAGCTACCTTGAA 537
:*****. * . * .: ***: . * . * . * . * : *** *** * ***: *.

BC1G_13645.1 BC1G_03590.1 AGGCAGCGTCACAAGCGACGG-----GTCAAGCTAT----- 510
AGGTACCGTGGTTAGTGACGGAGCAACTTGTAAGTCAAACCTCTGTCACCTCTATATTCT 597
*** * *** . .: ***: ***: .: ***: .: ***: .: ***: .: ***: .: ***:

BC1G_13645.1 BC1G_03590.1 -----ACCATT----- 516
CCCAAAATTACAGTATTGCCACCTTGTGACTTGCGAAGGACAATTGCAAGTCTACACCT 657
:

BC1G_13645.1 BC1G_03590.1 -----TGGGAAAT-----CAACGTGTGAA 536
AACTACCCAGCGACTGATGGAATAATTCCAGATAAGATCTACCAAAACCCAAACGCGTCAA 717
. * : ***: *** * ***: ***

BC1G_13645.1 BC1G_03590.1 TGAAACCTTCCATTGTAGGAACCGCGACTTTAACCAAGTACATCTCGGTGCGATCTTCCC 596
TCAACCATCTATCATTGGTACTGTCACCTTTATCAATATTGGTCTGTTGACAGACAAA 777
* .*****: . * :***: . * :***: . * . * . * : ***: .: ***: .: ***:

BC1G_13645.1 BC1G_03590.1 GCGGAAAAGTGGGACAGTGACGGTAGAGAATCATTTCAGGCTGGGCCGCGTGGGGAT 656

Anexo I: Secuencias de los genes y xilananasas de las familias GH10 y GH11 de *B. cinerea*

BC1G_03590.1	GCGAACTGGTGGTACCGTAACGACCAGGAATCATTAACTGCTGGAAAGCACTAGGAAT	837
	.**.** *.*.***** . * . ***** * . * . * . * . *	
BC1G_13645.1	GAATTGGGAACGCTTAATTACCAAGGTTGGCGGTGGAGGG-----	698
BC1G_03590.1	GAACATGGGTACATTGATTACATGATACTCGAACAGAAAGGTTACTTCTCTAGTGGATC	897
	*** :*****:*** . * .*****:.*.: * **.. . * . **	
BC1G_13645.1	-----GTGGGGTGGTGAGGGGG-----CTGCTACG--	723
BC1G_03590.1	ATCTGATATAACTGTTGGAAGTTCAACGGGAGGTGGTATAGTGGAAAGTCCTACCTCGGC	957
	* * .***** * . * * . * . * : ***	
BC1G_13645.1	-----CAG-----ACGGTTAGTTAG-----	738
BC1G_03590.1	TCCCCTACTTCCTACAAACATCACCAAGGTGGCACCGTAAGTTATGTTTTATTGGAAT	1017
	*** * * .*****	
BC1G_13645.1	-----	
BC1G_03590.1	TTCTAGATTGTCATAGAAAAATTACTGATTCAAGACGTAAATTAGTGCAGGCTCTATAAC	1077
BC1G_13645.1	-----	
BC1G_03590.1	AGCCAATGTGGTGGAACTGGATTACGGTTCTCAATGCTGTGCATCCGGACTTGCAAG	1137
BC1G_13645.1	-----	
BC1G_03590.1	TATGCAAATTCTACTATTCTCAATGCTGTGA	1170

BC1G 13645.1/BcT4 797 (Porcentaje de identidad: 54%)

Anexo I: Secuencias de los genes y xilananasas de las familias GH10 y GH11 de *B. cinerea*

BC1G 03590.1/ BcT4 797 (Porcentaje de identidad: 42,3%)

Anexo I: Secuencias de los genes y xilanosas de las familias GH10 y GH11 de *B. cinerea*

BcT4_797	-----CATAACAAGATCCTCGAGACCACCCGTACAA 543 *** * ***** : * *.*....** ..*
BC1G_03590.1 BcT4_797	ATCAACCATCTATCATTGGTACTGCTACCTTTATCAATATTGGCTGTCGACAGACAA 776 ACCAACCTCCGTTCAAGGAACGTACCTCAAGCAATACTGGTCCGTCGTACTAGCA 603 * *****:*** .* .:***:*****:***** : * ***** ***** ** ***:... * .*
BC1G_03590.1 BcT4_797	AGCGAACTGGTGGTACCGTAACGACCGGAATCATTTAATGCTGGAAAGCACTAGGAA 836 AGCGTACGAGCGGTACCGTACCCACTGCAAACCATTTGCAGCCTGGAAGAAGTTGGGAT 663 ****:*** .* *****:*** .** * *** ***** .:*** ***** . . . * .***:
BC1G_03590.1 BcT4_797	TGAACATGGGTACATTGATTACATGATAGTCGAACAGAAGGTACTTCTCTAGTGGAT 896 TGACTTTGGG----- 673 *** . :****
BC1G_03590.1 BcT4_797	CATCTGATATAACTGTTGGAAGTTCAACGGGAGGTGGTATAGTGGAAAGTCCTACCTCGG 956 -----
BC1G_03590.1 BcT4_797	CTCCCACACTTCTCCTACAACATCACCAAGGTGGCACCGTAAGTTATGTTTATTGGAA 1016 -----CTCAACCTACAAC----- 687 ** .:*****:
BC1G_03590.1 BcT4_797	TTTCTAGATTGTCATAGAAAAATTACTGATCAAGACGTAATTAGTGCCTGCTCTATA 1076 -----
BC1G_03590.1 BcT4_797	CAGCCAATGTGGTGGAACTGGATTACGGTTCTCAATGCTGTCATCCGGGACTTGCAA 1136 --ACCAAATTGTTG---CTG---TTGAGGGTTACCAAAGCAGTGGTCCG---CTTCCAT 736 .****: * * *** *** . .***** . ***:***:*** :*** *** *** ***:
BC1G_03590.1 BcT4_797	GTATGCAAATTCTACTATTCTCAATGCTTGTGA 1170 ---CACTGTTCTTAA----- 749 . * :..*****.

2.3. Análisis de los genes BC1G_13645.1, BC1G_03590.1 y BcT4_797, proteínas que codifican y diseño de siRNAs

En las secuencias de los genes, se señalan en minúsculas los posibles intrones y en rojo y subrayado la región elegida para formar parte de la construcción silenciadora.

En las secuencias de las proteínas se señala la secuencia señal en rojo.

>BC1G_13645.1(738 pb)

ATGATTACCTTCCAGTCTCTCGTCACATTCTCGCAATTCTACCTCGCTGCCATTCCGGTTCCATTCTCCAAAGCGGAGC
CCAATGAATTGTTCTCCAACGCAACGAAAGCTCTCTTGTGTCGTGCAACTCAAATTACGAACAAGATTATACGACTGGTG
GAGATGTAATCTACACACCATCCGGCAGCTCTTCACTGTAGATTGGTCAACCGAGGATGATTGTCGTTGGCTTGGCTGGAC
AACTGGATCTACTAAgtgagtccactcaactcaaatgaaaagattcatgaaatgaaaactgataacttaacatacagTCCTATAAACTTCAGCGGCACCTTCGGCA
TCGGATCCGGCACCGCCCTCTCCATCTACGGTGGTCCAAAATCCACTCGTAGAATACTACATCGTCGAAGACAGCGCATIC
TCCCCCCCAGTTCGGAACCGTCAAAGGCAGCGTCACAAGCGACGGGTCAAGCTATACCATTGGAAAATCAACGTGTGAATGA
ACCTTCCATTGTAGGAAACCGCGACTTTAACCAAGTACATCTCGGTGCGATCTCCCCCGCGAAAAGTGGGACAGTGACGGTA
GAGAATCATTTCAGGCTGGGCCGCTGGGGATGAATTGGAACGCTTAATTACCAAGGTTTGGCGGTGGAGGGGTGGGGT
GGTGGAGGGGGCTGCTACGCAGACGGTTAGTTAG

siRNA_4: 5'- AACCGCGACTTTAACCAAGTACATCTCGGTGCGATCTCCCCCGCGAAAA (555 al 604 del gen)

BC1G_13645.1 (proteína 223 aa)

MITFSSLVTFSIASTS LAIPGSILPKRSPMNFVLQRNESSLVRRA TP NYEQDYTTGGDVIYTPSGSSFTVDWSTEDDFVVG WTTG STNPINFSGTFGIGSGTALLSIY GWSENPLVEYYI VEDSASPPSF GTVKGSV TSDGSS YTIWENQRVNEPSIVGTATFNQYISVRSSPRKSGTV TVENHFQAWAALGMNLGTLNYQV LAVEWG WGEAATQTVS*

>BC1G_03590.1

ATGGTATCATACAAAGCTTCTCATTACTCTGCTGTCACGAGAGTCTAACATATCCAGCCA ACTCAAGTTGAGCTCGT CGATCGAAGTGGACACCTAGCTACTGGACCAGTGttgtatccatattccccgagtagtttctttagttgaccctcctgattag GTGGATACTACTATT CTTCTGGACAGATGGAGGTGCAGATGTTACTTATACAAATGGTCTGGTGGCAGTACAAACTTCAATGGTCAGGAAATGGCAA TCTTGTGTTGGAAAGGGCTGGAATCCTGGAAGTGCTAAggtggtaaaagtctctgatctcatcatgactaagattattgcatctgtaacatctat ctaattaccgttaGG GCTGTTACCTATAGTGGCACGTACAGTCCAATGGCAACAGCTATCTTCTCTATGGCTGGACAACATCACCTCTTATTGAATA CTATGTTGTCGAGAACCTCGGTACATATGATCCAAGCACTGGAGCTACCTGAAAGGTACCGTGGTTAGTGACGGAGCAACTTgta agtcaaaacttcgtacttctatattcccaaattttacagtattgcaccccttgacttgcgaaggacaattgcagtcataccactaccagcactgatgaaataattccag ATAAGATCTACCAA ACCCAACCGTCAATCAACCATCTATCATTGGTACTGCTACCTTATCAATATTGGCTGTCGACAGACAAAGCGAACTGGTG GTACCGTAACGACCGGAAATCATTAA TGCTGGAAAGCACTAGGAATGAACATGGGTACATTGATTACATGATAGTCGCAA CAGAAGGTTACTTCTAGTGGATCATCTGATATAACTGTTGGAAGTCAACGGG **AGGTGGTGATAGTGGAAAGTCCTACCTCG**
GCTCCCAC TACTTCTCCTACAA CATCACCAGGTGGCACGtaagtatgttttttggaaatttcttagattgtcatagaaaattactgatcaagacgtaatttag TGC GGT GCTCTATACAGCCAATGTGGTGGAACTGGATTACGGGTTCTCAATGCTGTGCATCCGGACTTGCAAGTATGCAAATTCTTACT ATTCTCAATGCTGTGA

siRNA_5: 5'- AGGTGGTGATAGTGGAAAGTCCTACCTCGGCTCCACTACTTCTCCTACAA-3' (928 – 977 del gen)

BC1G_03590.1 (proteína 282 aa)

MVSYKAFLITLAAVTRVLTYPANSSFELVDRSGTPSSTGTSGGYYYYSFWT DGGADVTYTNGAGGEYKLQWSGNGLVGGKGWNPGS AKAVTYSGYSPNGNSYLSLYGWTTSPLEYYVVENFGTYDPSTGATLKGTVVSDGATYKIYQTQRVNQPSIIGTATFYQYWSVRQTK RTGGTVTTGNHFNAWKALGMNMGTFDYMIVATEGYFSSGSSDITVGSSTGGDSGSPTSAPTSPTSPGGTCGALYSQCGGTGFTGS QCCASGTCKYANSYYSQCL*

> BcT4_797 (750 pb)

ATGGTTCTGCATCTCCCTCCTCGCTGCATCAGCTATCGCAGGTCTTCTCCGCCAGCCGGCACCGTCAGCGAGAA CTTGAATGTCTTGCAAGAAAGAGCGTTGACTCTCCGCTACCGGTACTAGTGGTGGTTACTACTACTCCTCTGGACCGATGGAA GCGGTGGTGTACATACTCCAACGGAGCCAATGGCAATATGCCGTAAGCTGGACCGTAACAAGGTAACCTCGTGGTGGAA AAGGATGGCTGTTGGTCCAGCGGtaagtttttttcccttcgtacatgaaaagacatcaaaactaatttcccgaaagCTCCATCTCCTACACCGGATCC TACAAACCCAACGGAAACTCCTACCTCTCGTCTATGGTGGACTACCTCCCCCTCATCGAATACTACATCGTCAAGACTTTGG CACCTACGATCCCTCCGCCACCGAAATCGGCAGTGTACCTCCGACGGTCCACATACAAGATCCTCGAGACCACCGT ACAAACCAACCTCCGTTCAAGGAACTGCTACCTCAAGCAATACTGG **TCCGTCCGTACTAGCAAGCGTACGAGCGGTACCG**
TCACCACTGCAAACCAT TTTGCAGCCTGGAAGAAGTGGGATTGACTTGGGCTCAACTACAACCTACCAAAATTGTTGCTGTT AGGGTTACCAAAAGCAGTGGTCCGCTTCCATCACTGTTCTAA

siRNA_6: 5'-TCCGTCCGTACTAGCAAGCGTACGAGCGGTACCGTCACCAACTGCAAACCAT-3' (588 – 638 del gen)

BcT4_797 (proteína 228 aa)

Anexo I: Secuencias de los genes y xilananasas de las familias GH10 y GH11 de *B. cinerea*

MVSASSLLAASAIAGVFSA PAAAPVSENLNVLQERALTSSATGTSGGYYYSFWTDGGVTYSNGANGQYAVSWTGKGNFVGKK
GWAVGSERSISYTGSYKPNGNSYLSVYGWTTSPLEYYIVEDFGTYDPSSAATEIGSVTSDGSTYKILETRTNQPSVQGTATFKQYWSV
RTSKRTSGTVTTANHFAAWKKLGLTGSTYNYQIVAVEGYQSSGSASITV*

2.4. Alineamiento de las proteínas codificadas por BC1G_13645.1 y BC1G_03590.1

Identidad: 94/288 (32.6%). Similitud: 139/288 (48.3%)

BC1G_13645_protein BC1G_03590.1_protein	MITFSSLVTFSAISTSLAIPGSILPKRSPMNFLQRNNESSLVRRATPNYEQDYTTGG-D 59 MVSYKAFLITLAAVTRVLTYP----ANSSFELVDRSGTPSSTGTSGGYYYSFWTDGGAD 55 *:,:,:*:*::*: * : * . * . : * . :* *** *
BC1G_13645_protein BC1G_03590.1_protein	VIYTP-SGSSFTVDWSTEDDFVVGGLGWTGSTNPINFSGTFIGSGTALLSIYGWSENPL 118 VTYTNNGAGGEYKLQWSGNGNLVGGKGWNPGSAKAVTYSGYSP-NGNSYLSLYGWTTSP 114 * *** : * . . . : ** : . : * * . * . * . : * . : * : * : . ***
BC1G_13645_protein BC1G_03590.1_protein	VEYYIVEDSAS--PPSFGTVKGSVTSDGSSYT IWIENQRVN E P S I V G T A T F N Q Y I S V R S S P 176 IEYYVVENFGTYDPSTGATLKGTVVSDGATYKIYQTQRVNQPSIIGTATFYQYWSVRQTK 174 :****:***: . : * . : * : * . * . * : * . : * . : * : * : * : * : * : * : * . :
BC1G_13645_protein BC1G_03590.1_protein	RKSGTVENHFQAWAALGMNLGTLNYQVLAVEWGEGAAQTQVS----- 222 RTGGTVTGNHFNAWKALGMNMGTFDYMIVATEGYFSSGSSDTVGSSTGGGDSGSPTSA 234 * . * . * . * . * . * . * . * . * . * . * . * . * . * .
BC1G_13645_protein BC1G_03590.1_protein	----- PTTSPTTSPGGTCGALYSQCGGTGFTGSQCCASGTCKYANSYYSQCL 281

Alineamiento de las proteínas codificadas por BC1G_13645.1 y BcT4_797

Identidad: 102/230 (44.3%) Similitud: 142/230 (61.7%)

BC1G_13645_protein BcT4_797_protein	MITFSSLVTFSAISSLAIPIGSILPKRSPMNFVLQRNESSLVRATPNYEQDYTTGG-- 58 MVSASSLLAASAIAGVFSAP-AAAPVSENLNVLQERALTSSATGTSGGYYYSFWTDGSG 59 *::: *****: : ***: :: * : * . : *.: :* : * . : : . * . : *.*
BC1G_13645_protein BcT4_797_protein	DVIYTP-SGSSFTVDWS-TEDDFVVGLGWTGSTNPINFSGTFIGSGTALLSIYGWSEN 116 GVTYNSGANGQYAVSWTGKGNFVGKGWAVGSERSISYTGSYKP-NGNSYLSVYGWTTs 118 . * * : : . . . : * . * : . . . : * * * : * * . : * . : * * : .
BC1G_13645_protein BcT4_797_protein	PLVEYYIVEDSAS--PPSFGTVKGSVTSDGSSYTIWENQRVNEPSIVGTATFNQYISVRS 174 PLIEYYIVEDFGTYDPSSAATEGRSVTSDGSTYKILETRTNQPSVQGTATFKQYWSVRT 178 **:***** . : *.* . * *****:*. * . * . : **: *****: ** * * :
BC1G_13645_protein BcT4_797_protein	SPRKSGTVENHFQAWAALGMNLG-TLNQVLAEGWGGEAATQTVS 222 SKRTSGTVTTANHFAAWKKLGLTLGSTNYQIVAVEGYQSSGSASITVS 227 * * ***** . * * * * * : * * * * * : * * : * * :

Alineamiento de las proteínas codificadas por BC1G_03590.1 y BcT4_797

Identidad: 141/289 (48.8%). Similitud: 174/289 (60.2%)

BC1G_03590.1_protein BcT4_797_protein	IEYYVVENFGTYDPSTGATLKGTVVSDGATYKIQTQRVNQPSIIGTATFYQYWSVRQTK 174 IEYYIVEDFGTYDPSSAATEIGSVTSDGSTYKILETRTNQPSVQGTATFKQYWSVRTSK 180 *****:***:*****:.* *:*.****:**** :* *.****: ***** ***** :*
BC1G_03590.1_protein BcT4_797_protein	RTGGTVTTGNHFNAWKALGMNMG-TFDYMIVATEGYFSSGSSDITVGSSTGGDGSPTS 233 RTSGTVTTANHFAAWKKLGLTLGSTYNQIVAVEGYQSSGSASITVS----- 227 **.*****.*** *** **:..*: * :*:***.*** ****:.***.
BC1G_03590.1_protein BcT4_797_protein	APTTSPPTSPGGTCGALYSQCGGTGFTGSQCCASGTCKYANSYYSQCL 281 -----

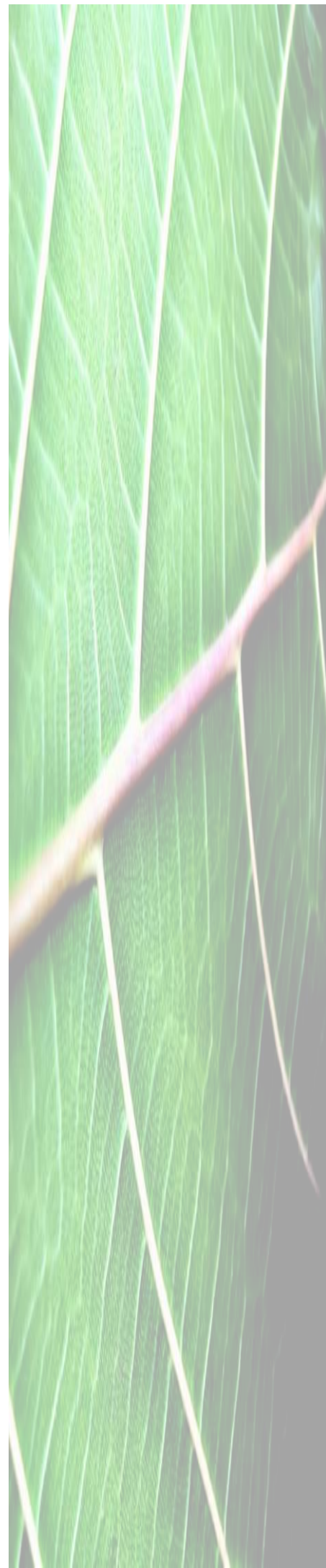
3. Secuencia del gen químérico silenciador Hom_XyL

Se indican los 6 fragmentos de DNA que pertenecen a las familias GH-10 y GH-11. La región de 21 nt seleccionada por el programa SVM RNAi 2 como siRNA en cada secuencia. En verde se muestra la secuencia espaciadora, que posee una longitud de 22 pb.

Hom_XyL

AACCGCGACTTTAACCAGTACATCTCGGTGCGA TCTTCCCCGCGGAAAAAGGTGGTATAGTGG **AAGTCCTACCT**
CGGCTCCCACTACTTCTCCTACAATCCGTCCGTACTAGCAAGCGTACGAGCGGTACCGTCACCACTGCAAACCAGC
GGCTGTCACTCA**AAGCAAAC**TTGGACAAGTGA CACCAGAAAACAGCATTGTAGGCGGGGTG**AACGGTATAGTTA**
GCGTACCAAGAGACAGGCATCACCA CGGTGTCGGTCTCC**AAGCCCAC**TTCATCGTCGGTCCACCCCCAGCGAA**GAG**
CTCGGCCGGCTTAATTAA

ANEXO II



Anexo II

Imágenes ampliadas del ensayo de virulencia, con las cepas Bc-pNAH-XyL y Bc-pNDN-XyL-Tail.

Las hojas de tabaco se prepararon según se indica en el punto 13 del apartado de material y métodos. Se colocaron controles positivos en las zonas más cercanas al nervio central y en el borde de las hojas y entre los controles, se colocaron varias réplicas las colonias de hongos transformantes Bc-pNDN-XyL-Tail y Bc-pNAH-XyL. La numeración 1 (1.1 a 1.10) y 2 (2.1 a 2.10) pertenece a la cepa Bc-pNDN-Xyl-Tail y la numeración 3 (3.1 a 3.3) pertenece a la cepa Bc-pNAH-XyL.

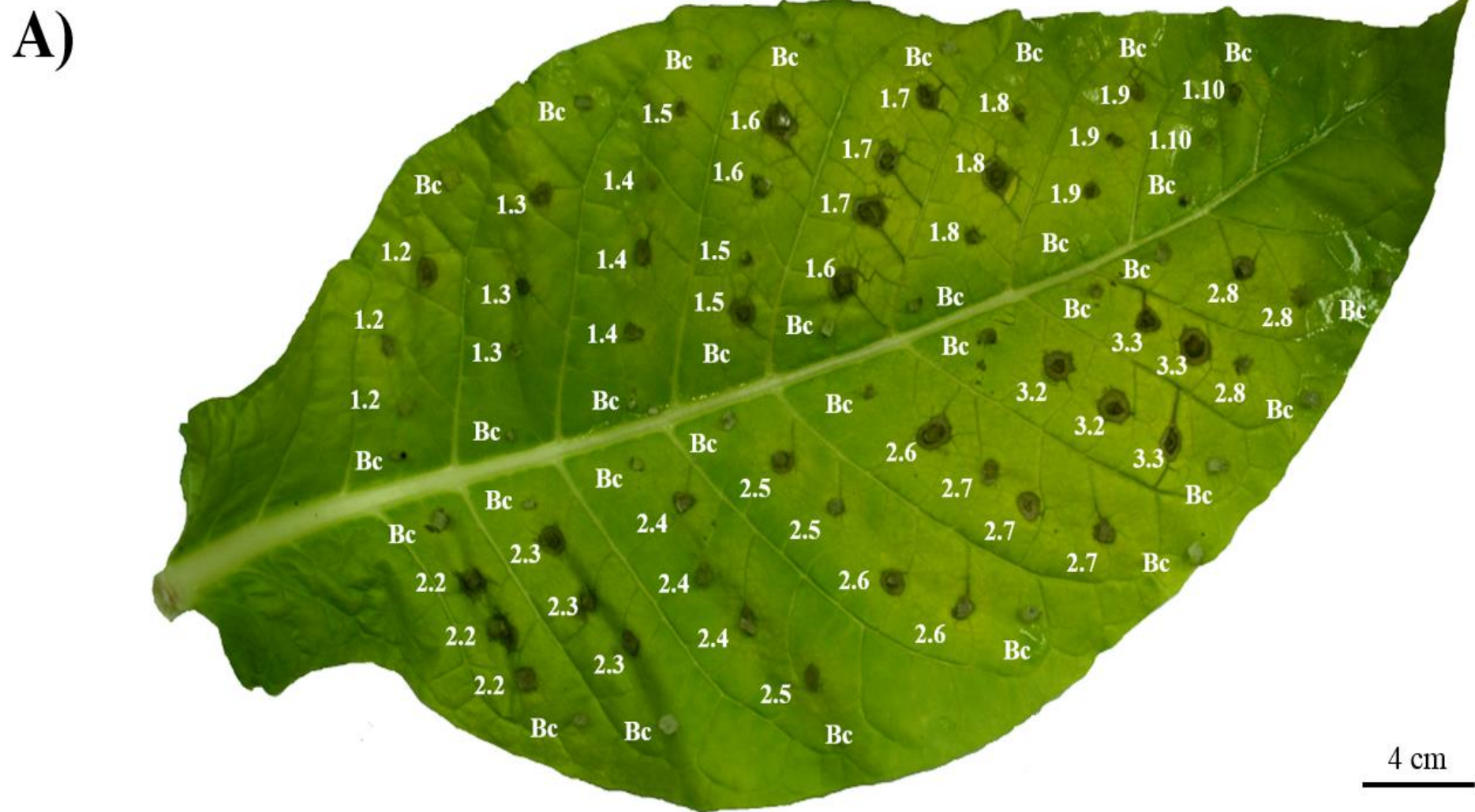


Figura A. Primera hoja de Tabaco (*Nicotiana tabacum*), a la que se le han colocado varios trozos de agar con micelio. Bc: control positivo B05.10 de *B. cinerea*. Numeración 1 y 2: agar con micelio de la cepa *Bc-pNDN-XyL-Tail*, hay varias colonias dentro de cada numeración. Numeración 3: agar con micelio de la cepa *pNAH-XyL*, con varias colonias dentro de esta numeración. La barra representa el tamaño escalado de la hoja.

B)

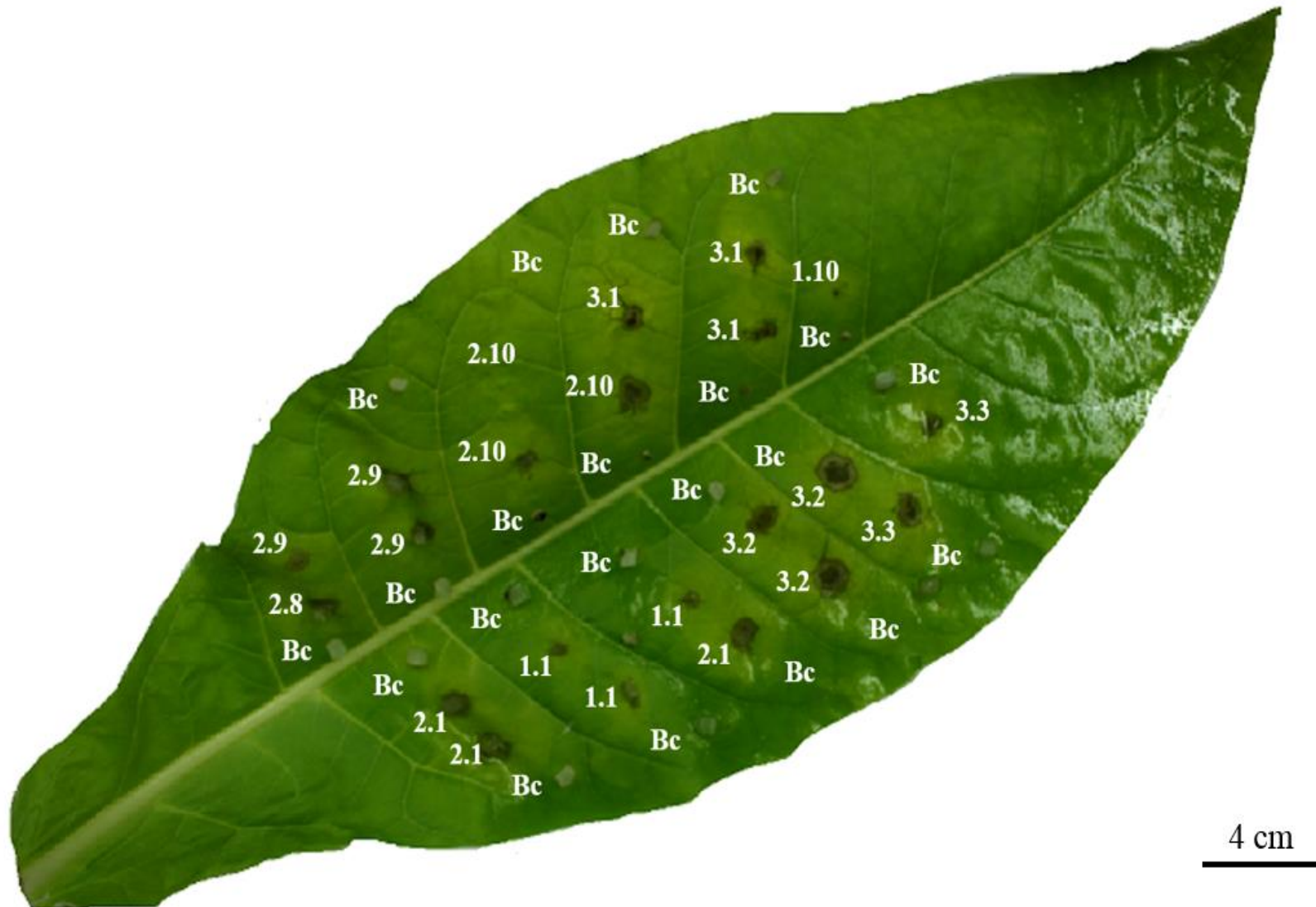


Figura B. Segunda hoja de Tabaco (*Nicotiana tabacum*), a la que se le han colocado varios trozos de agar con micelio. Bc: control positivo B05.10 de *B. cinerea*. Numeración 1 y 2: agar con micelio de la cepa Bc-pNDN-XyL-Tail, hay varias colonias dentro de cada numeración. Numeración 3: agar con micelio de la cepa pNAH-XyL, con varias colonias dentro de esta numeración. La barra representa el tamaño escalado de la hoja.